

# INGENIERITZA MEKANIKOKO GRADUA GRADU AMAIERAKO LANA

***IGERITOKI BATENTZAKO ERAIKINA***

## ***3. DOKUMENTUA – ERANSKINAK***

**Ikaslea:** Martín Nieto, Borja

**Zuzendaria:** Laraudogoitia Alzaga, Juan Esteban

**Ikasturtea:** 2017-2018

**Data:** Bilbo, 2018, maiatzak 14



## 3. DOKUMENTUA: ERANSKINAK

### AURKIBIDEA

3.1. KALKULUAK.....	6
3.1.1 Sarrera .....	6
3.1.2 Hasierako datuak .....	7
3.1.3 Egituraren gaineko akzioak .....	8
3.1.3.1 Berezko pisua.....	8
3.1.3.1.1 Estalkiaren eta itxituraren berezko pisua .....	8
3.1.3.1.2 Petralen berezko pisua.....	9
3.1.3.1.3 Altzairuzko portikoaren berezko pisua .....	9
3.1.3.2 Erabilera gainkarga.....	10
3.1.3.2.1 Erabilera gainkarga perpendikularra .....	11
3.1.3.2.2 Erabilera gainkarga paraleloa .....	11
3.1.3.3 Elurragatiko gainkarga .....	12
3.1.3.4 Haizearen eragina .....	14
3.1.3.4.1 Haizearen norabidea: 0ºtara.....	16
3.1.3.4.2 Haizearen norabidea: 90ºtara.....	19
3.1.3.4.3 Haizearen norabidea: 180ºtara.....	21
3.1.3.5 Lurrikara-eragina .....	26

3.1.3.7 Sute-eragina .....	27
3.1.3.8 Akzioen konbinaketak.....	27
3.1.4 Teilatuaren estalkiaren ikerketa .....	32
3.1.4.1 Portiko hastial .....	33
3.1.5 Alboko itxituren ikerketa .....	35
3.1.6 Kalkulu programen bidezko altzairuzko egituraren dimentsionaketa.....	38
3.1.6.1 Petralen ikerketa eta frogaketa.....	38
3.1.6.1.1. Teilatuan kokatutako petralak .....	41
3.1.6.1.2. Alboetan kokatutako petralak .....	44
3.1.6.2 Portikoen osagaien ikerketa .....	47
3.1.6.2.1 Profilen aukeraketa .....	49
3.1.6.2.2 Gilbordura: .....	50
3.1.6.2.3 Albo-gilbordura:.....	51
3.1.6.2.3 Gezi-limitea: .....	52
3.1.6.2.4 Kargak:.....	54
3.1.6.3 Portikoen osagaien frogaketa .....	57
3.1.6.3.1 Zutabeak .....	58
3.1.6.3.2 Laguntza zutabeak.....	60
3.1.6.3.3 Habeak.....	61
3.1.6.3.4 Lehen eta azken portikoen habeak .....	62
3.1.6.3.5 Lotura habeak .....	63

3.1.6.3.6 Arriostramenduak.....	64
3.1.6.4 Portikoen osagaien loturen frogaketa .....	68
3.1.6.4.1 Portiko hastialen zutabe eta habeen arteko lotura (I).....	68
3.1.6.4.2 Portiko hastialen zutabe eta habeen artek lotura (II).....	75
3.1.6.4.3 Portiko hastialen zutabe eta habeen artek lotura (III).....	81
3.1.6.4.4 Erdiko portikoen zutabe eta habeen arteko lotura (I) .....	88
3.1.6.4.5 Erdiko portikoen zutabe eta habeen arteko lotura (II) .....	97
3.1.6.4.6 Erdiko portikoen zutabe eta habeen arteko lotura (III) .....	102
3.1.6.4.7 Arriostramendu sistema Portiko Hastialak (R20).....	111
3.1.6.4.8 Arriostramendu sistema Portiko Hastialak (R14).....	113
3.1.6.4.9 Arriostramendu sistema Portiko Hastialak (R10).....	114
3.1.6.4.10 Hormigoizko eta zutabeen arteko lotura (I) .....	115
3.1.6.4.10 Hormigoizko eta zutabeen arteko lotura (II) .....	119
3.1.6.4.10 Hormigoizko eta zutabeen arteko lotura (III) .....	124
3.1.6.4.10 Hormigoizko eta zutabeen arteko lotura (IV) .....	128
3.1.7 Kalkulu programen bidezko hormigoizko egituraren .....	132
3.1.7.1 Zapaten dimentsionamendua .....	133
3.1.7.1.1 A motako zapata .....	134
3.1.7.1.2 B motako zapata .....	137
3.1.7.1.3 C motako zapata .....	140
3.1.7.2 Lotura habeen dimentsionamendua .....	143

3.1.8 Saneamendu sistema.....	145
3.1.8.1 Euri-uren bilketaren instalazioa.....	146
3.1.8.1.1 Kanaloia .....	147
3.1.8.1.2 Hustubideak .....	147
3.1.8.1.3 Jaitsiera isurbideak .....	148
3.1.8.1.4 Euri-uren kolektoreak .....	149
3.1.8.1.5 Euri uren arketak.....	149

## 3. DOKUMENTUA: ERANSKINAK

### 3.1. KALKULUAK

#### 3.1.1 SARRERA

Eranskin honetan proiektuan hartutako abiapuntuko hipotesiak, kalkuluak eta irizpideak ikertuko dira. Hau da, eraikinaren diseinuan hartu izan diren konponbideak justifikatuko dira, estruktura, zimendapena, habeen sekzioa eta beste elementuen dimentsionamendua.

Abiapuntu bezala, igeritokiaren neurriak, bete beharreko legedi espezifikoak eta CTE kodean agertzen diren datuak erabili izan dira estrukturaren gainean agertzen diren akzioekin hipotesiak aurrera eramateko. Behin baldintzak ezarri, CYPE programaren bitartez aurre-dimentionaketa egin da. Programa honen bitartez azkeneko emaitza oso hurbil dagoen dimentionaketa lortuko da, eskuzko aurre-dimentionaketa prozesu eta giza-akatsak txikituz.

Eranskin honetan kontuan hartuko diren puntuak hurrengoak dira:

- Errespetatu behar diren segurtasun baldintzak
- Materialen ezaugarri mekanikoak
- Kalkuluetan kontutan hartu izan diren akzioak (Elurra, erabilera, haizea...)
- Karga kritikoen hipotesiak
- Erabiliko diren segurtasun koefizienteak
- Estrukturaren diseinuan erabilitako metodoa
- Muga egoeren baieztapena
- Erabiliko den araudia eta bere azalpena

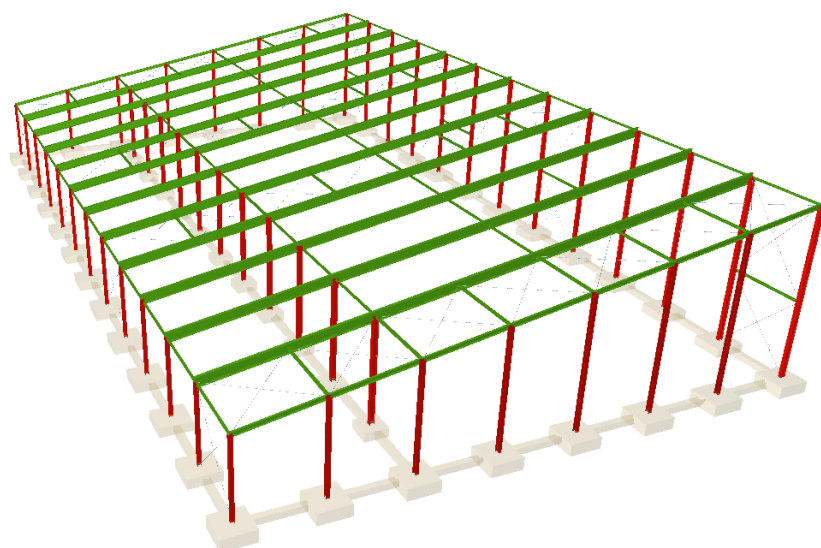
### 3.1.2 HASIERAKO DATUAK

Hasierako datuak definitzeko, kontuan izan da igerilekua eta bere araudia espezifiko, zeinek aurre-dimentsio balio hurbila lortzeko erabili izan da. Proiektu honetan diseinatuko den eraikuntza ur bateko portikoa izango da.

Aurkitu izan den arazo nagusia portikoaren argia da, zeinek 35 metroko zabalera izanda, dimentzionamendu arazoak ekarri izan du.

Estrukturaren datuak hurrengoak dira:

- Luzera: 60 metro
- Argia: 35 metro
- Altuera maximoa: 11 metro
- Altuera minimoa: 5 metro
- Teilatuaren inklinazioa:  $10^{\circ}$
- Portikoen arteko distantzia: 5 metro
- Teilatuko estalkia: ACH ekoizlearen “PANEL DE FIJACIONES OCULTAS ACH”
- Hormetako itxitura: “Europerfil” enpresako katalogotik “PANEL arquitectónico ETNA”
- Zonalde eolikoa: C zonaldea ( DB-SE-AE dokumentuaren 23. orrian agertzen D1 irudian ikus daiteke)



3.1. Irudia. Egitura

### 3.1.3 EGITURAREN GAINeko AKZIOAK

Proiektuaren atal honetan egituraren gainean eragingo duten akzioak aztertuko dira banaka. Agertuko diren kargak, eraikinean indarrak eta desplazamenduak sortuko dituzte, beraien ikerketa balio izango du altzairuzko profilak eta zimendapena kalkulatzeko.

Akzio guztiak berezko pisua izan ezik "*Codigo Tecnico Estructural*" –tik aterako dira. Hain zuzen ere, "*Documento Basico Seguridad Estructural Acciones en la edificacion*" lortuko diren balioetan oinarrituko da proiektua. Dokumentu honetan agertzen diren kargak aurre-dimentsionamendu batentzako erabiliko dira, ondoren, profilen berezko pisua gehituko zaie eta prozesu iteratibo baten bitartez kalkuluak errepikatuko dira profilen berezko pisua kontuan harturik.

#### 3.1.3.1 BEREZKO PISUA

Berezko pisuari buruz hitz egiten denean elementu ezberdinak hartuko dira kontuan:

- Estalkiaren eta itxituraren berezko pisua
- Petralen berezko pisua
- Altzairuzko portikoaren elementuen berezko pisua

##### 3.1.3.1.1 Estalkiaren eta itxituraren berezko pisua

Estalkia kalkulatzeko kontuan hartu izan beharko dira egituran agertzen diren kargak eta estalkiak jasango dituen karga konbinaketa kritikoenak, erabiliko den estalkia kargak jasateko ahalmena izan beharko du.

Proiektu honetarako erabiliko dira bi estalki ezberdinak, teilatean eta hormetako estalki mota ez da berdina izango, ez bait dira karga konbinaketa berdinak agertuko. Teilatean estalkia ACH ekoizlearen "PANEL DE FIJACIONES OCULTAS ACH" izango da eta hormetako estalkia "Europerfil" enpresako katalogotik "PANEL arquitectonico ETNA" produktua aterako dira, estalkiaren berezko pisua kalkulatzeko ezaugarri teknikoetan begiratuko da.

### 3.1.3.1.2 Petralen berezko pisua

Petralen pisua berriz, CYPE softwareak emandako datuetatik aterako da. Proiektu honetarako ZF sekziodun petralak erabiliko dira telatuan eta C sekzioko petralak hormetan.

CYPE kalkulu programaren bitartez karga konbinaketa kritikoena erabiliko da petralen dimentsionamendua egiteko, horretarako, CTE kodearen bitartez eraikinaren ezaugarriak kalkulatuko dira.

### 3.1.3.1.3 Altzairuzko portikoaren berezko pisua

Petralen dimentsionamendurako gertatuko den bezala CYPE softwarea erabiliko da karga konbinaketa kritikoena eta desplazamendu maximoak lortzeko. Lortutako datuak erabiliko dira portikoaren zutabe eta habeen dimentsionamendu egokiena egiteko.

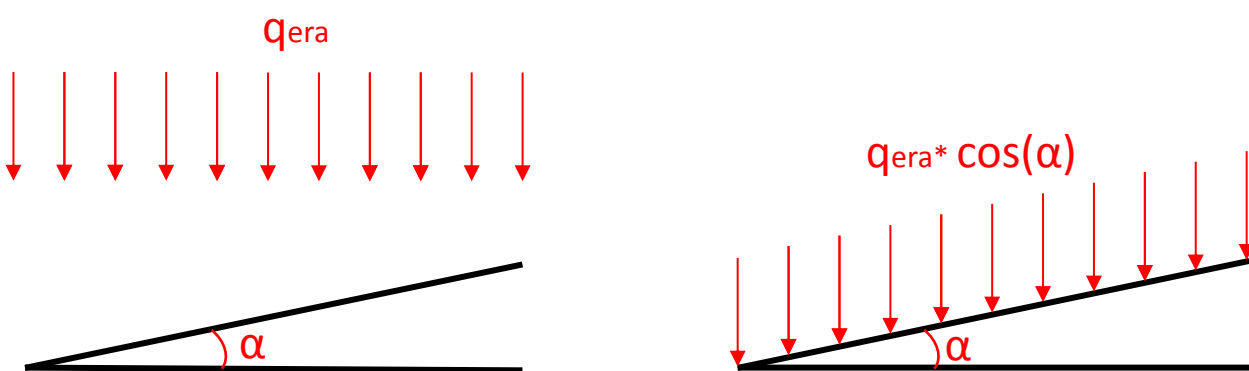
### 3.1.3.2 ERABILERA GAINKARGA

Erabilera gainkargaren balioa kalkulatzeko, **CTE-eko DB SE-AE** 5.orrialdean agertzen den 3.1 taula erabiliko da. Eraikin honen estalkia G motatako erabilerarentzako diseinatuko da: “cubiertas accesibles únicamente para conservación y concretamente: cubierta con inclinación inferior a 20º”, bere inklinazioa 10º izango da eta. Baita erabili izango zen “cubiertas ligeras sobre correas (sin forjado)”, baina segurtasunaren alde begiratuz egin dira kalkulu guztiak.

Categoría de uso		Subcategorías de uso		Carga uniforme [kN/m <sup>2</sup> ]	Carga concentrada [kN]
A	Zonas residenciales	A1	Viviendas y zonas de habitaciones en, hospitales y hoteles	2	2
		A2	Trasteros	3	2
B	Zonas administrativas			2	2
C	Zonas de acceso al público (con la excepción de las superficies pertenecientes a las categorías A, B, y D)	C1	Zonas con mesas y sillas	3	4
		C2	Zonas con asientos fijos	4	4
		C3	Zonas sin obstáculos que impidan el libre movimiento de las personas como vestíbulos de edificios públicos, administrativos, hoteles; salas de exposición en museos; etc.	5	4
		C4	Zonas destinadas a gimnasio u actividades físicas	5	7
		C5	Zonas de aglomeración (salas de conciertos, estadios, etc)	5	4
D	Zonas comerciales	D1	Locales comerciales	5	4
E	Zonas de tráfico y de aparcamiento para vehículos ligeros (peso total < 30 kN)	D2	Supermercados, hipermercados o grandes superficies	5	7
				2	20 <sup>(1)</sup>
F	Cubiertas transitables accesibles sólo privadamente <sup>(2)</sup>			1	2
G	Cubiertas accesibles únicamente para conservación <sup>(3)</sup>	G1 <sup>(7)</sup>	Cubiertas con inclinación inferior a 20º	1 <sup>(4)(5)</sup>	2
			Cubiertas ligeras sobre correas (sin forjado) <sup>(6)</sup>	0,4 <sup>(7)</sup>	1
		G2	Cubiertas con inclinación superior a 40º	0	2

3.1. Taula. Erabilera gainkarga taula

Kasu horretan, 1 kN/m<sup>2</sup> ko karga erabiliko da, kontuan izanik CTE-ak estalkiaren proiekzio horizontalean ematen ditu balioak, beraz, malda kontuan hartu beharko da. Ondoren, karga deskonposatu beharko da estalkiaren perpendikularrean eta paraleloan.

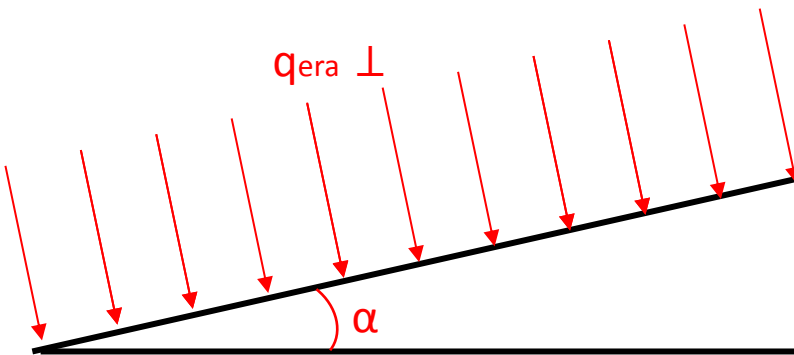


3.2. Irudia. Erabilera gainkarga eskema

$$1 \frac{kN}{m^2} * \cos(10) = 0,3939 \text{ kN/m}^2$$

### 3.1.3.2.1 Erabilera gainkarga perpendikularra

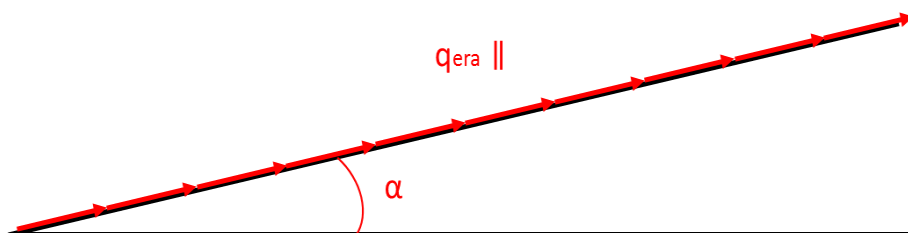
$$1 \frac{kN}{m^2} * \cos(10) * \cos(10) = 0,3879 \text{ kN/m}^2$$



3.3. Irudia. Erabilera gainkarga eskema perpendikular

### 3.1.3.2.2 Erabilera gainkarga paraleloa

$$1 \frac{kN}{m^2} * \cos(10) * \sin(10) = 0,068 \text{ kN/m}^2$$



3.4. Irudia. Erabilera gainkarga eskema paralelo

### 3.1.3.3 ELURRAGATIKO GAINKARGA

Elurraren gainkarga kalkulatzeko **SE-AE**-ko 11. orrialdeko 3.2 formula erabili egin da. Adierazpen matematikoa hurrengokoa da:

$$q_n = \mu * s_k$$

$s_k$  (elurraren gainkarga) parametroa **SE-AE** 11. orrialdeko 3.8 taulatik lortzen da. Taula honetan, Espainiako kokaleku ezberdinatarako balio karakteristikoak agertzen dira. Eraikin honen kokapen geografikoa, Portugaleten izango da, ez denez agertzen, erreferentziazko balio bezala Bilboko  $s_k$  hartuko da, altitude berdina duena (Altitudea= 0 metro), 1000m-ko altitude txikiago batean. CTE kodearen arabera  $s_k$  0,3 kN/m<sup>2</sup> da, arauan agertzen diren balioak estatistikoki kalkulatu izan dira, beraz, ontzat hartuko da.

Capital	Altitud m	$s_k$ kN/m <sup>2</sup>	Capital	Altitud m	$s_k$ kN/m <sup>2</sup>	Capital	Altitud m	$s_k$ kN/m <sup>2</sup>
Albacete	690	0,6	Guadalajara	680	0,6	Pontevedra	0	
Alicante / Alacant	0	0,2	Huelva	470	0,2	Salamanca	780	0,3
Almería	1.130	0,2	Huesca	570	0,7	SanSebas- tián/Donostia	0	0,5
Ávila	180	1,0	Jaén	820	0,4	Santander	1.000	0,3
Badajoz	0	0,2	León	150	1,2	Segovia	10	0,7
Barcelona	0	0,4	Lérida / Lleida	380	0,5	Sevilla	1.090	0,2
Bilbao / Bilbo	0	0,3	Logroño	470	0,6	Soria	0	0,9
Burgos	860	0,6	Lugo	660	0,7	Tarragona	0	0,4
Cáceres	440	0,4	Madrid	0	0,6	Tenerife	950	0,2
Cádiz	0	0,2	Málaga	40	0,2	Teruel	550	0,9
Castellón	640	0,2	Murcia	130	0,2	Toledo	0	0,5
Ciudad Real	100	0,6	Orense / Ourense	230	0,4	Valencia/Valéncia	690	0,2
Córdoba	0	0,2	Oviedo	740	0,5	Valladolid	520	0,4
Coruña / A Coruña	1.010	0,3	Palencia	0	0,4	Vitoria / Gasteiz	650	0,7
Cuenca	70	1,0	Palma de Mallorca	0	0,2	Zamora	210	0,4
Gerona / Girona	690	0,4	Palmas, Las	450	0,2	Zaragoza	0	0,5
Granada	0	0,5	Pamplona/Iruña	0	0,7	Ceuta y Melilla	0	0,2

3.2. Taula. Sk koeficiente taula

$\mu$  parametroa berriz, **SE-AE**-ko 12. orrialdeko 3.5.3 ataletik lortzen da. Aztertzen hari den diseinuan, teilatuaren inklinazioa 10°-koa da, beraz, “3.5.3 Coeficiente de forma” ataleko 2. Puntuaren agertzen den bezala, inklinazioa 30°koa baino txikiagoa izango da, beraz,  $\mu$  -ren balioa 1 izango da norma jarraituz.

Beraz:

$$q_n = 1 * 0,3 = 0,3 \text{ kN/m}^2$$

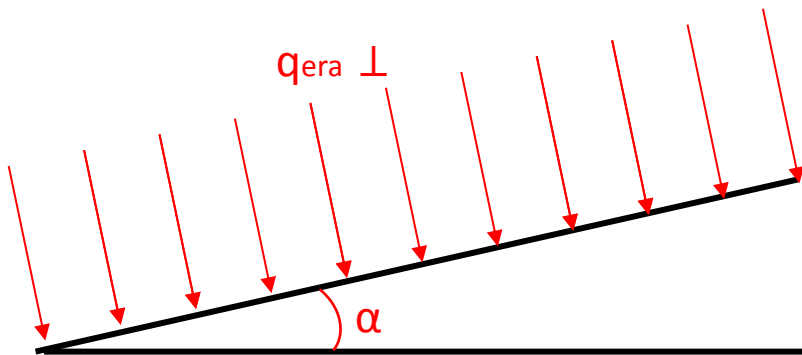
Estalkiak horizontalarekin 10°-ko inklinazioa duenez, estalkian sortzen den karga txikiagoa izango da, horizontalarekin konparatuz. Hau gertatzen da elurraren gainkarga bera, azalera handiagoan banatu behar delako. Ondorioz, lortzen den balioa hurrengoa da:

$$0,3 \frac{\text{kN}}{\text{m}^2} * \cos(10) = 0,3939 \text{ kN/m}^2$$

Lortutako karga lurarekiko perpendikularrean dago, baina ez teilatuarekiko. Ondorioz, ezin da beste kargekin batu, norabide desberdina dituztelako. Beste kargekin batu ahal izateko, teilatuarekiko perpendikularki kokatu behar da. Beraz, estalkiarekiko osagai paralelo bat edukiko du perpendikularraz gain. Irudian agertzen den bezala, hasiera batean normatik ateratako karga izango da, eta behealdean teilatuaren inklinazioagatik biderkatu ondoren.

### ELURRAREN GAINKARGA PERPENDIKULARRA

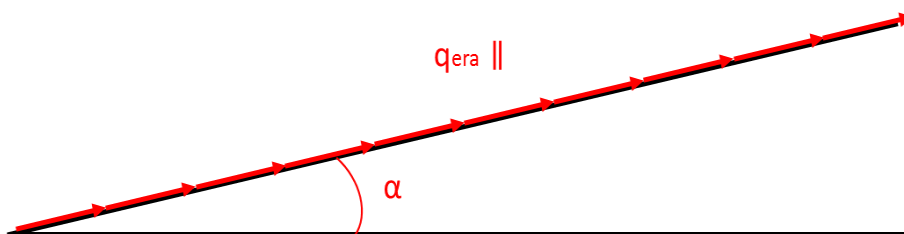
$$0,3939 \frac{kN}{m^2} * \cos(10) = 0,3879 \text{ kN/m}^2$$



3.5. Irudia. Elurraren gainkarga eskema perpendikular

### ELURRAREN GAINKARGA PARALELOA

$$0,3939 \frac{kN}{m^2} * \sin(10) = 0,068 \text{ kN/m}^2$$



3.6. Irudia. Elurraren gainkarga eskema paralelo

### 3.1.3.4 HAIZEAREN ERAGINA

CTE-ko DB **SE-AE**-aren arabera, haizearen indarra kalkulatzeko, 3.3.2 atalean agertzen den adierazpen matematikoa erabiliko da:

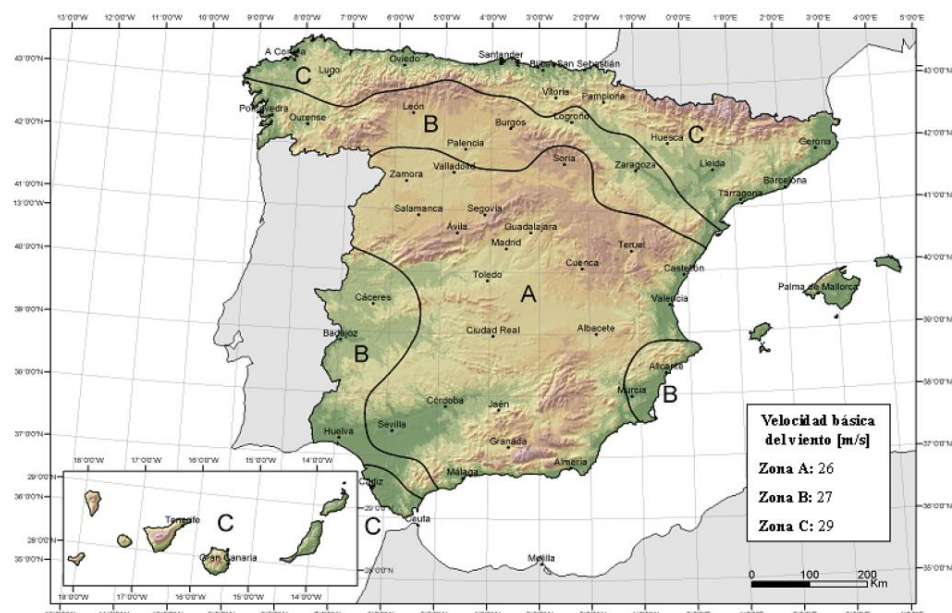
$$q_e = q_b * C_e * C_p$$

$q_b$ : Haizearen indar karakteristikoa

$C_e$ : Esposizio koefizientea

$C_p$ : Kanpo presio koefiziente eolikoa

- $q_b$  (haizearen indar karakteristikoa) aztertu nahi den eraikin industrialaren kokapen geografikoaren menpe dago. Kasu honetan, lehen adierazi den moduan, eraikina Bilbon kokatuta egongo da. Ondorioz, SE-AE 23. orrian agertzen D1 irudian ikus daiteke, C guneko balioa erabiliko dela haizearen karga kalkulatzeko. Ain zuzen ere, 0,52 kN/m<sup>2</sup> -ko indarra.



3.7. Irudia.  $q_b$  (haizearen indar karakteristikoa)

- $C_e$  (esposizio koefizientea) lortzeko, SE-AE 8. orrialdeko 3.3.3 atalean agertzen den taula erabiliko da. Esposizio koefizientea, eraikinaren ingurugiroaren arabera aldatzen da. 2. Dokumentuan azaldu den bezala, eraikina Portugaleteko portuan kokatuta dago, Nerbioi ibaiaren itsasadarrean, beraz "I Borde del mar o un lago, con una superficie de agua en la dirección del viento de al menos 5 km de longitud" esparruan erabiltzen de esposizio koefizientea erabiliko da.  $C_e$  kalkulatuko da eraikinaren bi altuera esanguratsuenak kontutan harturik, horma txikiaren altuera maximoan 5 metroko balioa izango duena eta horma handienaren altuera maximoan, 11 metro izango duena.

Grado de aspereza del entorno	Altura del punto considerado (m)							
	3	6	9	12	15	18	24	30
I Borde del mar o de un lago, con una superficie de agua en la dirección del viento de al menos 5 km de longitud	2,4	2,7	3,0	3,1	3,3	3,4	3,5	3,7
II Terreno rural llano sin obstáculos ni arbolado de importancia	2,1	2,5	2,7	2,9	3,0	3,1	3,3	3,5
III Zona rural accidentada o llana con algunos obstáculos aislados, como árboles o construcciones pequeñas	1,6	2,0	2,3	2,5	2,6	2,7	2,9	3,1
IV Zona urbana en general, industrial o forestal	1,3	1,4	1,7	1,9	2,1	2,2	2,4	2,6
V Centro de negocio de grandes ciudades, con profusión de edificios en altura	1,2	1,2	1,2	1,4	1,5	1,6	1,9	2,0

### 3.3. Taula. Ce koefiziente taula

Hauek dira lortutako balioak aztertutako taula bakoitzarentzat:

- Horma handia ( $h=11$  m):  $C_e = 3,0667$
- Horma txikia ( $h=5$  m):  $C_e = 2,6$
  
- $C_p$  (kanpo presio koefiziente eolikoa) balioa jakiteko, eraikin industrialaren ezaugarri geometrikoak finkatu behar dira. Hau da, egitura, zer nolako teilitua izango duen jakin behar da. Kasu honetan, isurkide batekoa da.  $C_p$ -ren balioak lortzeko **SE-AE** “D.3 Coeficientes de presion exterior” ataleko taulak erabiliko dira. Haizearen norabide ezberdinak karga ezberdinak sortuko ditu, ondorioz, bi egoetarako diseinatuta egon behar da eraikina. Haizea egitura bultzatzen ari bada presioan dagoela suposatuko da, ondorioz, koefizientea positiboa izango dira. Haizea egituratik tiraka badabil berriz, estalkia igotzeko joerarekin, haizea sukzioan dagoela suposatuko da eta koefizientea negatiboa izango da.

Jadanik esan den bezala,  $C_p$  koefizientea, ezberdina izango da haizearen norabidearen arabera, horregatik, aztertu beharko da haizeak duen eragina hiru norabide ezberdinatan, ikertuko diren egoerak hurrengoak dira:

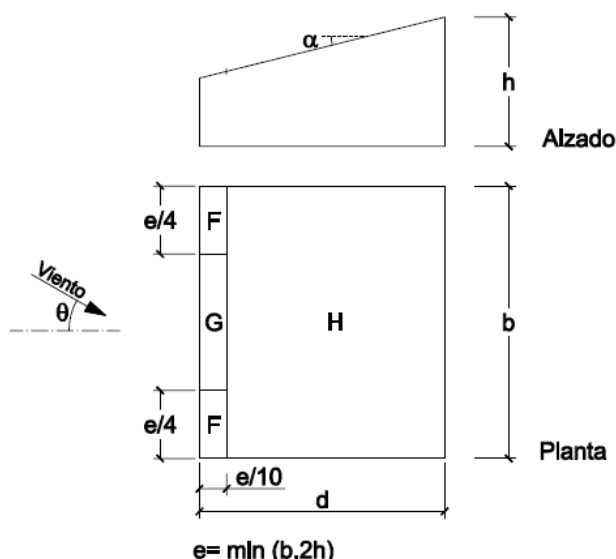
- Haizearen norabidea:  $0^\circ$ tara
  - Teilitua
  - Horma  $h=5$
  - Horma  $h=11$
  
- Haizearen norabidea:  $90^\circ$ tara
  - Teilitua
  - Horma  $h=5$
  - Horma  $h=11$
  
- Haizearen norabidea:  $180^\circ$ tara
  - Teilitua
  - Horma  $h=5$
  - Horma  $h=11$

- $C_{pi}$  (barruko presio koeficiente eolikoa) aztertu behar da egituraren hutsuneak egituraren azaleraren atal handia okupatzen dutenean. Diseinatu izan den egitura ez da kontuan hartu, bakarrik dituelako leihoa eta sarrera-irteera ateak. SE-AE dokumentuaren 3.3.5 Coeficiente eólico de naves y construcciones diáfanas atalaren arabera ez da beharrezkoa kontuan hartzea egoera hauen aurrean, ez bait dute suposatzen arrisku bat.

### 3.1.3.4.1 Haizearen norabidea: 0ºtara

#### **Teilatua:**

Haizearen eragina azterzeko  $-45^\circ \leq 0^\circ \leq 45^\circ$ , "D.5 Cubiertas a un agua" taulan begiratzen da  $\alpha = 15^\circ$  eta  $\alpha = 5^\circ$  eta interpolatu beharko da  $\alpha = 10^\circ$  lortzeko eta azalera  $10 \text{ m}^2$  baino handiagoarekin.



3.8. Irudia. "D.5 Cubiertas a un agua" koeficiente taulen irudia

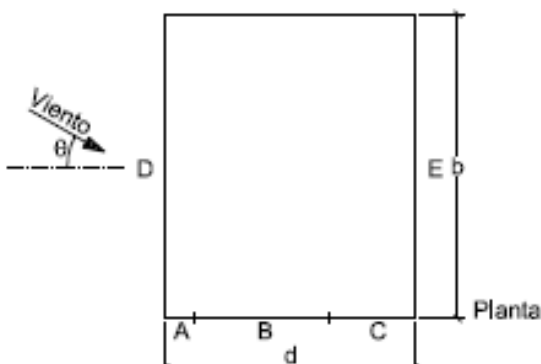
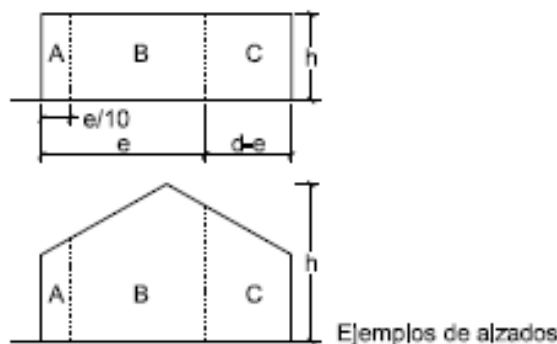
<i>Estalkiaren Inklinazioa α</i>	<i>A(m<sup>2</sup>)</i>	<i>F</i>	<i>G</i>	<i>H</i>
$5^\circ$	10	-1,7	-1,2	-0,6
		+0	+0	+0
$15^\circ$	10	-0,9	-0,8	-0,3
		0,2	0,2	0,2
$10^\circ$	10	-1,3	-1	-0,45
		0,1	0,1	0,1

3.4. Taula. "D.5 Cubiertas a un agua" koefizienteak

Taulan agertzen den bezala, haizea balio positibo zein negatiboa izan dezake, hau da, presio edo xurgapen egoerak eman ahal dira. Balio biak aztertu beharko dira.

Taulan agertzen diren balioak hartu eta haizeko indarren formulan zuzenean jarri daitezke. Hauexek dira lortutako haize kargak gunea eta haize norabidearen araberakoak:

### Horma $h=5$

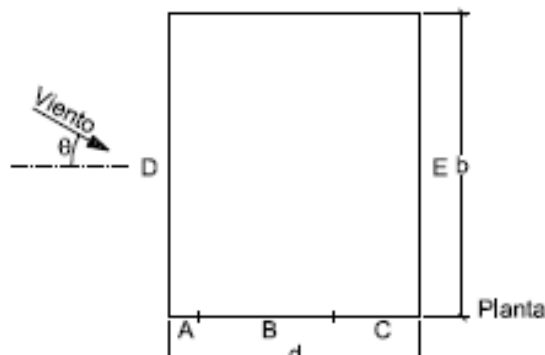
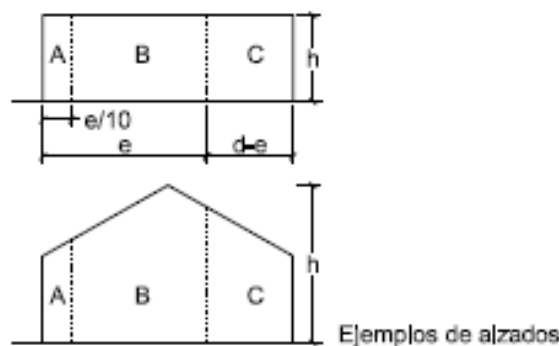


$$e = \min(b, 2h)$$

3.9. Irudia. Egituraren itxituren zonaldeak (D.3 taula / SE-AE 25)

$A(m^2)$	$h/d$	$A$	$B$	$C$	$D$	$E$
10	1	-1,2	-0,8	-0,5	0,8	-0,5
	$\leq 0,25$	-1,2	-0,8	-0,5	0,7	-0,3
	0,314	-1,2	-0,8	-0,5	0,708	-0,317
1	1	-1,4	-1,1	-0,5	1	-0,5
	$\leq 0,25$	-1,4	-1,1	-0,5	1	-0,3
	0,314	-1,4	-1,1	-0,5	1	-0,317
5,75	0,314	-1,248	-0,872	-0,5	0,778	-0,317

3.5. Taula. Zonalde eta koefizienteak (D.3 taula / SE-AE 25)

**Horma h=11**

$$e = \min(b, 2h)$$

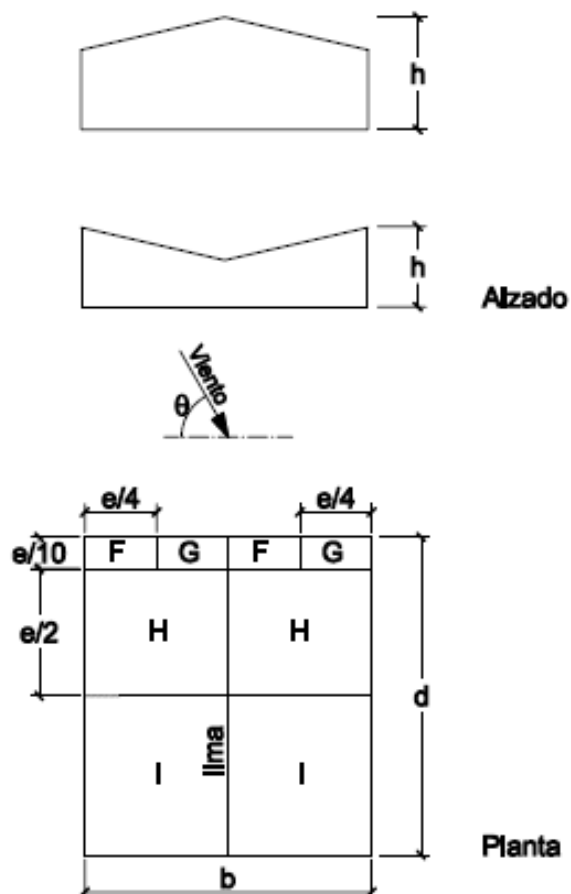
**3.10. Irudia. Egituraren itxituren zonaldeak (D.3 taula / SE-AE 25)**

$A(m^2)$	$h/d$	$A$	$B$	$C$	$D$	$E$
10	1	-1,2	-0,8	-0,5	0,8	-0,5
	$\leq 0,25$	-1,2	-0,8	-0,5	0,7	-0,3
12,65	0,314	-1,2	-0,8	-0,5	0,708	-0,317

**3.6. Taula. Zonalde eta koefizienteak (D.3 taula / SE-AE 25)**

### 3.1.3.4.2 Haizearen norabidea: 90ºtara

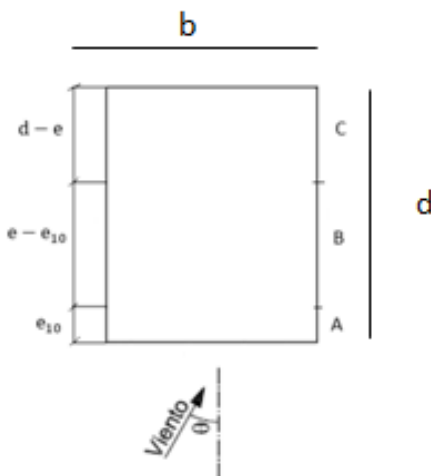
#### Teilatua



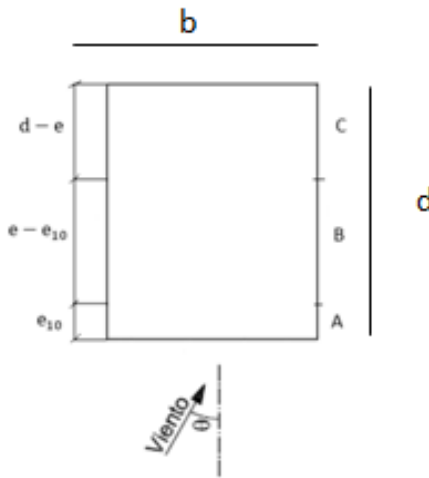
3.11. Irudia. Estalkiaren zonaldeen neurriak haizea aurretik jotzean

Estalkiaren Inklinazioa $\alpha$	$A(m^2)$	$F_{inf}$	$F_{sup}$	G	H	I
5º	10	-2,1	-2,1	-1,8	-0,6	-0,5
15º	10	-1,6	-2,4	-1,9	-0,8	-0,7
10º	10	-1,85	-2,25	-1,85	-0,7	-0,6

3.7. Taula. Aurretik jotzen duen haizearen koefiziente taula

**Horma h=5****3.12. Irudia. Estalkiaren zonaldeen neurriak haizea albotik jotzean**

$A(m^2)$	$h/d$	$A$	$B$	$C$	$D$	$E$
10	$\leq 0,25$	-1,2	-0,8	-0,5	0,7	-0,3
1	$\leq 0,25$	-1,4	-1,1	-0,5	1	-0,3
5,75	0,184	-1,248	-0,872	-0,5	0,772	-0,3

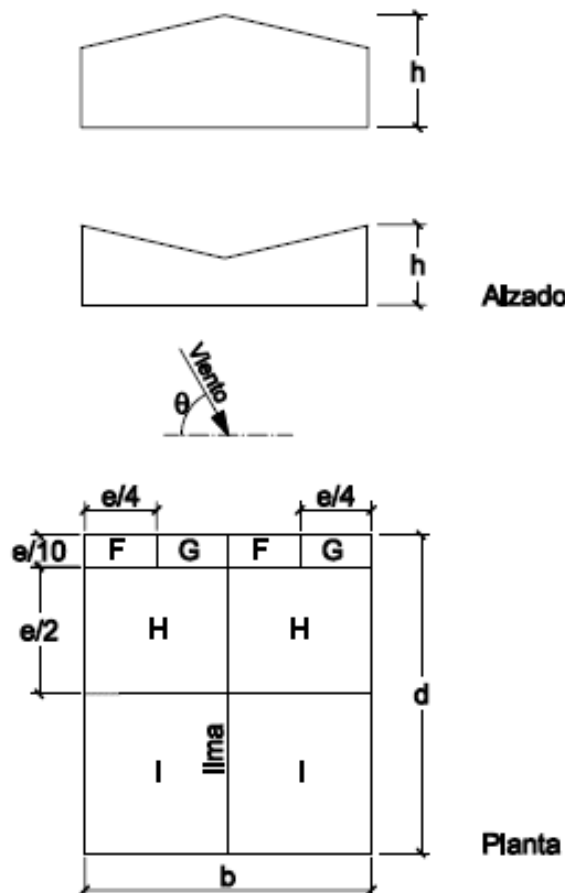
**3.8. Taula. Albotik jotzen duen haizearen koefiziente taula****Horma h=11****3.13. Irudia. Estalkiaren zonaldeen neurriak haizea albotik jotzean**

$A(m^2)$	$h/d$	$A$	$B$	$C$	$D$	$E$
10	$\leq 0,25$	-1,2	-0,8	-0,5	0,7	-0,3
12,65	0,184	-1,2	-0,8	-0,5	0,7	-0,3

**3.9. Taula. Albotik jotzen duen haizearen koefiziente taula**

### 3.1.3.4.3 Haizearen norabidea: 180ºtara

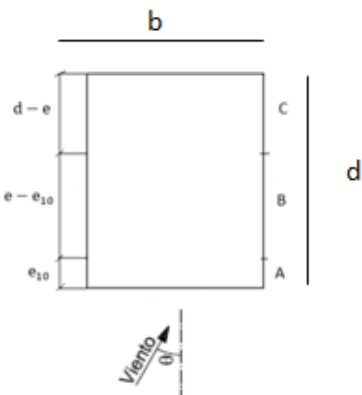
#### Teilatua



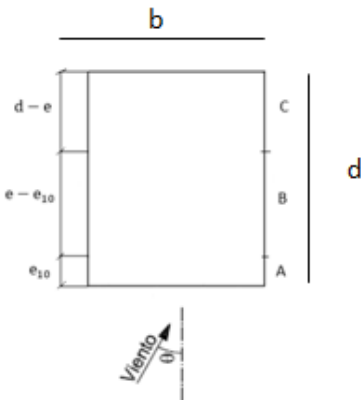
2.14. Irudia. Egituraren itxituren zonaldeak (D.3 taula / SE-AE 25)

Estalkiaren Inklinazioa $\alpha$	$A(m^2)$	$F$	$G$	$H$
$5^\circ$	10	-2,3	-1,3	-0,8
$15^\circ$	10	-2,5	-1,3	-0,9
$10^\circ$	10	-2,4	-1,3	-0,85

3.10. Taula. Aurretik jotzen duen haizearen koefiziente taula

**Horma h=5****3.15. Irudia. Estalkiaren zonaldeen neurriak haizea albotik jotzean**

$A(m^2)$	$h/d$	$A$	$B$	$C$	$D$	$E$
10	1	-1,2	-0,8	-0,5	0,8	-0,5
	$\leq 0,25$	-1,2	-0,8	-0,5	0,7	-0,3
	0,314	-1,2	-0,8	-0,5	0,708	-0,317
	1	-1,4	-1,1	-0,5	1	-0,5
	$\leq 0,25$	-1,4	-1,1	-0,5	1	-0,3
	0,314	-1,4	-1,1	-0,5	1	-0,317
5,75	0,314	-1,248	-0,872	-0,5	0,778	-0,317

**3.11. Taula. Albotik jotzen duen haizearen koefiziente taula****Horma h=11****3.16. Irudia. Estalkiaren zonaldeen neurriak haizea albotik jotzean**

$A(m^2)$	$h/d$	$A$	$B$	$C$	$D$	$E$
10	1	-1,2	-0,8	-0,5	0,8	-0,5
	$\leq 0,25$	-1,2	-0,8	-0,5	0,7	-0,3
12,65	0,314	-1,2	-0,8	-0,5	0,708	-0,317

**3.12. Taula. Albotik jotzen duen haizearen koefiziente taula**

## Haizearen gainkarga

$$q_e = q_b * C_e * C_p$$

- **Haizearen norabidea: 0ºtara**

- Teilatua

F eremuan xurgapenean:  $q_{e_F} = 0,52 * 3,0667 * (-1,3) = -2,0731 \frac{kN}{m^2}$

G eremuan xurgapenean:  $q_{e_G} = 0,52 * 3,0667 * (-1) = -1,5947 \frac{kN}{m^2}$

H eremuan xurgapenean:  $q_{e_H} = 0,52 * 3,0667 * (-0,45) = -0,7176 \frac{kN}{m^2}$

F, G eta H eremuan presioa:  $q_{e_F} = q_{e_G} = q_{e_H} = 0,52 * 3,0667 * (0,1) = 0,1594 \frac{kN}{m^2}$

- Horma h=5

A eremuan xurgapenean:  $q_{e_A} = 0,52 * 2,6 * (-1,248) = -1,9902 \frac{kN}{m^2}$

B eremuan xurgapenean:  $q_{e_B} = 0,52 * 2,6 * (-0,872) = -1,3906 \frac{kN}{m^2}$

C eremuan xurgapenean:  $q_{e_C} = 0,52 * 2,6 * (-0,5) = -0,7973 \frac{kN}{m^2}$

D eremuan xurgapenean:  $q_{e_D} = 0,52 * 2,6 * (0,778) = 1,2407 \frac{kN}{m^2}$

E eremuan xurgapenean:  $q_{e_E} = 0,52 * 2,6 * (-0,317) = -0,5055 \frac{kN}{m^2}$

- Horma h=11

A eremuan xurgapenean:  $q_{e_A} = 0,52 * 3,0667 * (-1,2) = -1,9137 \frac{kN}{m^2}$

B eremuan xurgapenean:  $q_{e_B} = 0,52 * 3,0667 * (-0,8) = -1,2757 \frac{kN}{m^2}$

C eremuan xurgapenean:  $q_{e_C} = 0,52 * 3,0667 * (-0,5) = -0,7973 \frac{kN}{m^2}$

D eremuan xurgapenean:  $q_{e_D} = 0,52 * 3,0667 * (0,708) = 1,129 \frac{kN}{m^2}$

E eremuan xurgapenean:  $q_{e_E} = 0,52 * 3,0667 * (-0,317) = -0,5055 \frac{kN}{m^2}$

- **Haizearen norabidea: 90ºtara**

- Teilatua

Fsup eremuan xurgapenean:  $q_{e_{Fsup}} = 0,52 * 3,0667 * (-1,85) = -2,9502 \frac{kN}{m^2}$

Finf eremuan xurgapenean:  $q_{e_{Finf}} = 0,52 * 3,0667 * (-2,225) = -3,5482 \frac{kN}{m^2}$

G eremuan xurgapenean:  $q_{e_G} = 0,52 * 3,0667 * (-1,85) = -2,9502 \frac{kN}{m^2}$

H eremuan xurgapenean:  $q_{e_H} = 0,52 * 3,0667 * (-0,7) = -1,1163 \frac{kN}{m^2}$

F, G eta H eremuan presioa:  $q_{e_F} = q_{e_G} = q_{e_H} = 0,52 * 3,0667 * (-0,6) = 0,9568 \frac{kN}{m^2}$

- Horma h=5

A eremuan xurgapenean:  $q_{e_A} = 0,52 * 2,6 * (-1,248) = -1,9902 \frac{kN}{m^2}$

B eremuan xurgapenean:  $q_{e_B} = 0,52 * 2,6 * (-0,872) = -1,3906 \frac{kN}{m^2}$

C eremuan xurgapenean:  $q_{e_C} = 0,52 * 2,6 * (-0,5) = -0,7973 \frac{kN}{m^2}$

D eremuan xurgapenean:  $q_{e_D} = 0,52 * 2,6 * (0,772) = 1,2311 \frac{kN}{m^2}$

E eremuan xurgapenean:  $q_{e_E} = 0,52 * 2,6 * (-0,3) = -0,4784 \frac{kN}{m^2}$

- Horma h=11

A eremuan xurgapenean:  $q_{e_A} = 0,52 * 3,0667 * (-1,2) = -1,9137 \frac{kN}{m^2}$

B eremuan xurgapenean:  $q_{e_B} = 0,52 * 3,0667 * (-0,8) = -1,2757 \frac{kN}{m^2}$

C eremuan xurgapenean:  $q_{e_C} = 0,52 * 3,0667 * (-0,5) = -0,7973 \frac{kN}{m^2}$

D eremuan xurgapenean:  $q_{e_D} = 0,52 * 3,0667 * (0,7) = 1,1163 \frac{kN}{m^2}$

E eremuan xurgapenean:  $q_{e_E} = 0,52 * 3,0667 * (-0,3) = -0,4784 \frac{kN}{m^2}$

- **Haizearen norabidea: 180°tara**

- Teilatua

F eremuan xurgapenean:  $q_{e_F} = 0,52 * 3,0667 * (-2,4) = -3,8272 \frac{kN}{m^2}$

G eremuan xurgapenean:  $q_{e_G} = 0,52 * 3,0667 * (-1,3) = -2,0731 \frac{kN}{m^2}$

H eremuan xurgapenean:  $q_{e_H} = 0,52 * 3,0667 * (-0,85) = -1,3555 \frac{kN}{m^2}$

- Horma h=5

A eremuan xurgapenean:  $q_{e_A} = 0,52 * 2,6 * (-1,248) = -1,9902 \frac{kN}{m^2}$

B eremuan xurgapenean:  $q_{e_B} = 0,52 * 2,6 * (-0,872) = -1,3906 \frac{kN}{m^2}$

C eremuan xurgapenean:  $q_{e_C} = 0,52 * 2,6 * (-0,5) = -0,7973 \frac{kN}{m^2}$

D eremuan xurgapenean:  $q_{e_D} = 0,52 * 2,6 * (0,778) = 1,2407 \frac{kN}{m^2}$

E eremuan xurgapenean:  $q_{e_E} = 0,52 * 2,6 * (-0,317) = -0,5055 \frac{kN}{m^2}$

- Horma h=11

A eremuan xurgapenean:  $q_{e_A} = 0,52 * 3,0667 * (-1,2) = -1,9137 \frac{kN}{m^2}$

B eremuan xurgapenean:  $q_{e_B} = 0,52 * 3,0667 * (-0,8) = -1,2757 \frac{kN}{m^2}$

C eremuan xurgapenean:  $q_{e_C} = 0,52 * 3,0667 * (-0,5) = -0,7973 \frac{kN}{m^2}$

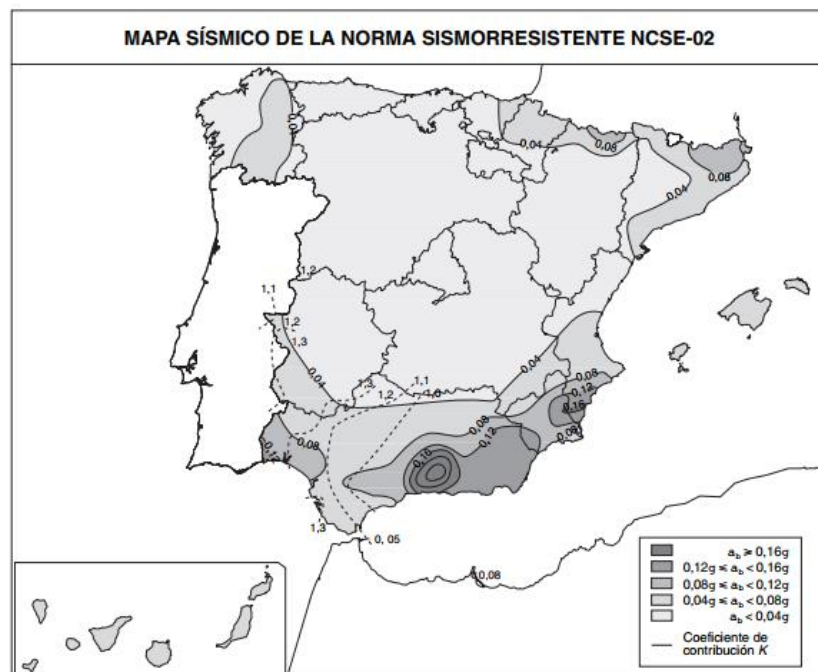
D eremuan xurgapenean:  $q_{e_D} = 0,52 * 3,0667 * (0,708) = 1,129 \frac{kN}{m^2}$

E eremuan xurgapenean:  $q_{e_E} = 0,52 * 3,0667 * (-0,317) = -0,5055 \frac{kN}{m^2}$

### 3.1.3.5 LURRIKARA-ERAGINA

Lurrikaren akzioa ez da aztertuko, **NSCE**-an “Norma de Construcción Sismorresistente”-an agertzen den bezala ez bait da beharrekoa hurrengo arrazoiengatik:

- **NSCE**-a 1.2.3 Atalean, portikoak arriostramendu sistema batekin haien artean ondo lotuta daudelako.
- Eraikina zazpi planta baino gutxiago dituelako.
- **NSCE**-an 1.2.2 Atalean agertzen den kriterioa jarraituz, eraikin honek “De importancia normal” bezala klasifikatzen da, hau da, azelerazio sismikoa  $0,04g$  baino txikiagoa denean, non  $g$ , grabitazio azelerazio da. Hurrengo mapan agertzen den bezala, Bizkaiko probintzian azelerazio sismikoa  $0,04g$  baino txikiago delako.



3.17. Irudia. NSCE-an “Norma de Construcción Sismorresistente”-aren mapa sismikoa

### 3.1.3.7 SUTE-ERAGINA

Suteak ekar dezakeen arazoak eta hartu behar diren neurriak 8.1 Dokumentuan azaltzen da.

### 3.1.3.8 AKZIOEN KONBINAKETAK

Behin egituran agertu ahal diren kargak kalkulatu izanik, haien arteko konbinaketak planteatuko dira, errealtitatean eman ahal diren hipotesi kritikoek bilatuko dira. Konbinaketak definitzeko **CTE-SE dokumentuaren 4.2.2 atalean (SE-9/10 orrialdeak)** agertzen diren pausoak segi egingo dira.

Hurrengo hiru egoerak agertzen dira CTE-SE dokumentuan:

1. Egoera iraunkor edo aldi baten akzioa. Hurrengo akzioen konbinazioaren bitartez zehaztuko da:

$$\sum_{j \geq 1} \gamma_{G,j} \cdot G_{k,j} + \gamma_P \cdot P + \gamma_{Q,1} \cdot Q_{k,1} + \sum_{i > 1} \gamma_{Q,i} \cdot \psi_{0,i} \cdot Q_{k,i}$$

2. Ohiko ez den egoera baten akzioen efektuaren kalkuluaren balioa.

$$\sum_{j \geq 1} \gamma_{G,j} \cdot G_{k,j} + \gamma_p \cdot P + A_d + \gamma_{Q,1} \cdot \psi_{1,1} \cdot Q_{k,1} + \sum_{i > 1} \gamma_{Q,i} \cdot \psi_{2,i} \cdot Q_{k,i}$$

3. Ustekabeko akzio sismiko kasuetan, akzio aldakor konkomitanteak kontuan hartuko dira hurrengo espresioarekin:

$$\sum_{j \geq 1} G_{k,j} + P + A_d + \sum_{i > 1} \psi_{2,i} \cdot Q_{k,i}$$

Lehenengo hipotesian karga iraunkorrak edo aldi baterakoak egoerak kontuan hartzen ditu, hau da, berezko pisua ( $q_{bp}$ ), haizea ( $q_e$ ), elurra ( $q_n$ ) eta erabilera ( $q_{era}$ ) kargak.

Bigarren eta hirugarren hipotesiak ohiko ez diren egoeran edo ustekabeko akzioetan erabiltzen dira. Lehenengo hipotesiak planteatutako kasuak kritikoagoak izango dira bigarren eta hirugarren kasuan emango direnak baino, beraz, lehenengo hipotesi erabiliko da dimentsionaketarako.

Karga bakoitzaren balioak lortu ondoren, hipotesien konbinaketa egin beharko da. Eraikin industrialean agertu daitezkeen karga konbinazio guztiak kontuan hartu behar dira. Gerta daiteke, egitura kokatzerakoan bakarka aztertutako karga bakoitza haien artean baturik agertzea. Horregatik konbinaketa posible guztiak eduki behar dira kontuan:

Termino bakarreko hipotesia:

$$1) \gamma_G \cdot q_{BP}$$

Bi terminoko hipotesiak:

$$2) \boxed{\gamma_G \cdot q_{BP} + \gamma_G \cdot q_E}$$

$$3) \gamma_G \cdot q_{BP} + \gamma_G \cdot q_U$$

$$4) \gamma_G \cdot q_{BP} + \gamma_G \cdot q_{H\downarrow}$$

$$5) \boxed{\gamma_G \cdot q_{BP} + \gamma_G \cdot q_{H\uparrow}}$$

Hiru terminoko hipotesiak:

$$6) \gamma_G \cdot q_{BP} + \gamma_G \cdot q_{ER} + \gamma_G \cdot \psi_0 \cdot q_{EL}$$

$$7) \gamma_G \cdot q_{BP} + \gamma_G \cdot q_{ER} + \gamma_G \cdot \psi_0 \cdot q_{H\downarrow}$$

$$8) \gamma_G \cdot q_{BP} + \gamma_G \cdot q_{ER} + \gamma_G \cdot \psi_0 \cdot q_{H\uparrow}$$

$$9) \gamma_G \cdot q_{BP} + \gamma_G \cdot q_{EL} + \gamma_G \cdot \psi_0 \cdot q_{ER}$$

$$10) \boxed{\gamma_G \cdot q_{BP} + \gamma_G \cdot q_{EL} + \gamma_G \cdot \psi_0 \cdot q_{H\downarrow}}$$

$$11) \gamma_G \cdot q_{BP} + \gamma_G \cdot q_{EL} + \gamma_G \cdot \psi_0 \cdot q_{H\uparrow}$$

$$12) \gamma_G \cdot q_{BP} + \gamma_G \cdot q_{H\downarrow} + \gamma_G \cdot \psi_0 \cdot q_{ER}$$

$$13) \gamma_G \cdot q_{BP} + \gamma_G \cdot q_{H\downarrow} + \gamma_G \cdot \psi_0 \cdot q_{EL}$$

$$14) \gamma_G \cdot q_{BP} + \gamma_G \cdot q_{H\uparrow} + \gamma_G \cdot \psi_0 \cdot q_{ER}$$

$$15) \gamma_G \cdot q_{BP} + \gamma_G \cdot q_{H\uparrow} + \gamma_G \cdot \psi_0 \cdot q_{EL}$$

Lau terminoko hipotesiak:

$$16) \gamma_G \cdot q_{BP} + \gamma_G \cdot q_{ER} + \gamma_G \cdot \psi_0 \cdot q_{EL} + \gamma_G \cdot \psi_0 \cdot q_{H\downarrow}$$

$$17) \gamma_G \cdot q_{BP} + \gamma_G \cdot q_{ER} + \gamma_G \cdot \psi_0 \cdot q_{EL} + \gamma_G \cdot \psi_0 \cdot q_{H\uparrow}$$

$$18) \gamma_G \cdot q_{BP} + \gamma_G \cdot q_E + \gamma_G \cdot \psi_0 \cdot q_{H\downarrow} + \gamma_G \cdot \psi_0 \cdot q_U$$

$$19) \gamma_G \cdot q_{BP} + \gamma_G \cdot q_{EL} + \gamma_G \cdot \psi_0 \cdot q_{ER} + \gamma_G \cdot \psi_0 \cdot q_{H\uparrow}$$

$$20) \gamma_G \cdot q_{BP} + \gamma_G \cdot q_{H\downarrow} + \gamma_G \cdot \psi_0 \cdot q_{ER} + \gamma_G \cdot \psi_0 \cdot q_{EL}$$

$$21) \gamma_G \cdot q_{BP} + \gamma_G \cdot q_{H\uparrow} + \gamma_G \cdot \psi_0 \cdot q_{ER} + \gamma_G \cdot \psi_0 \cdot q_{EL}$$

\*Karratu batekin markatuta dauden hipotesiak kritikoak izango dira.

Erabilera beste hipotesiekin agertu harren, hipotesi horiek ez dira kontuan edukiko kritikoak bezala, erabilera ez delako batukaria beste kargekin. Segurtasun arrazoiengatik langileak ezin bait dira igo teilatura elurra edo haizea dagoenean.

Ondorioz, Erabilera daukaten hipotesiak (lau terminokoak) ez dira kontuan edukiko kalkuluak egiterakoan ez direlako kritikoak izango.

### **Akzioetarako segurtasun koefiziente partzialak ( $\gamma$ ) eta Aldibereko koefizienteak ( $\psi$ )**

Hipotesien koefizienteen balioak definitzeko **CTE-SE dokumentua 4.1 eta 4.2 tauletan (SE-11. orrialdea)** agertzen diren taulak erabiliko dira. Bi motatako koefizienteak ezberdinduko dira, **Akzioetarako segurtasun koefiziente partzialak ( $\gamma$ )** zeinek kargak handitzeko edo txikitzeako erabiliko da eta **Aldibereko koefizienteak ( $\psi$ )** zeinek akzio aldakor bat baino gehiago konbinatu behar direnean erabiliko da.

$\gamma$  koefizientea erabiltzen da akzioen eragina handitzeko edo txikitzeako:

- Akzio iraunkorra bada eta aurkako egoera bat sortzen badu, 1,35 balioa ematen zaio eta aldeko egoera bada, 0,8 balioa izango du.
- Akzio aldakorrak berriz, aurkako egoera batean 1,5 balioa ematen zaio  $\gamma$  koefizienteari eta aldako egoera batean 0 balioa izango du.

Tabla 4.1 Coeficientes parciales de seguridad ( $\gamma$ ) para las acciones

Tipo de verificación <sup>(1)</sup>	Tipo de acción	Situación persistente o transitoria	
		desfavorable	favorable
<b>Resistencia</b>	Permanente Peso propio, peso del terreno	1,35	0,80
	Empuje del terreno	1,35	0,70
	Presión del agua	1,20	0,90
	Variable	1,50	0
<b>Estabilidad</b>		<b>desestabilizadora</b>	<b>estabilizadora</b>
	Permanente Peso propio, peso del terreno	1,10	0,90
	Empuje del terreno	1,35	0,80
	Presión del agua	1,05	0,95
	Variable	1,50	0

<sup>(1)</sup> Los coeficientes correspondientes a la verificación de la resistencia del terreno se establecen en el DB-SE-C

### 3.13. Taula. Akzioetarako segurtasun koeficiente partzialak

Esan den bezala, **Aldibereko koeficienteak ( $\psi$ )** erabiliko da karga bat baino gehiago kontuan hartzen bada, hau da, haizea eta elurra hipotesi batean planteatu behar direnean. Erabilera gainkarga konbinatzen ez denez, ez da kontuan hartuko.

Tabla 4.2 Coeficientes de simultaneidad ( $\psi$ )

	$\psi_0$	$\psi_1$	$\psi_2$
Sobrecarga superficial de uso (Categorías según DB-SE-AE)			
• Zonas residenciales (Categoría A)	0,7	0,5	0,3
• Zonas administrativas (Categoría B)	0,7	0,5	0,3
• Zonas destinadas al público (Categoría C)	0,7	0,7	0,6
• Zonas comerciales (Categoría D)	0,7	0,7	0,6
• Zonas de tráfico y de aparcamiento de vehículos ligeros con un peso total inferior a 30 kN (Categoría E)	0,7	0,7	0,6
• Cubiertas transitables (Categoría F)			<sup>(1)</sup>
• Cubiertas accesibles únicamente para mantenimiento (Categoría G)	0	0	0
Nieve			
• para altitudes > 1000 m	0,7	0,5	0,2
• para altitudes $\leq$ 1000 m	0,5	0,2	0
Viento	0,6	0,5	0
Temperatura	0,6	0,5	0
Acciones variables del terreno	0,7	0,7	0,7

<sup>(1)</sup> En las cubiertas transitables, se adoptarán los valores correspondientes al uso desde el que se accede.

### 3.14. Taula. Aldibereko koeficienteak ( $\psi$ )

Akzio bat aurkako edo aldekoa den jakiteko bi baldintza hartu egin dira kontuan:

- Beste akzioekin konparatuz karga kritikoena izatea, aurkako akzioa kontsideratuko da.
- Bere zentzua egituraren egonkortasunaren kontra eragin txarra izatea edo beste aurkako kargen zentzu bera duenean aurkako karga kontsideratuko da. Berriz, bere kontran badoa, aldeko karga kontsideratuko da.

Orain arte aztertu diren faktoreak kontuan hartzen badira, 3 hipotesi nagusi aztertuko beharko dira hipotesi kritikoena zein den ikusteko.

$$\begin{aligned} & \gamma_G \cdot q_{BP} + \gamma_G \cdot q_{H\uparrow} \\ & \gamma_G * q_{BP} + \gamma_G * q_E \\ & \gamma_G \cdot q_{BP} + \gamma_G \cdot q_{EL} + \gamma_G \cdot \psi_0 \cdot q_{H\downarrow} \end{aligned}$$

Teilaturako kritikoenk diren hipotesiak aztertuko dira atal honetan.

- $\gamma_G \cdot q_{BP} + \gamma_G \cdot q_{H\uparrow}$

Kasu honetan, aztertutako haize indarra,  $90^\circ$ -ra hartu egin da kritikoena delako. FG gunean hartutako balioa, desegokiena da eraikinaren teilatuarentzat.

$$0,8 * 0,108 * \cos 15 + 1,5 * (-1,1492) = -1,640 \text{ kN/m}^2$$

- $\gamma_G * q_{BP} + \gamma_G * q_E$

$$1,35 * 0,108 * \cos 15 + 1,5 * 0,4 * \cos 15 * \cos 15 = 0,7 \text{ kN/m}^2$$

- $\gamma_G \cdot q_{BP} + \gamma_G \cdot q_{EL} + \gamma_G \cdot \psi_0 \cdot q_{H\downarrow}$

Kasu honetan, aztertutako haize indarra,  $0^\circ$ -ra hartu egin da kritikoena delako. FGH gunean presio gunea agertzen da eta ondorioz, aztertu beharreko hipotesia da.

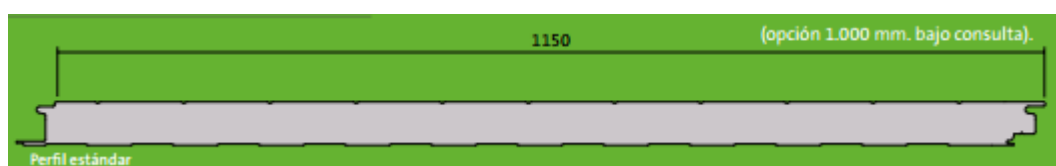
$$1,35 * 0,108 * \cos 15 + 1,5 * 0,3 * \cos 15 * \cos 15 + 0,6 * 1,5 * 0,1768 = 0,719 \text{ kN/m}^2$$

### 3.1.4 TEILATUAREN ESTALKIAREN IKERKETA

Teilatuan agertuko diren karga konbinazio kritikoena kontuan harturik, teilaturako estalki bat hautatuko da. Ekoizleek emandako espezifikazio teknikoak erabilita, karga kritikoena estalkiaren ezaugarri mekanikoekin alderatuko dira.

Estalkia aukeratzeko kontuan izan den punturik garrantzitsuena isolamendu termikoa eta akustikoa izan da, efizientzia energetikoaren aldetik begiratuz eta udaleko legedia errespetatuz.

Baita ere hartu da kontuan itsasoaren hurbiltasuna, beraz, korrosioa arazoa izan ahal da. Beraz, korrosioaren aurrean portaera ona duen estalki bat bilatu izan da, gainera, estankoa izan behar dena. ACH ekoizlearen “PANEL DE FIJACIONES OCULTAS ACH” produktua erabiliko da.



**3.18. Irudia. ACH ekoizlearen “PANEL DE FIJACIONES OCULTAS ACH” estalkia**

Características			
Espesor mm	Peso (kg/m <sup>2</sup> )	K (W/m <sup>2</sup> K)	El (min) Res. Fuego*
50	14,20	0,690	30
60	15,40	0,592	30
80	17,80	0,455	60
100	20,20	0,370	120
120	22,60	0,308	120
150	26,20	0,253	120
200	32,20	0,192	120

Para  $\lambda = 0,040 \text{ W/m}\cdot\text{k}$ . \* Consultar certificados disponibles al fabricante.

**3.15. Taula. “PANEL DE FIJACIONES OCULTAS ACH” estalkiaren ezaugarri taula**

Panel pieza bakoitzak 1150mm izango du zabaleran eta aurredimensionamenduan, 100 mm-ko lodiera izango dute, beraz hasierako datuak hurrengoak izango dira:

- “PANEL DE FIJACIONES OCULTAS ACH” produktua
- $E = 100\text{mm}$
- Panelaren pisua:  $20,20 \frac{\text{kg}}{\text{m}^2} = 0,1981 \frac{\text{kN}}{\text{m}^2}$

### 3.1.4.1 PORTIKO HASTIAL

Hurrengo taulan lortutako indarrak deskonposatuko dira bi ardatzetan, ondoren 3.1.3.8 Akzioen konbinaketak atalean agertu diren konbinazio kritikoenak planteatuko dira:

INDARRAK	NORABIDEA	INDARRAK ( $\frac{kN}{m^2}$ )
PISUA	Perpendikular	0,19508
	Paralelo	0,03439
ERABILERA	Perpendikular	0,9698
	Paralelo	0,1710
ELURRA	Perpendikular	0,3879
	Paralelo	0,068
HAIZEA PRESIOAN	Perpendikular	0,1594684
	Paralelo	0
HAIZEA SUKZIOAN	Perpendikular	-3,8272416
	Paralelo	0

3.16. Taula. Konbinazio kritikoen balio taula

#### Hipotesi konbinaketak:

$$\gamma_G * q_{BP} + \gamma_G * q_{H\uparrow}$$

$$\begin{aligned} \text{Perpendikular} (\perp) &\rightarrow 0,8 * 0,1951 + 1,5 * (-3,8272) = -5,5847 \text{ kN/m}^2 \\ \text{Paralelo} (\parallel) &\rightarrow 0,8 * 0,03439 + 1,5 * (0) = 0,02751 \text{ kN/m}^2 \end{aligned}$$

$$\gamma_G * q_{BP} + \gamma_G * q_E$$

$$\begin{aligned} \text{Perpendikular} (\perp) &\rightarrow 1,35 * 0,1951 + 1,5 * (0,3879) = 0,8452 \text{ kN/m}^2 \\ \text{Paralelo} (\parallel) &\rightarrow 1,35 * 0,03439 + 1,5 * (0,0684) = 0,1484 \text{ kN/m}^2 \end{aligned}$$

$$\gamma_G * q_{BP} + \gamma_G * q_{EL} + \gamma_G * \Psi_0 * q_{H\downarrow}$$

$$\begin{aligned} \text{Perpendikular} (\perp) &\rightarrow 1,35 * 0,1951 + 1,5 * (0,3879) + 1,5 * 0,6 * 0,15946 \\ &= 0,9887 \text{ kN/m}^2 \\ \text{Paralelo} (\parallel) &\rightarrow 1,35 * 0,03439 + 1,5 * (0,068) + 1,5 * 0,6 * 0 = 0,1484 \text{ kN/m}^2 \end{aligned}$$

Emaitzak aztertu ondoren, argi eta garbi ikusten da 1. Hipotesia ( $\gamma_G * q_{BP} + \gamma_G * q_{H\uparrow}$ ) kritikoena dela. Beste hipotesiekin alderatuz, arazo gehien eman ahal duen karga haizea sukzioan dela esan ahal da, beraz, ekoizleak ematen dituen karga maximoak 1. Hipotesian lortutako datuekin alderatuko dira.

Luz	30	60	80	100	120	150
E50	7,70	5,30	3,90	3,01	2,52	2,00
E60	8,15	6,10	4,20	3,50	3,02	2,40
E80	9,22	6,26	5,15	4,47	4,07	3,24
E100	11,00	7,50	6,10	5,45	5,00	4,12
E120	11,00	8,30	7,05	6,35	5,89	4,80
E150	11,00	9,52	8,30	7,50	6,75	5,50
E200	11,00	10,80	8,50	7,50	6,84	6,09

**3.17. Taula. “PANEL DE FIJACIONES OCULTAS ACH” estalkiaren ezaugarri taula**

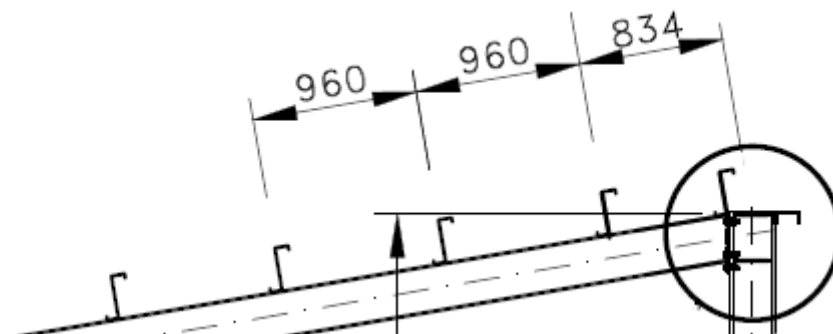
Beraz, euskarrien arteko distantzia kalkulatzeko, ekoizleak ematen dituen balio taulen eta hipotesi kritikoaren arteko interpolazioa egin beharko da. Hipotesi kritikoena (1. Hipotesia  $(\gamma_G * q_{BP} + \gamma_G * q_{H\uparrow}) = -5,4774 \text{ kN/m}^2$ ) balioa du eta hautatu egin den estalkia 100mm-ko lodiera duenez:

$$80 \text{ cm} \rightarrow 6,10 \text{ kN/m}^2$$

$$100 \text{ cm} \rightarrow 5,5847 \text{ kN/m}^2$$

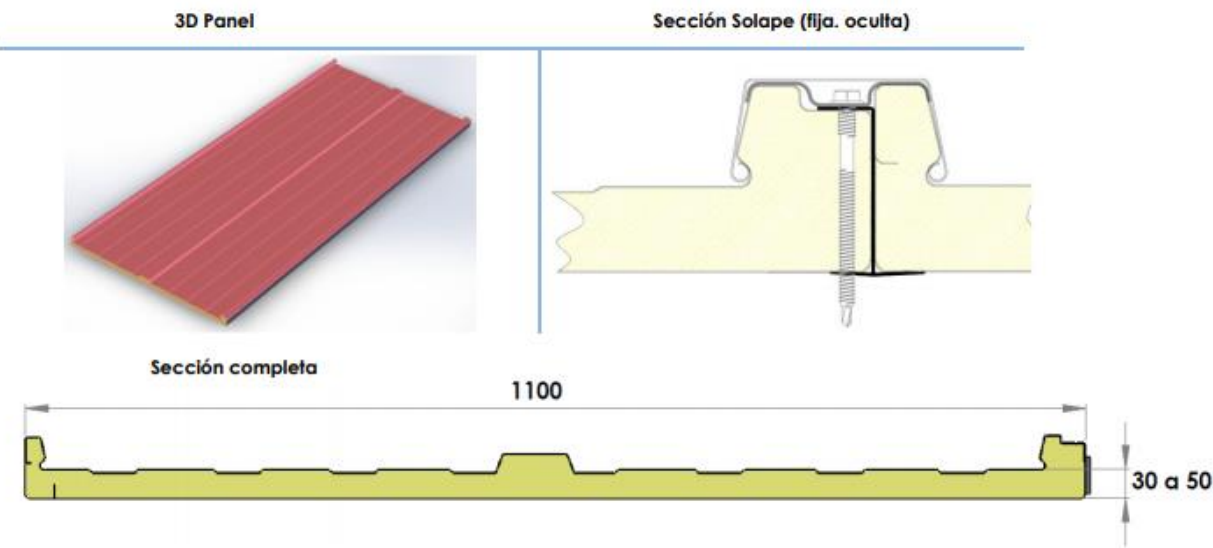
Interpolazioaren bitartez, lortutako balioa:

$$-5,4774 \frac{\text{kN}}{\text{m}^2} \rightarrow 95,855 \text{ cm} = 958,55 \text{ mm}$$

**3.20. Irudia. Euskarrien arteko distantzia**

### 3.1.5 ALBOKO ITXITUREN IKERKETA

Aurreko atalean egin den bezala, alboko itxitura aukeratzeko karga kritiko maximoa bilatu da, eta ondoren EUROPERFIL ekoizleak dituen produktuen artean hobeto moldatzen den itxitura erabili izan da.



**3.21. Irudia. ETNA estalkiareneko irudia**

ETNA izeneko itxitura erabiliko da, itxitura honen ezaugarrien artean aislamendu termikoa, akustiko eta sute baten aurreko B-s2 EN 13501-1 norma betetzen du. Baita ere hartzarriko korrosioa arazok. Beraz, korrosioaren aurrean portaera ona duen estalki bat bilatu izan da, gainera, junta estalitak duen itxitura aukeratu izan da.

Características físicas panel:		
Peso Panel (kg/m <sup>2</sup> )	Espesor del panel (mm)	
Esp. Ext: 0,50 mm	30	40
A. Útil: 1.100 mm	6,58	6,98
		7,38

**3.18. Taula. ETNA estalkiareneko ezaugarri taula**

- “PANEL arquitectónico ETNA” producto
- E = 50 mm
- Panelaren pisua:  $7,38 \frac{\text{kg}}{\text{m}^2} = 0,07237 \frac{\text{kN}}{\text{m}^2}$

Teilatuan gertatzen den bezala, kargak deskonposatu beharko dira karga konbinaketak lortzeko. Taulan ikusten den bezala, erabilera eta elurra ez dute kargarik sortuko hormetan eta pisua berriz kritikoagoa izango da ez bait da txikituko angelu baten bitartez.

<i>INDARRAK</i>	<i>NORABIDEA</i>	<i>INDARRAK (<math>\frac{kN}{m^2}</math>)</i>
<i>PISUA</i>	Perpendikular	0
	Paralelo	0,07237
<i>ERABILERA</i>	Perpendikular	0
	Paralelo	0
<i>ELURRA</i>	Perpendikular	0
	Paralelo	0
<i>HAIZEA PRESIOAN</i>	Perpendikular	1.240664152
	Paralelo	0
<i>HAIZEA SUKZIOAN</i>	Perpendikular	-1.990165632
	Paralelo	0

### 3.19. Taula. Konbinazio kritikoen balio taula

Karga konbinaketak:

$$\gamma_G * q_{BP} + \gamma_G * q_{H\uparrow}$$

$$\begin{aligned} \text{Perpendikular}(\perp) &\rightarrow 0,8 * 0 + 1,5 * (-1,9901) = -2,98515 \text{ kN/m}^2 \\ \text{Paralelo } (\parallel) &\rightarrow 0,8 * 0,07237 + 1,5 * (0) = 0,05789 \text{ kN/m}^2 \end{aligned}$$

$$\gamma_G * q_{BP} + \gamma_G * q_E$$

$$\begin{aligned} \text{Perpendikular}(\perp) &\rightarrow 1,35 * 0 + 1,5 * (0) = 0 \text{ kN/m}^2 \\ \text{Paralelo } (\parallel) &\rightarrow 1,35 * 0,07237 + 1,5 * (0) = 0,097699 \text{ kN/m}^2 \end{aligned}$$

$$\gamma_G * q_{BP} + \gamma_G * q_{EL} + \gamma_G * \Psi_0 * q_{H\downarrow}$$

$$\begin{aligned} \text{Perpendikular}(\perp) &\rightarrow 1,35 * 0 + 1,5 * (0) + 1,5 * 0,6 * 1,24066 = 1,116594 \text{ kN/m}^2 \\ \text{Paralelo } (\parallel) &\rightarrow 1,35 * 0,07237 + 1,5 * (0) + 1,5 * 0,6 * 0 = 0,097699 \text{ kN/m}^2 \end{aligned}$$

Lortutako emaitzak aztertzen badira, ikusi ahal da 1. Hipotesia ( $\gamma_G * q_{BP} + \gamma_G * q_{H\uparrow}$ ) berriz hipotesi kritikoena dela, beraz, prozedura berdina errepetituko da.

## EUROPERFIL ekoizleak emandako ezaugarri mekanikoak:

Carga a presión (daN/m <sup>2</sup> ):		Ancho apoyo: 100 mm							
Esp. Panel (mm):		Luz máxima admisible a vano simple (m)							
		1,00	1,25	1,50	1,75	2,00	2,25	2,50	2,75
		30	334	212	146	106	80	63	50
		40	352	223	154	112	84	66	52
		50	395	251	173	126	95	74	59
		Luz máxima admisible a vano doble (m)							
		1,00	1,25	1,50	1,75	2,00	2,25	2,50	2,75
		30	593	376	259	188	142	112	88
		40	625	396	273	199	149	117	92
		50	702	446	307	224	168	131	104
		3,00							

Carga a depresión <sup>(3)</sup> (daN/m<sup>2</sup>):

Esp. Panel (mm):		Luz máxima admisible a vano simple o doble (m)							
		1,00	1,25	1,50	1,75	2,00	2,25	2,50	2,75
30		664	423	293	214	163	128	103	84
40		726	463	320	234	178	140	112	92
50		775	494	342	250	190	149	120	98
									82

## 3.20. Taula. EUROPERFIL ekoizleak emandako ezaugarri

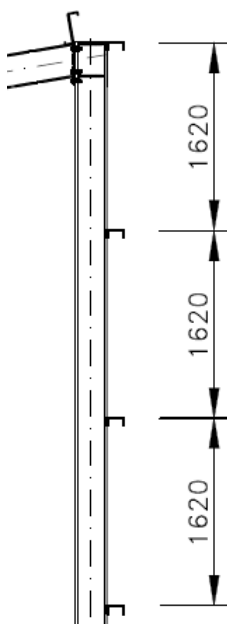
Beraz, euskarrien arteko distantzia kalkulatzeko, ekoizleak ematen dituen balio taulen eta hipotesi kritikoaren arteko interpolazioa egin beharko da. Hipotesi kritikoena (1. Hipotesia  $(\gamma_G * q_{BP} + \gamma_G * q_{H\uparrow}) = -2,98515 \text{ kN/m}^2$ ) balioa du eta autatu egin den estalkia 50mm-ko lodiera duenez:

$$1,75 \text{ m} \rightarrow 2,5 \text{ kN/m}^2$$

$$1,50 \text{ m} \rightarrow 3,42 \text{ kN/m}^2$$

Interpolazioaren bitartez, lortutako balioa:

$$-2,98515 \frac{\text{kN}}{\text{m}^2} \rightarrow 1,618 \text{ m}$$



3.22. Irudia. Euskarrien arteko distantzia

### 3.1.6 KALKULU PROGRAMEN BIDEZKO ALTZAIRUZKO EGITURAREN DIMENTSIONAKETA

Kanpo akzioak eta egituraren teilatu eta hormen itxitura definituta izanik, egituraren beste elementuak dimentsionatu behar dira kalkulu programa baten bitartez. Proiektu honetan CYPE kalkulu programa erabiliko da egituraren altzairuzko elementuak dimentsionatzeko.

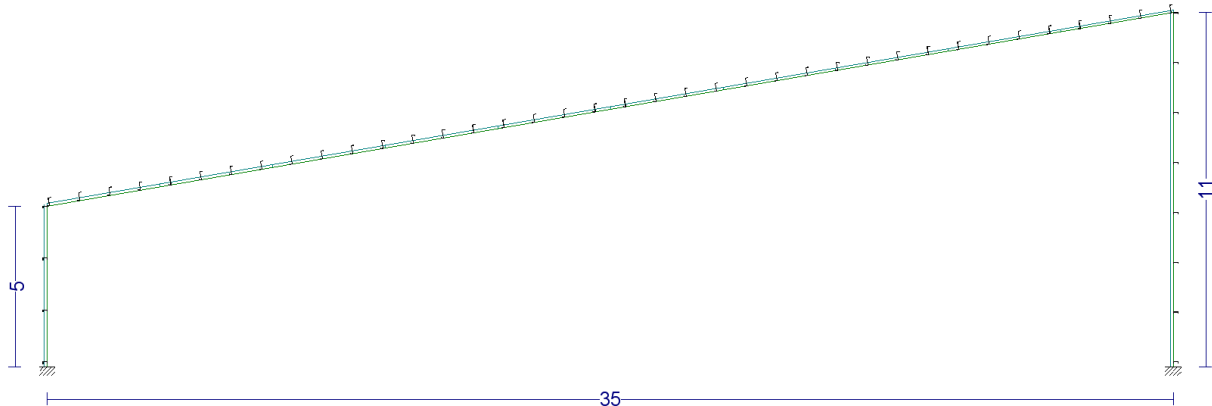
CYPE kalkulu programa erabiliko da, baina ez bere osotasunean, altzairuzko elementuak dimentsionatzeko bi tresna erabiliko dira, “Generador de Porticos” petralak dimentsionatzeko eta “CYPE 3D”, egituraren beste elementu nagusiak definitzeko, habeak eta zutabeak.

Orain arte definitutako kanpo akzioak berrerabiliko dira, kalkulu programan CTE eta egituraren kokalekua sartu beharko dira proiektu berri baten bitartez. Hurrengo ataletan azalduko da nola kalkulatu diren elementu guztiak.

#### 3.1.6.1 PETRALEN IKERKETA ETA FROGAKETA

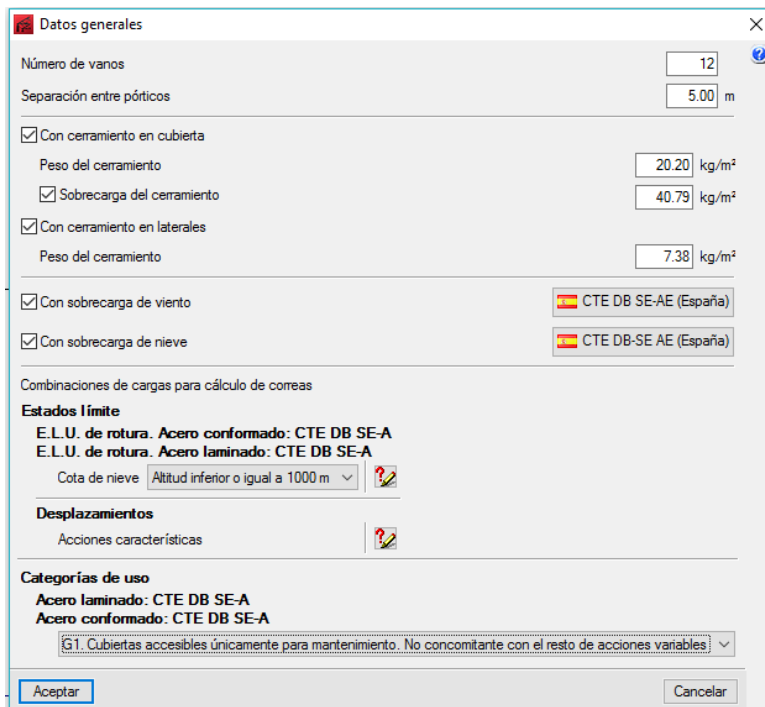
Petalak dimentsionatzeko CYPE kalkulu programaren bitartez “Generador de Pórticos” atalean portikoaren neurriak eta baldintzak definitu dira. Egituraren neurriak definitzeko, portikoaren altuera, teilatu mota eta argia espezifikatu egin dira. Estalkiaren pisua, haizearen gainkarga, elurraren gainkarga edo espezifikazio geometrikoak definitu egin dira.

Jarraian, CYPE softwarearen irudiak aurkeztuko dira, neurriak definitzen, non portikoaren argia 35 metro izango dira, hormak 5 eta 11-koak dira eta teilatuaren inklinazioa  $5^{\circ}$ -koa da.



3.23. Irudia. CYPE emandako portikoen eskema

Egiturak bi estalki ezberdin dituenez, bi estalki ezberdin definitu dira. Alde batetik, teilitatuko estalkia “ACH” ekoizlearen “PANEL DE FIJACIONES OCULTAS ACH” produktua erabiliko da, panelaren pisua  $20,20 \frac{\text{kg}}{\text{m}^2} = 0,1981 \frac{\text{kN}}{\text{m}^2}$  da. Beste aldetik, alboetako itxitura “EUROPERFIL” ekoizlearen “Nereo Elit” modeloa osatzen du,  $7,38 \frac{\text{kg}}{\text{m}^2} = 0,07237 \frac{\text{kN}}{\text{m}^2}$  gainkarga sortuz.

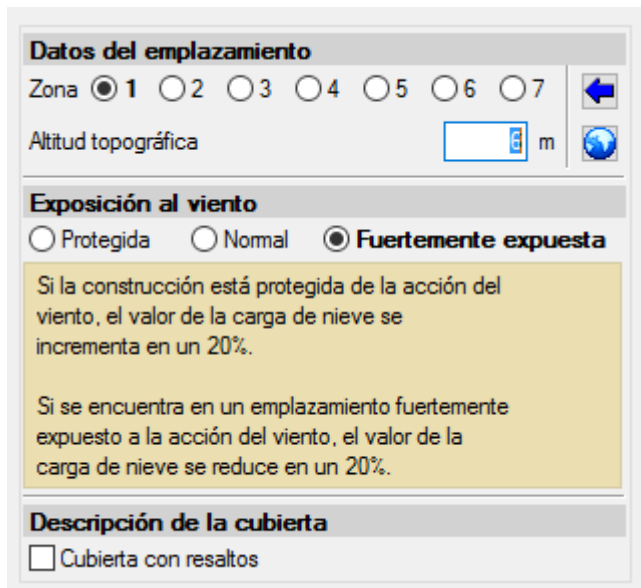


**3.24. Irudia. CYPE-ko leihoa “Datos generales”**

Haizearen eta eluraren gainkarga definitzeko, CTE DB SE-AE erabili izan da, programan aurredefinituta bait dago, beraz, “3.1.3 Egituraren gaineko akzioak” atalean eta softwarearen bitartez lortutako datuak bat egin dute.



**3.25. Irudia. CYPE-ko leihoa “Normativa para el calculo de la sobrecarga de viento”**



**3.26. Irudia. CYPE-ko leihoa “Datos de emplazamiento”**

Elurra definitzeko antzeko prozedura eraman da. Mapa baten bitartez egituraren kokapena definitu izan da, baita ere espezifikatu behar da eraikinaren kokapenaren altuera, proiektu honetan 0 metrotara egongo da, nerbio ibaiaren itsasadarrean kokatuko delako.

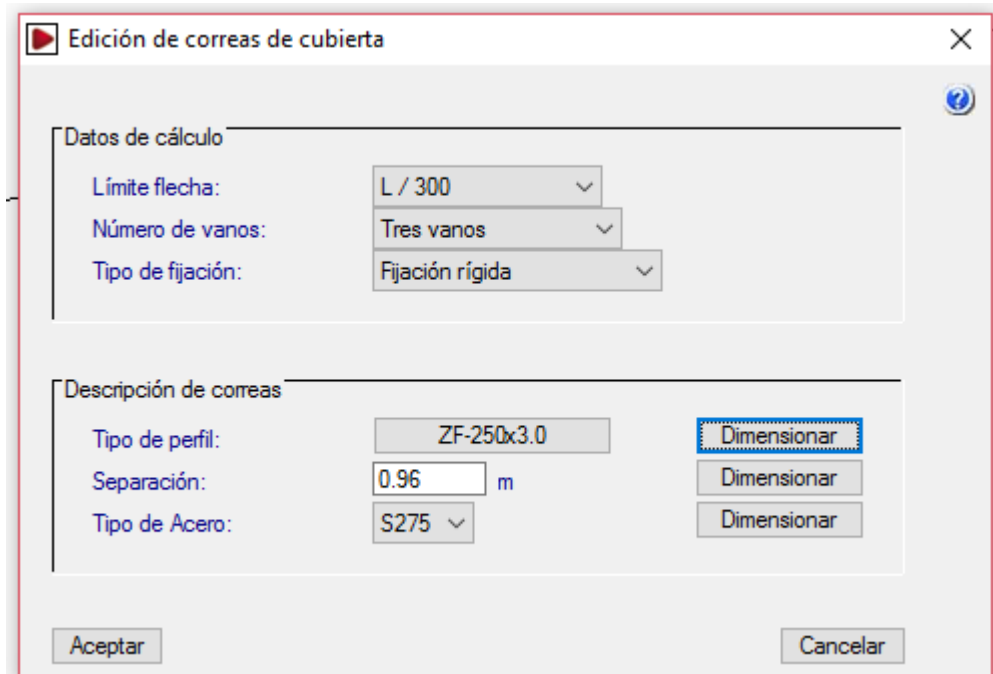
Ondoren CYPE kalkulu programa konbinazio kritikoekin kalkulatzen dira. CTE DB SE-A dokumentuak azaltzen duten bezala, programan espezifikatu bait da zer legedi bete behar den.

Petalak CYPE erabiliz kalkulatzen dira, prozedura hau birritan egin beharko da, teilatuan kokatutako petralak dimentsionatzeko eta alboetan jarriko diren petralak aukeratzeko. Petral sekzio ezberdinak aukeratu egin dira teilatu eta hormetarako.

Procedura “**Datos generales > Edición de correas en cubiertas y en laterales**”

### 3.1.6.1.1. Teilatuan kokatutako petralak

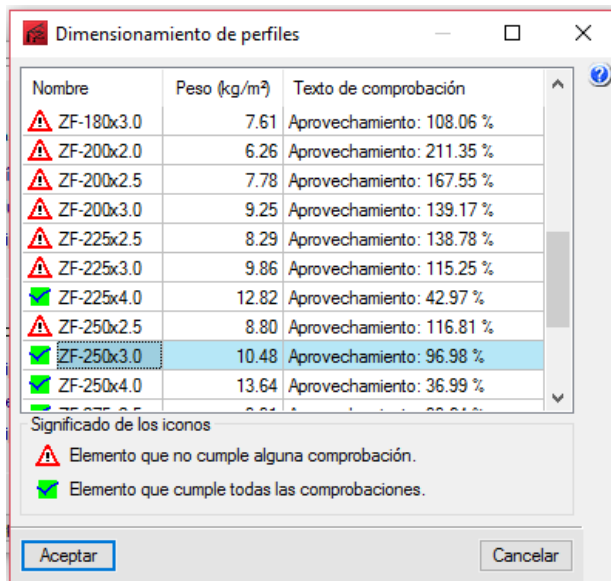
Lehenengo estalkian jarriko diren petralak dimentsionatuko dira. Horretarako, zenbait baldintza jarriko dira, segurtasunaren alde egokiagoak izateko.



3.27. Irudia. CYPE-ko leihoa “Edición de correas de cubierta”

- Gezi limitea: L/300 (CTE DB SE dokumentuan 4.3.3.1 atalean adierazita)
- Bao kopurua: 3 bao
- Finkatze metodoa: Finkatze zurruna
- Petralen arteko distantzia: 0.96 m. (“3.1.4 Teilatuaren estalkiaren ikerketa” atalean azaldutako metodoa erabili izan da distantzia aukeratzeko.)
- Altzairu mota: S275
- Sekzioaren profil mota: ZF

CYPE kalkulu programa erabiliz aurreko baldintzak kontuan edukita profilaren sekzio egokiena aukeratu izan da:



3.28. Irudia. CYPE-ko leihoa “Dimensionamiento de perfiles”

Ondoren, ZF-250x3.0 sekzioa erabili izan da, programaren bitartez lortutako emaitzak hoberenak lortu bait dira.

Perfil: ZF-250x3.0	Características mecánicas																	
Material: S275	Nudos		Longitud (m)	Área (cm <sup>2</sup> )	I <sub>y</sub> <sup>(1)</sup> (cm <sup>4</sup> )	I <sub>z</sub> <sup>(1)</sup> (cm <sup>4</sup> )	I <sub>yz</sub> <sup>(4)</sup> (cm <sup>4</sup> )	I <sub>t</sub> <sup>(2)</sup> (cm <sup>4</sup> )	y <sub>g</sub> <sup>(3)</sup> (mm)	z <sub>g</sub> <sup>(3)</sup> (mm)	α <sup>(5)</sup> (grados)							
	Inicial	Final																
34.527, 55.000, 10.919	34.527, 50.000, 10.919	5.000	12.81	1164.76	137.91	-288.48	0.38	2.34	3.60	14.7								
<i>Notas:</i>																		
(1) Inercia respecto al eje indicado (2) Momento de inercia a torsión uniforme (3) Coordenadas del centro de gravedad (4) Producto de inercia (5) Es el ángulo que forma el eje principal de inercia U respecto al eje Y, positivo en sentido antihorario.																		
	Pandeo			Pandeo lateral														
	Plano XY		Plano XZ	Ala sup.		Ala inf.												
β	0.00		1.00	0.00		0.00												
L <sub>K</sub>	0.000		5.000	0.000		0.000												
C <sub>1</sub>	-			1.000														
<i>Notación:</i>																		
β: Coeficiente de pandeo L <sub>K</sub> : Longitud de pandeo (m) C <sub>1</sub> : Factor de modificación para el momento crítico																		

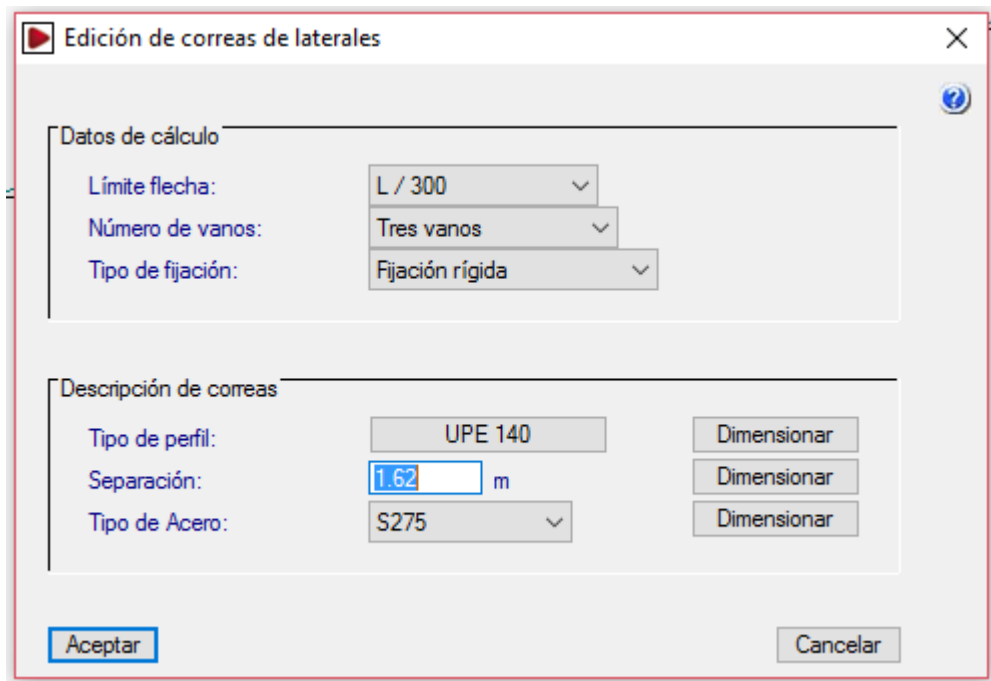
3.29. Irudia. CYPE-ko leihoa ZF-250x3.0 ezaugarriak

Barra	COMPROBACIONES (CTE DB SE-A)													Estado
	b / t	$\lambda$	N <sub>t</sub>	N <sub>c</sub>	M <sub>y</sub>	M <sub>z</sub>	M <sub>y</sub> M <sub>z</sub>	V <sub>y</sub>	V <sub>z</sub>	N <sub>t</sub> M <sub>y</sub> M <sub>z</sub>	N <sub>c</sub> M <sub>y</sub> M <sub>z</sub>	NM <sub>y</sub> M <sub>z</sub> V <sub>y</sub> V <sub>z</sub>	M <sub>t</sub> NM <sub>y</sub> M <sub>z</sub> V <sub>y</sub> V <sub>z</sub>	
pésima en cubierta	b / t ≤ (b / t) <sub>Máx.</sub> Cumple	N.P. <sup>(1)</sup>	N.P. <sup>(2)</sup>	N.P. <sup>(3)</sup>	x: 0 m $\eta = 97.0$	N.P. <sup>(4)</sup>	N.P. <sup>(5)</sup>	N.P. <sup>(6)</sup>	x: 0 m $\eta = 10.1$	N.P. <sup>(7)</sup>	N.P. <sup>(8)</sup>	N.P. <sup>(9)</sup>	N.P. <sup>(10)</sup>	CUMPLE $\eta = 97.0$
<i>Notación:</i>														
<p>b / t: Relación anchura / espesor</p> <p><math>\lambda</math>: Limitación de esbeltez</p> <p>N<sub>t</sub>: Resistencia a tracción</p> <p>N<sub>c</sub>: Resistencia a compresión</p> <p>M<sub>y</sub>: Resistencia a flexión. Eje Y</p> <p>M<sub>z</sub>: Resistencia a flexión. Eje Z</p> <p>M<sub>y</sub>M<sub>z</sub>: Resistencia a flexión biaxial</p> <p>V<sub>y</sub>: Resistencia a corte Y</p> <p>V<sub>z</sub>: Resistencia a corte Z</p> <p>N<sub>t</sub>M<sub>y</sub>M<sub>z</sub>: Resistencia a tracción y flexión</p> <p>N<sub>c</sub>M<sub>y</sub>M<sub>z</sub>: Resistencia a compresión y flexión</p> <p>NM<sub>y</sub>M<sub>z</sub>V<sub>y</sub>V<sub>z</sub>: Resistencia a cortante, axil y flexión</p> <p>M<sub>t</sub>NM<sub>y</sub>M<sub>z</sub>V<sub>y</sub>V<sub>z</sub>: Resistencia a torsión combinada con axil, flexión y cortante</p> <p>x: Distancia al origen de la barra</p> <p><math>\eta</math>: Coeficiente de aprovechamiento (%)</p> <p>N.P.: No procede</p>														
Comprobaciones que no proceden (N.P.):														
<p>(1) La comprobación no procede, ya que no hay axil de compresión ni de tracción.</p> <p>(2) La comprobación no procede, ya que no hay axil de tracción.</p> <p>(3) La comprobación no procede, ya que no hay axil de compresión.</p> <p>(4) La comprobación no procede, ya que no hay momento flector.</p> <p>(5) La comprobación no procede, ya que no hay flexión biaxial para ninguna combinación.</p> <p>(6) La comprobación no procede, ya que no hay esfuerzo cortante.</p> <p>(7) No hay interacción entre axil de tracción y momento flector para ninguna combinación. Por lo tanto, la comprobación no procede.</p> <p>(8) No hay interacción entre axil de compresión y momento flector para ninguna combinación. Por lo tanto, la comprobación no procede.</p> <p>(9) No hay interacción entre momento flector, axil y cortante para ninguna combinación. Por lo tanto, la comprobación no procede.</p> <p>(10) La comprobación no procede, ya que no hay momento torso.</p>														

### 3.30. Irudia. CYPE-ko leihoa ZF-250x3.0 ezaugarriak

### 3.1.6.1.2. Alboetan kokatutako petralak

Jarraian, alboetan erabili izan den petralen aukeraketa erakutsiko da, prozesu berdina erabiliz diseinatu izan dira hormetako petralak, aldaketa batekin, beste sekzio bat erabili izan da, UPE sekzio mota erabili izan da agertuko diren tentsioen aurrean inertzi momentu egokia bait du.

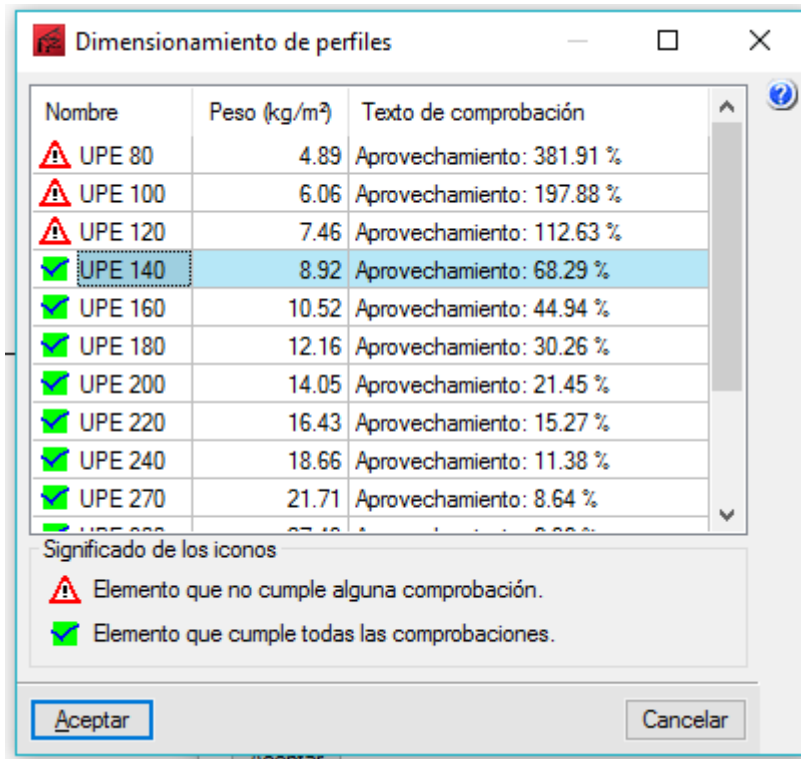


3.31. Irudia. CYPE-ko leihoa “Edición de correas de cubierta”

- Gezi limitea: L/300 (CTE DB SE dokumentuan 4.3.3.1 atalean adierazita)
- Bao kopurua: 3 bao
- Finkatze metodoa: Finkatze zurruna
- Petralen arteko distantzia: 1.62 m. (“3.1.5 Alboko itxituren ikerketa” atalean azaldutako metodoa erabili izan da distantzia aukeratzeko.)
- Altzairu mota: S275
- Sekzioaren profil mota: UPE

Baldintzak sartu ondoren kalkulu programan, erabaki izan da emaitzak aztertuz aukerarik hoberena UPE 140 sekziodun profila aukeratzea.

CYPE kalkulu programa erabiliz aurreko baldintzak kontuan edukita profilaren sekzio egokiena aukeratu izan da:



3.32. Irudia. CYPE-ko leihoa “Dimensionamiento de perfiles”

Ondoren, UPE 140 sekzioa erabili izan da, programaren bitartez lortutako emaitzak hoberenak lortu bait dira.

Perfil: UPE 140 Material: S275		Características mecánicas								
		Nudos		Longitud (m)	Área (cm <sup>2</sup> )	$I_y^{(1)}$ (cm <sup>4</sup> )	$I_z^{(1)}$ (cm <sup>4</sup> )	$I_t^{(2)}$ (cm <sup>4</sup> )	$y_g^{(3)}$ (mm)	$z_g^{(3)}$ (mm)
		Inicial	Final							
		0.000, 10.000, 0.810	0.000, 5.000, 0.810	5.000	18.40	599.50	78.70	4.05	-10.80	0.00
Notas: (1) Inercia respecto al eje indicado (2) Momento de inercia a torsión uniforme (3) Coordenadas del centro de gravedad										
		Pandeo				Pandeo lateral				
		Plano XY		Plano XZ		Ala sup.		Ala inf.		
$\beta$		0.00		1.00		0.00		0.00		
$L_K$		0.000		5.000		0.000		0.000		
$C_m$		1.000		1.000		1.000		1.000		
$C_1$		-				1.000				
Notación: $\beta$ : Coeficiente de pandeo $L_K$ : Longitud de pandeo (m) $C_m$ : Coeficiente de momentos $C_1$ : Factor de modificación para el momento crítico										

3.33. Irudia. CYPE-ko leihoa UPE 140 ezaugarriak

Barra	COMPROBACIONES (CTE DB SE-A)													Estado		
	$\bar{\lambda}$	$\lambda_w$	$N_t$	$N_c$	$M_y$	$M_z$	$V_z$	$V_y$	$M_y V_z$	$M_z V_y$	$N M_y M_z$	$N M_y M_z V_y V_z$	$M_t$	$M_t V_z$	$M_t V_y$	
pésima en lateral	N.P.(1) Cumple	$\lambda_w \leq \lambda_{w,\max}$ N.P.(2)	$N_{Ed} = 0.00$ N.P.(3)	$N_{Ed} = 0.00$ x: 5 m N.P.(4)	$x: 5 m$ $\eta = 39.5$	$M_{Ed} = 0.00$ N.P.(5)	$V_{Ed} = 0.00$ $\eta < 0.1$				N.P.(6)	N.P.(7)	N.P.(8)	$M_{Ed} = 0.00$ N.P.(9)	N.P.(10)	CUMPLE $\eta = 39.5$
<i>Notación:</i>																
$\bar{\lambda}$ : Limitación de esbeltez $\lambda_w$ : Abolladura del alma inducida por el ala comprimida $N_t$ : Resistencia a tracción $N_c$ : Resistencia a compresión $M_y$ : Resistencia a flexión eje Y $M_z$ : Resistencia a flexión eje Z $V_z$ : Resistencia a corte Z $V_y$ : Resistencia a corte Y $M_y V_z$ : Resistencia a momento flector Y y fuerza cortante Z combinados $M_z V_y$ : Resistencia a momento flector Z y fuerza cortante Y combinados $N M_y M_z$ : Resistencia a flexión y axil combinados $N M_y M_z V_y V_z$ : Resistencia a flexión, axil y cortante combinados $M_t$ : Resistencia a torsión $M_t V_z$ : Resistencia a cortante Z y momento torsor combinados $M_t V_y$ : Resistencia a cortante Y y momento torsor combinados $x$ : Distancia al origen de la barra $\eta$ : Coeficiente de aprovechamiento (%) N.P.: No procede																
Comprobaciones que no proceden (N.P.):																
(1) La comprobación no procede, ya que no hay axil de compresión ni de tracción. (2) La comprobación no procede, ya que no hay axil de tracción. (3) La comprobación no procede, ya que no hay axil de compresión. (4) La comprobación no procede, ya que no hay momento flector. (5) La comprobación no procede, ya que no hay esfuerzo cortante. (6) No hay interacción entre momento flector y esfuerzo cortante para ninguna combinación. Por lo tanto, la comprobación no procede. (7) No hay interacción entre axil y momento flector ni entre momentos flectores en ambas direcciones para ninguna combinación. Por lo tanto, la comprobación no procede. (8) No hay interacción entre momento flector, axil y cortante para ninguna combinación. Por lo tanto, la comprobación no procede. (9) La comprobación no procede, ya que no hay momento torsor. (10) No hay interacción entre momento torsor y esfuerzo cortante para ninguna combinación. Por lo tanto, la comprobación no procede.																

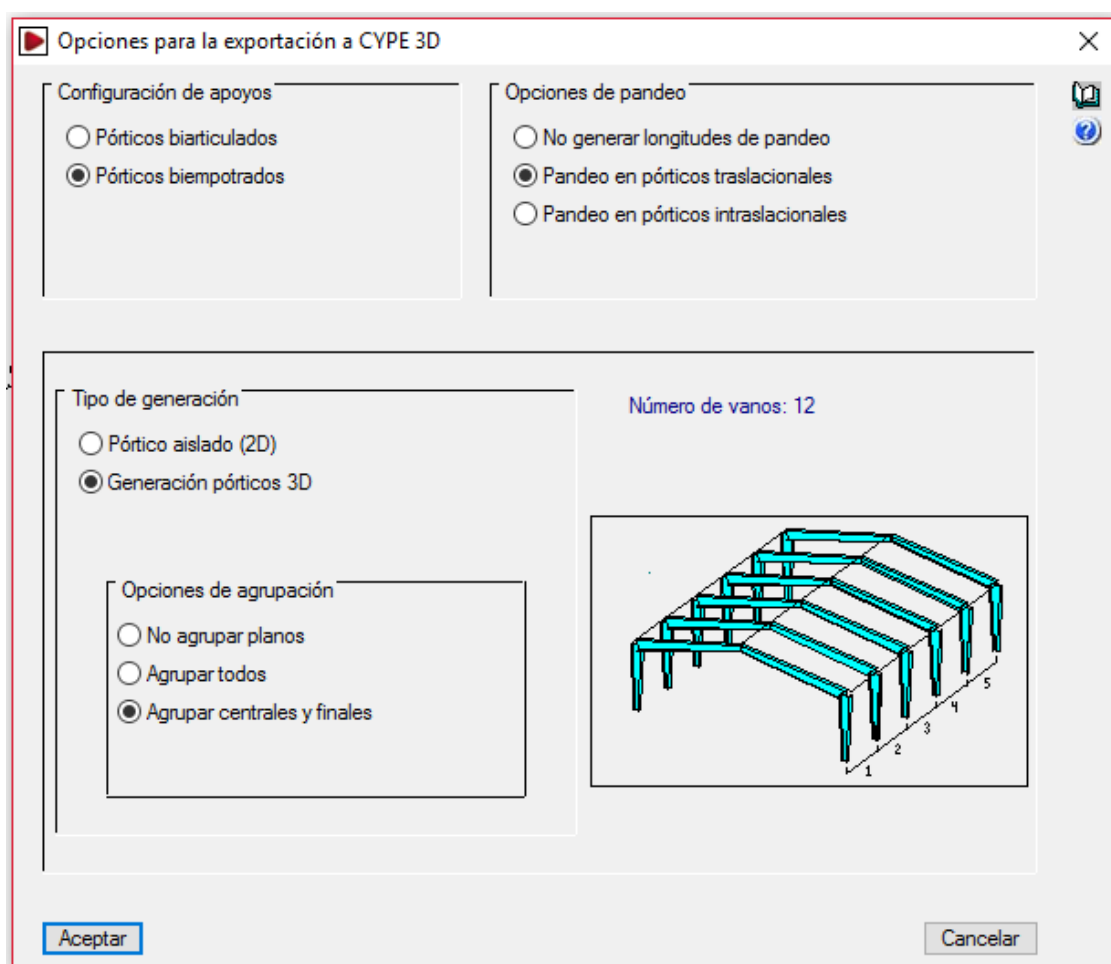
### 3.34. Irudia. CYPE-ko leihoa UPE 140 ezaugariak

### 3.1.6.2 PORTIKOEN OSAGAIEN IKERKETA

Itxitura, gainkarga konbinazio kritikoenak eta petralak aukeratu ondoren, portikoen elementu ezberdinak dimentsionatu beharko dira, prozesua aurrera eramateko “Generador de porticos” atalean ebatzi izan den egitura “CYPE 3D” atalean dimentsionatuko dira gainontzeko elementuak.

CYPE 3D atalean portikoen diseinu baldintzak aurredefinitu behar dira, hurrengo atalean aurkeztuko dira hartutako erabakiak:

Portiko bienpotratuak erabiliko dira egituraren argiaren dimentsioak direla eta. Portikoek 35 metroko argia izango dute, beraz, habe-zutabe korapiloetan agertuko diren momentuak oso handiak izango dira. Arazoak ekiditeko eta momentuak banatzeko, portiko bienpotratuak erabiliko dira, zapatetan agertuko dira momentuak baina habe-zutabe loturetan agertuko diren momentuak txikiagoak izango dira berriz.



3.35. Irudia. “Generador de porticos” ataletik “CYPE 3D”

Nueva obra

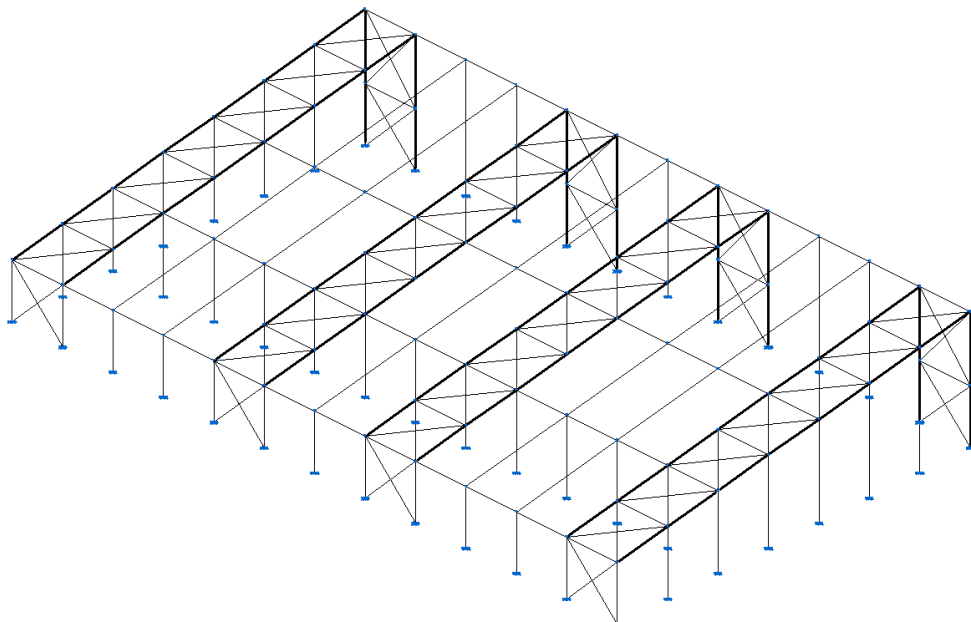
**Normas:** Código Técnico de la Edificación - EHE-98

<b>Perfiles</b>	<b>Hormigón armado</b>
Acero laminado S275	Hormigón para elementos de cimentación HA-25, Control Estadístico
Acero conformado S235	Acero de barras B 400 S, Control Normal
Madera Aseada, procedente de coníferas o ...	Características del árido 30 mm
Aluminio EN AW-5083 - F	Recubrimientos
Hormigón HA-25, Control Estadístico	Memas de acero
<b>Acciones</b>	<b>Terreno de cimentación</b>
Resistencia al fuego	Adherencia ( $a'$ ) 0.000 kp/cm <sup>2</sup>
Estados límite (combinaciones)	Ángulo de rozamiento terreno-zapata ( $d'$ ) 25.00 grados
Hipótesis adicionales	Situaciones persistentes 2.00 kp/cm <sup>2</sup> <input type="button" value="←"/>
Cimentación	Situaciones sísmicas y accidentales 3.00 kp/cm <sup>2</sup>
<b>Opciones</b>	<b>Ambiente</b>
Cimentación	Encepados IIa
Uniones	

**Aceptar** **Cancelar**

3.36. Irudia. “Generador de porticos” ataletik “CYPE 3D”

Jarraian, portikoan agertu behar diren elementu sekundarioak jarriko dira, ala nola, arriostramendu sistema eta laguntza-zutabeak, hurrengo atalean aztertuko dira haien konfigurazio eta dimentsionaketa egokiena.



3.37. Irudia. “Generador de porticos” ataletik “CYPE 3D”

### 3.1.6.2.1 Profilen aukeraketa

Elementu ezberdinen profilak dimentsionatuko dira:

#### **Arriostramenduak:**

Arriostramendu egitura ezberdinak daude, San Andres gurutzeak dira erabilienak, baina beste aukerak aurkitu ahal dira, ala nola, K konfigurazio dutenak. Proiektu honetan San Andres gurutzeak erabiliko dira. Elementu hauen funtzió nagusia karga longitudinalak eta desplazamenduak ekiditeko jartzen dira. Zurruntasuna emanez zutabeen goiko puntuak.

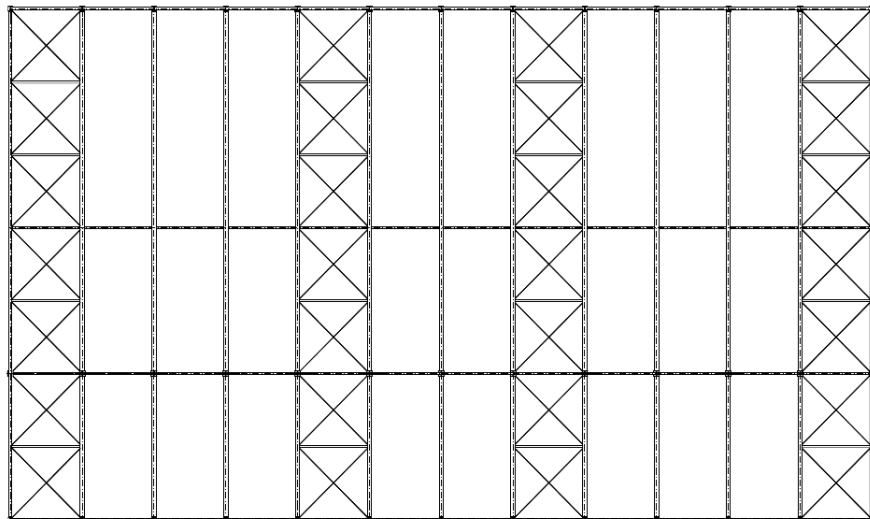
Arriostramendu sistema lehenengo, azkenengo eta erdiko portikoetan jarriko dira, eraikinaren argiaren dela eta, deformazio arazoak ekiditeko.

Hurrengo ezaugarriak bete behar dira CYPE softwareak arriostramendu sistema antzemateko:

- San Andres gurutza forma eraiki behar dute.
- Bere lau ertzetan habeak kokatu behar dira.
- CYPE softwareak bakarrik aztertuko ditu tiranteak trakzioan lan egiten, beraz gilbordura edo enpotramendu koefizienteak erabiltzea ez du baimentzen.
- Ezin dira kargak ezarri tiranteetan.

Arriostramendu sistema eraikitzeko sekzio zirkularreko tiranteak erabiliko dira.

Hurrengo irudian aurkeztuko da egituraren konfigurazioa:



**3.37. Irudia. Teilitako arriostramenduen distribuzioa**

### Laguntza-zutabeak:

Lehenengo eta azkenengo portikoetan jarri egin dira eta IPE sekzioak erabili izan dira.

Behin elementu guztiak kalkulu programan defini ondoren, elementuen dimentsionaketa aurrera eraman izan da. Prozesu honen lehenengo pausoan aurre-dimentsionaketa bat egin da, sekzioaren neurri hurbildu batekin, ondoren iterazio prozesu baten bitartez sekzioen dimentsionamendu finala lortu egin da. Aurreko atalean esan den bezala hurrengo perfil mota erabiliko dira:

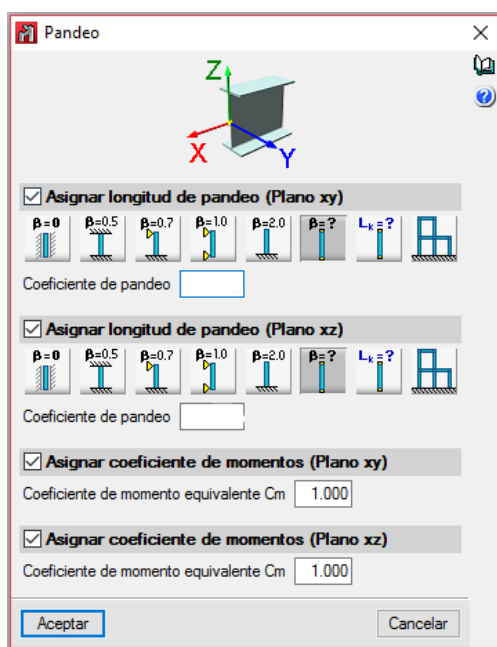
### Zutabeak:

- HEB perfila
- Habeak: IPE perfil sekzio.
- Arriostramenduak: Sekzio zirkularreko tiranteak
- Laguntza-zutabeak: HEB perfila

Haizeak sortatuko kargak ez dira simetrikoak, beraz, eraikinean agertuko diren kargak ezberdinak izango dira eskualde bakoitzean, beraz, barrak dimentsionatzean gertatu ahal da sekzio ezberdinak barrik izatea. Arazo hau ekiditeko barra mota berdinak taldekatuko dira “**Barra>Agrupar**”.

### 3.1.6.2.2 Gilbordura:

Gilbordura luzerak definitu beharko dira sekzioen dimentsionamendu egokia aurrera eramateko, gilbordura luzera definitzeko bi aukera aurkezten dira, alde batetik CTE DB SE-AE dokumentuaren bitartez edo CYPE kalkulu programak egokitutako balioak erabilita.



3.38. Irudia. Gilbordura koefiziente definizio leihoa

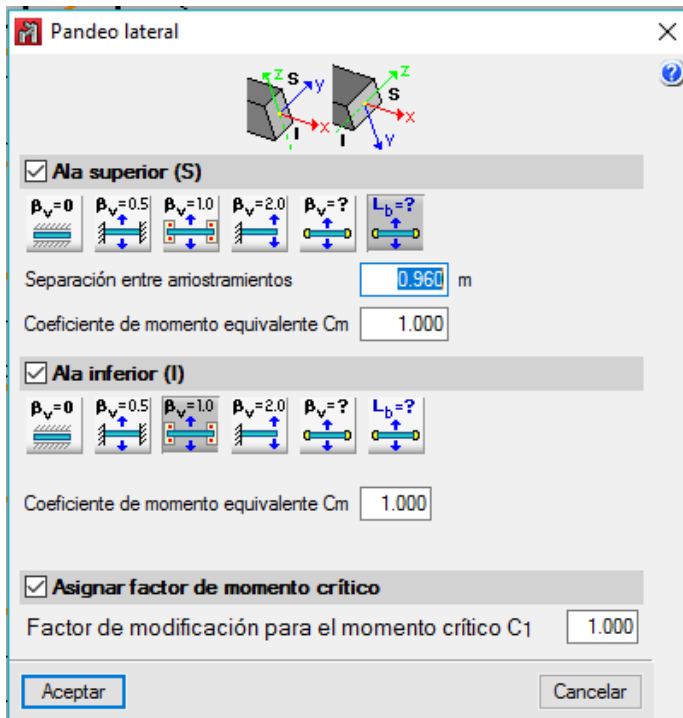
Beharrezkoa izango da bi metodoen arteko konbinaketa, softwareak kalikuluak errazten bait ditu baina zenbait kasuetan  $\beta$ -ren balioa ez da egokia, beraz, kasu ohietan **CTE DB SE-A** dokumentuaren bitartez kalkulatuko dira gilbordura koefizienteak:

	XY planoan		XZ planoan	
	$\beta$	Lk	$\beta$	Lk
Lehenengo eta azken portikoen habeak:	0,11		0,71	
Erdiko portikoen habeak:	0,11		0,71	
Arriostamendu tiranteak:				
Lotura habeak:	1	5 m	1	5 m
Laguntza-zutabeak:	0,09		1	
Zutabeak	0,19		1,57	

3.21. Taula. Gilbordura koefizienteak

### 3.1.6.2.3 Albo-gilbordura:

Teilituan dauden habeen luzera dela eta, albo gilbordura fenomenoa ikertu beharko da, tornapuntasak erabiliko dira zurruntasun handiagoa lortzeko. Alboko gilbordura fenomenoa oso arriskutsua izan ahal da, zenbait karga motekin, adibidez, haizea sukzioan, habearen beheko hegoan eman ahal da.



3.39. Irudia. Albo-Gilbordura koefiziente definizio leihoa

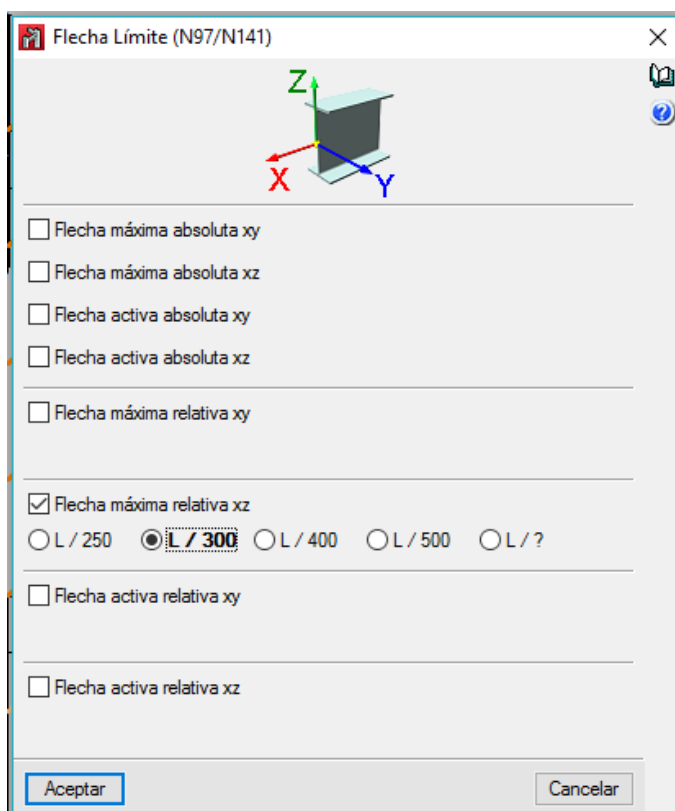
CYPE softwareean ikertzeko “**Barra>Pandeo lateral**” aukeratuko da:

### 3.1.6.2.3 Gezi-limitea:

Gezi limitea aztertzeko **CTE DB SE** dokumentuaren **4.3.3.1** deformazioen gezi limiteak dokumentuan agertzen den bezala aztertuko dira. Dokumentuan azaltzen diren gezi-limite erabili izan dira, bai bertikalki zein horizontalki.

Bi egoera ezberdin aurkeztuko dira, alde batetik, osagai horizontala, teilatua osotzen duten habe eta lotura habeak. Aurkeztuko den beste egoera, osagai bertikalak izango dira, zutabeak.

L/250 baldintza erabiliko da XZ planoan agertuko diren deformazioak ikertzeko, plano horizontalean agertzen diren deformazioak elementu bertikalenzat aztertuko da. Baldintza hau definitu izan da L/300 baldintza ez bait zuten zutabe guztiak betetzen. L/250 nahiko kontserbakorra da eta elementu guztiak gainditzen zuten.



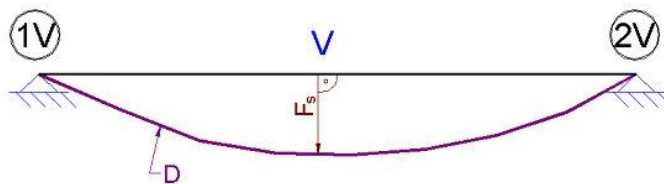
3.41. Irudia. Gezi limite definizio leihoa

Deformazio bertikalenzat berriz, erabiliko da L/300 baldintza egoera kontserbakorrena dela eta.

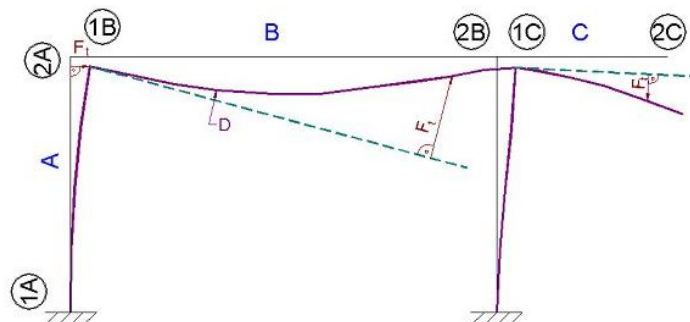
Definitu beharko dira deformazioak neurteko erak, programak hiru egoera ezberdinan banatuko ditu (**Barra>Crear grupo de flechas**):

- “Secante”
- “Tangente en el nudo 1”
- “Tangente en el nudo 2”

Hurrengo irudietan erakusten da deformazioak neurtzeko era ezberdinak, non, aurkeztuko dira sekante eta Tangente erak:



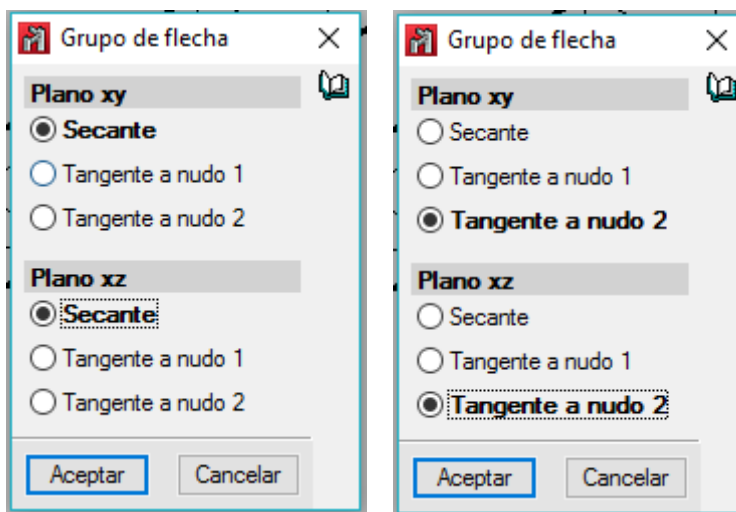
3.42. Irudia. Secante neurketa



3.43. Irudia. Tangente neurketa

Deformazioak neurtzeko era bakoitzak, egokiena izango da elementu mota bakoitzarentzat, proiektu honetan erabiliko direnak hurrengoak dira:

Habe horizontalen deformazio maximoa neurtzeko, “secante” metodoa erabiliko da. Zutabe bertikaletan berriz, deformazio maximoa neurtzeko “tangente en el nudo 2”



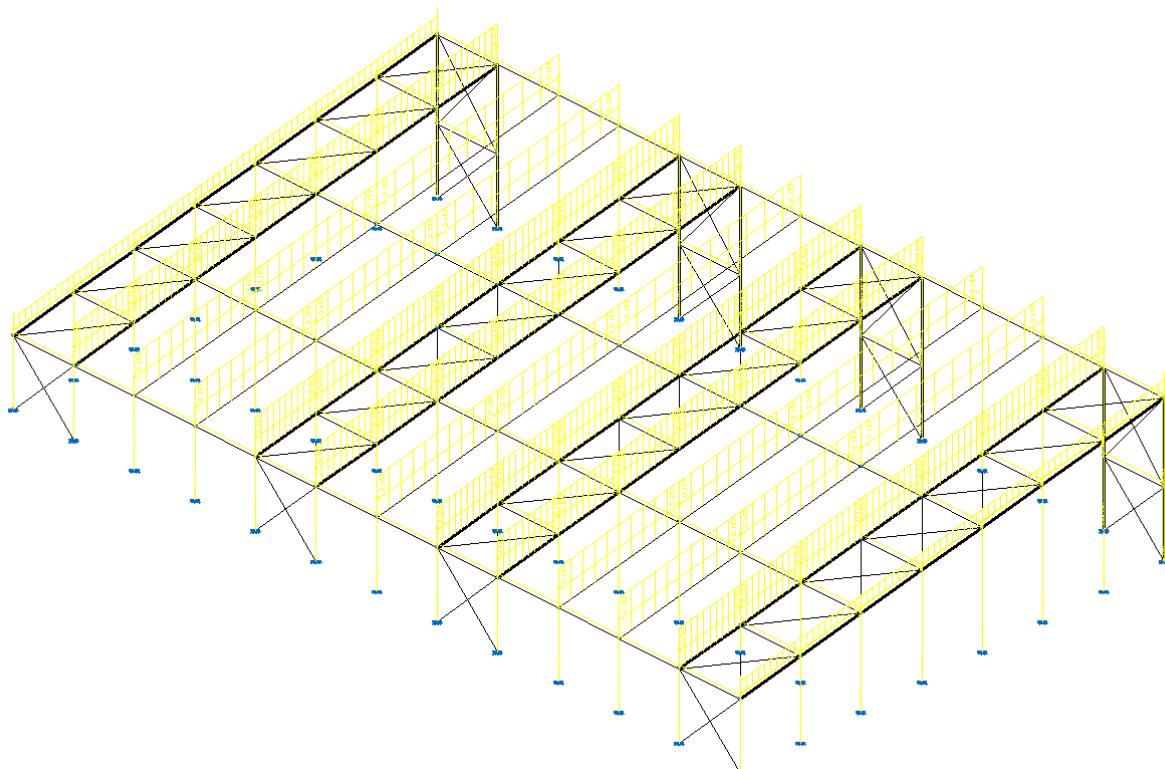
3.44. Irudia. “Grupo de flecha” definitzeko leihoa

### 3.1.6.2.4 Kargak:

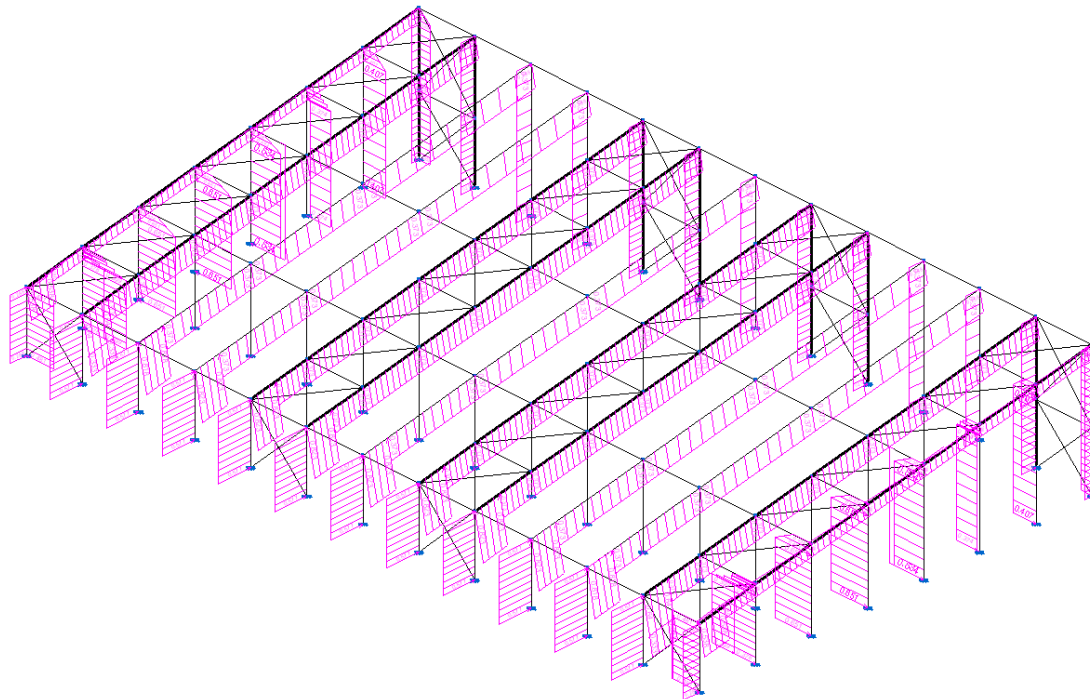
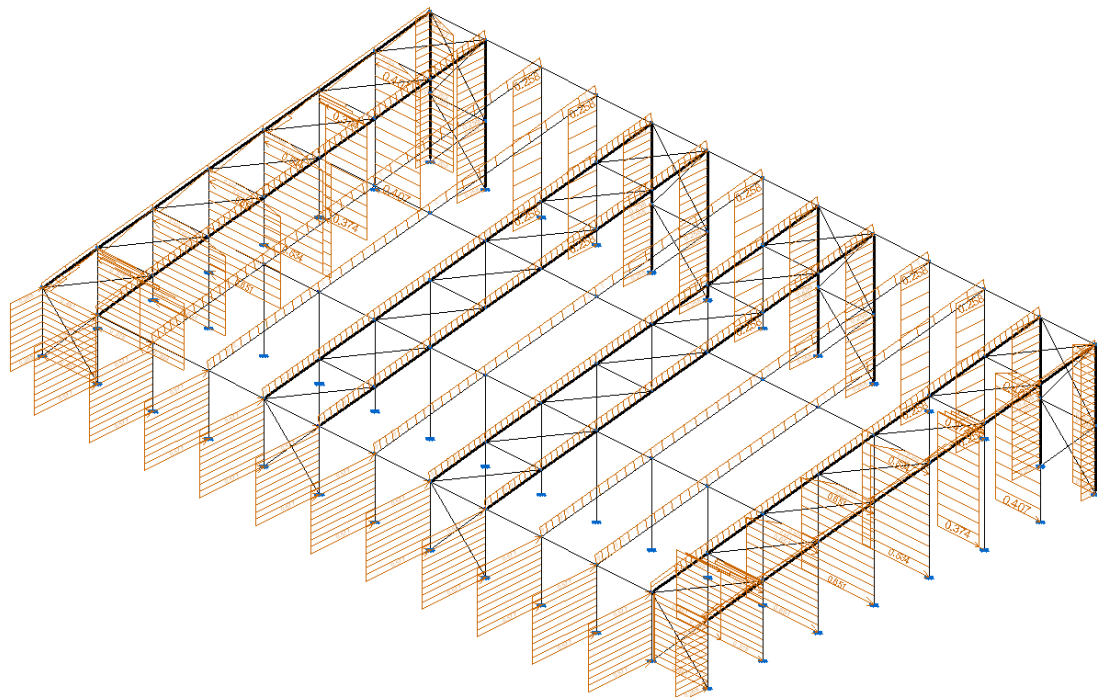
Egituran agertuko diren kargak eta karga-konbinaketa desberdinak ondo definitu beharko dira sezikio egokia aukeratzeko, bestela, aurre-dimentsionamendu kaskarra lortuko zen. Beraz, CYPE kalkulu programa erabiltzen dituen balioak aurredefinitu egin dira “Generador de porticos” atalean, non, CTE DB SE-AE dokumentuan agertzen diren baldintzak erabili izan dira.

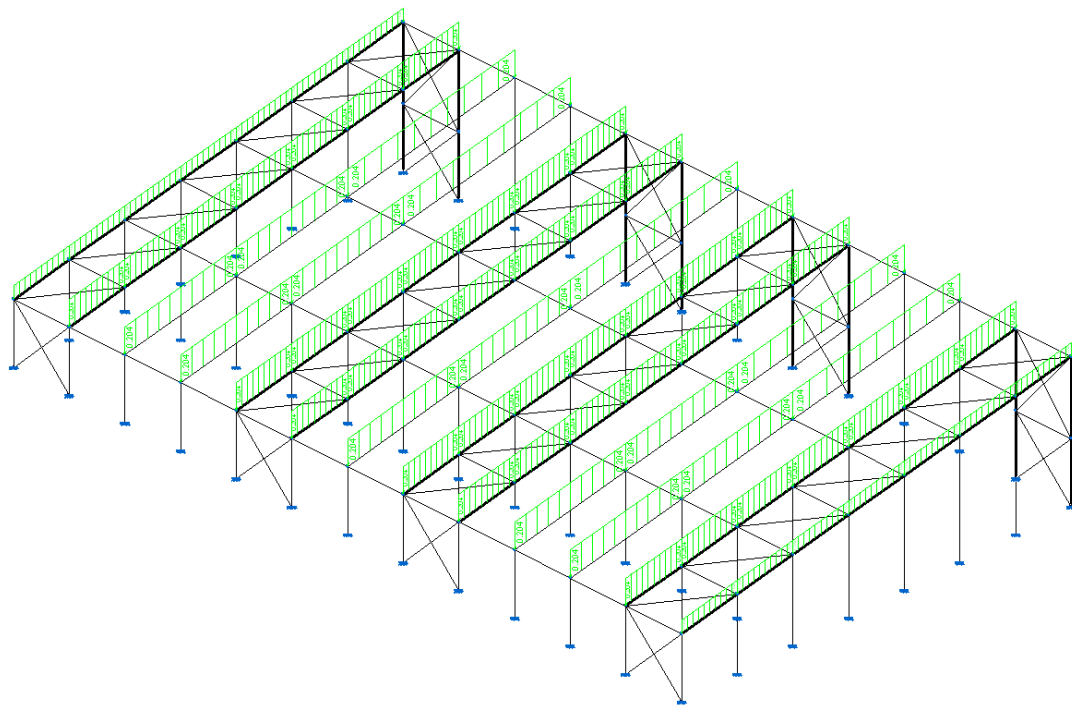
Beraz, atal honetan erabiltzen diren kargak jadanik definitu dira. Beraz, bakarrik ikertu behar da egituraren daueraren eragina. CYPE-n “**Carga>**” leihoa bitartez ikertu egin dira banaka karga bakoitzak, hurrengo emaitzak lortuz:

#### Berezko pisua:

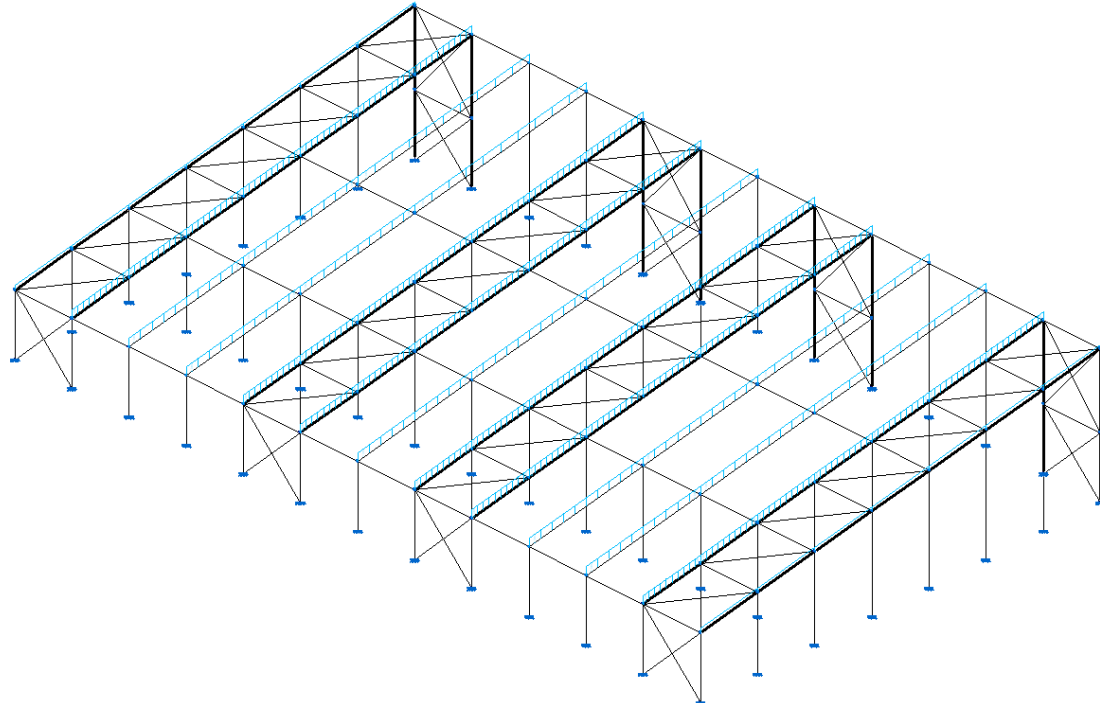


3.45. Irudia. Berezko pisua gainkarga eskema

**Haizea sortutako gainkarga:**H1 - V( $0^\circ$ ), V( $90^\circ$ ), V( $180^\circ$ ), V( $270^\circ$ )H2 - V( $0^\circ$ ),3.46. Irudia. Haizeagatiko V( $0^\circ$ ) H1 gainkarga eskema3.47. Irudia. Haizeagatiko V( $0^\circ$ ) H2 gainkarga eskema

**Erabilera gainkarga:**

3.52. Irudia. Erabilera gainkarga eskema

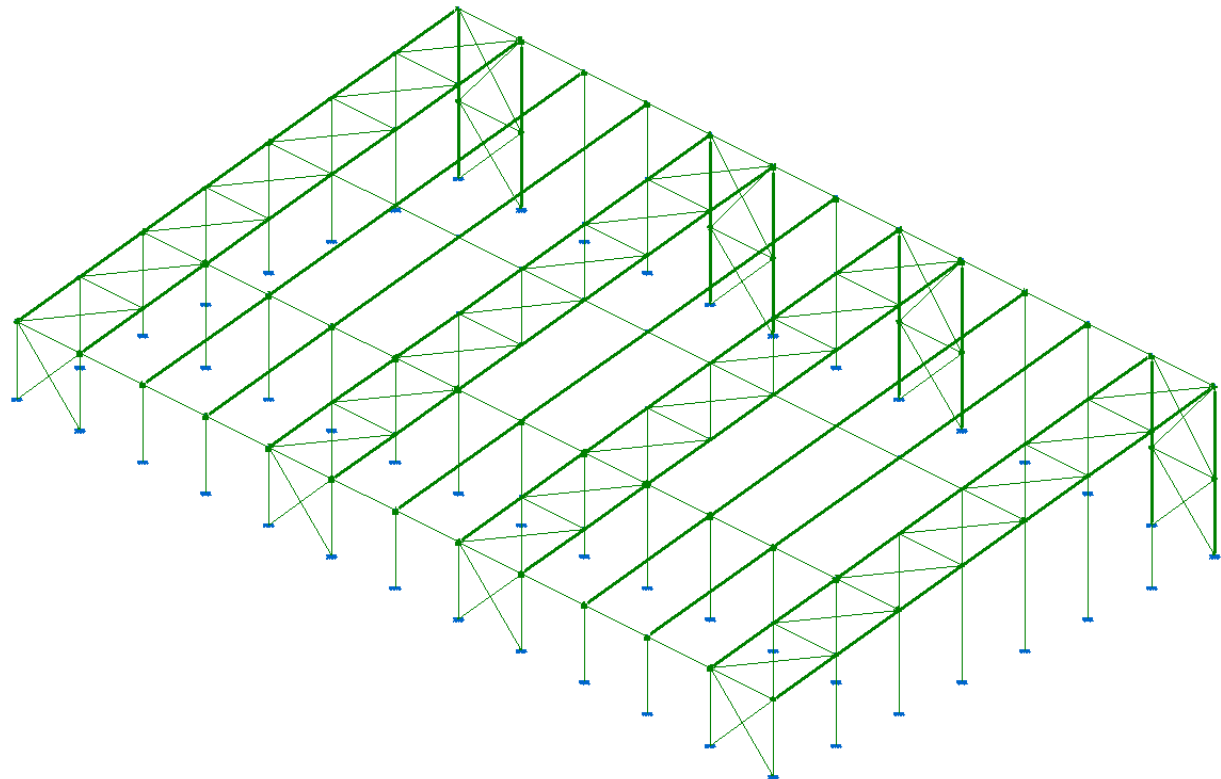
**Elurra gainkarga:**

3.53. Irudia. Elurra gainkarga eskema

### 3.1.6.3 PORTIKOEN OSAGAIEN FROGAKETA

Metalezko egitura definitu ondoren, atal guztiak definituko dira. Prozesu iteratibo baten bitartez kalkulu programa erabiliko da sekzio egokiena dimentsionatzeko, hau lortzeko gilbordura, gezi limitea, kargak eta albo-gilbordura ondo definituta egon beharko dira.

CYPE-n “Calcular> No dimensionar profiles”



3.54. Irudia. Egituraren elementuen dimentsionamendu aurreko egitura eskema

Erabiliko diren elementuen artean, taldeetan banatu izan dira sekzio berdina dutenen artean, hau da, zutabeak, habeak, laguntza-zutabeak, arriostramenduak eta lotura habeak. Berdinak diren elementuen artean, aprobetxamendu maximo dutenak erabiliko dira froga bezala. Baieztapenetan E.L.U (Azken egoera limitea) erabiliko dira eta CYPE-ren bitartez egokiena erabiliko da.

Talde batuetan sekzio mota ezberdinak erabili izan dira gain dimentsionaketa arazoak ekiditeko, adibidez, arriostramendu sekzio ezberdinak erabili izan dira, portiko hastial eta erdiko portikoen esfortzuak ez bai dira berdinak. Orain azalduko da erabilitako sekzio ezberdinak.

### 3.1.6.3.1 Zutabeak

#### Zutabe handia

<b>Perfil: HE 260 B</b>		<b>Material: Acero (S275)</b>							
		Nudos		Longitud (m)	Características mecánicas				
		Inicial	Final		Área (cm <sup>2</sup> )	I <sub>y</sub> <sup>(1)</sup> (cm <sup>4</sup> )	I <sub>z</sub> <sup>(1)</sup> (cm <sup>4</sup> )	I <sub>t</sub> <sup>(2)</sup> (cm <sup>4</sup> )	
		N11	N12	11.000	118.40	14920.00	5135.00	123.80	
<i>Notas:</i>									
(1) Inercia respecto al eje indicado									
(2) Momento de inercia a torsión uniforme									
		Pandeo				Pandeo lateral			
		Plano XY		Plano XZ		Ala sup.	Ala inf.		
		β	0.09	1.57		0.00	0.00		
		L <sub>K</sub>	0.960	17.288		0.000	0.000		
		C <sub>m</sub>	1.000	1.000		1.000	1.000		
		C <sub>1</sub>	-			1.000			
<i>Notación:</i>									
<i>β: Coeficiente de pandeo</i>									
<i>L<sub>K</sub>: Longitud de pandeo (m)</i>									
<i>C<sub>m</sub>: Coeficiente de momentos</i>									
<i>C<sub>1</sub>: Factor de modificación para el momento crítico</i>									

Barra	COMPROBACIONES (CTE DB SE-A)															Estado
	λ	λ <sub>w</sub>	N <sub>t</sub>	N <sub>c</sub>	M <sub>Y</sub>	M <sub>Z</sub>	V <sub>Z</sub>	V <sub>Y</sub>	M <sub>Y</sub> V <sub>Z</sub>	M <sub>Z</sub> V <sub>Y</sub>	NM <sub>Y</sub> M <sub>Z</sub>	NM <sub>Y</sub> M <sub>Z</sub> V <sub>Y</sub> V <sub>Z</sub>	M <sub>t</sub>	M <sub>t</sub> V <sub>Z</sub>	M <sub>t</sub> V <sub>Y</sub>	
N11/N12	λ < 2.0 Cumple	λ <sub>w</sub> ≤ λ <sub>w,máx</sub> Cumple	x: 10.671 m η = 3.5	x: 0 m η = 12.4	x: 0 m η = 67.4	x: 0 m η = 3.3	x: 0 m η = 14.3	η < 0.1	η < 0.1	η < 0.1	x: 0 m η = 70.8	η < 0.1	η = 0.1	x: 10.673 m η = 7.4	η < 0.1	<b>CUMPLE η = 70.8</b>
<i>Notación:</i>																
<i>λ: Limitación de esbeltez</i>																
<i>λ<sub>w</sub>: Abolladura del alma inducida por el ala comprimida</i>																
<i>N<sub>t</sub>: Resistencia a tracción</i>																
<i>N<sub>c</sub>: Resistencia a compresión</i>																
<i>M<sub>Y</sub>: Resistencia a flexión eje Y</i>																
<i>M<sub>Z</sub>: Resistencia a flexión eje Z</i>																
<i>V<sub>Z</sub>: Resistencia a corte Z</i>																
<i>V<sub>Y</sub>: Resistencia a corte Y</i>																
<i>M<sub>Y</sub>V<sub>Z</sub>: Resistencia a momento flector Y y fuerza cortante Z combinados</i>																
<i>M<sub>Z</sub>V<sub>Y</sub>: Resistencia a momento flector Z y fuerza cortante Y combinados</i>																
<i>NM<sub>Y</sub>M<sub>Z</sub>: Resistencia a flexión y axil combinados</i>																
<i>NM<sub>Y</sub>M<sub>Z</sub>V<sub>Y</sub>V<sub>Z</sub>: Resistencia a flexión, axil y cortante combinados</i>																
<i>M<sub>t</sub>: Resistencia a torsión</i>																
<i>M<sub>t</sub>V<sub>Z</sub>: Resistencia a cortante Z y momento torsor combinados</i>																
<i>M<sub>t</sub>V<sub>Y</sub>: Resistencia a cortante Y y momento torsor combinados</i>																
<i>X: Distancia al origen de la barra</i>																
<i>η: Coeficiente de aprovechamiento (%)</i>																

Zutabe txikia

Perfil: HE 220 B		Material: Acero (S275)											
		Nudos		Longitud (m)	Características mecánicas								
Inicial	Final	Área (cm <sup>2</sup> )	I <sub>y</sub> <sup>(1)</sup> (cm <sup>4</sup> )	I <sub>z</sub> <sup>(1)</sup> (cm <sup>4</sup> )	I <sub>t</sub> <sup>(2)</sup> (cm <sup>4</sup> )								
N45	N46	5.000	91.00	8091.00	2843.00	76.57							
<i>Notas:</i>													
(1) Inercia respecto al eje indicado													
(2) Momento de inercia a torsión uniforme													
		Pandeo		Pandeo lateral									
		Plano XY		Plano XZ	Ala sup.	Ala inf.							
$\beta$		0.19		1.57	1.00	0.32							
$L_K$		0.960		7.858	5.000	1.620							
$C_m$		1.000		1.000	1.000	1.000							
$C_1$		-		1.000									
<i>Notación:</i>													
$\beta$ : Coeficiente de pandeo													
$L_K$ : Longitud de pandeo (m)													
$C_m$ : Coeficiente de momentos													
$C_1$ : Factor de modificación para el momento crítico													

Barra	COMPROBACIONES (CTE DB SE-A)															Estado
	$\bar{\lambda}$	$\lambda_w$	$N_t$	$N_c$	$M_y$	$M_z$	$V_z$	$V_y$	$M_y V_z$	$M_z V_y$	$N M_y M_z$	$N M_y M_z V_y V_z$	$M_t$	$M_t V_z$	$M_t V_y$	
N45/N46	$\bar{\lambda} < 2.0$ Cumple	$\lambda_w \leq \lambda_{w,\text{máx}}$ Cumple	x: 4.714 m $\eta = 0.7$	x: 0 m $\eta = 3.5$	x: 4.714 m $\eta = 86.4$	x: 0 m $\eta = 3.8$	x: 0 m $\eta = 18.8$	$\eta = 0.1$	$\eta < 0.1$	$\eta < 0.1$	x: 4.714 m $\eta = 90.9$	$\eta < 0.1$	$\eta = 0.3$	x: 0 m $\eta = 11.4$	$\eta = 0.1$	<b>CUMPLE</b> $\eta = 90.9$
<i>Notación:</i>																
$\bar{\lambda}$ : Limitación de esbeltez																
$\lambda_w$ : Abolladura del alma inducida por el ala comprimida																
$N_t$ : Resistencia a tracción																
$N_c$ : Resistencia a compresión																
$M_y$ : Resistencia a flexión eje Y																
$M_z$ : Resistencia a flexión eje Z																
$V_z$ : Resistencia a corte Z																
$V_y$ : Resistencia a corte Y																
$M_y V_z$ : Resistencia a momento flector Y y fuerza cortante Z combinados																
$M_z V_y$ : Resistencia a momento fector Z y fuerza cortante Y combinados																
$N M_y M_z$ : Resistencia a flexión y axil combinados																
$N M_y M_z V_y V_z$ : Resistencia a flexión, axil y cortante combinados																
$M_t$ : Resistencia a torsión																
$M_t V_z$ : Resistencia a cortante Z y momento torsor combinados																
$M_t V_y$ : Resistencia a cortante Y y momento torsor combinados																
x: Distancia al origen de la barra																
$\eta$ : Coeficiente de aprovechamiento (%)																

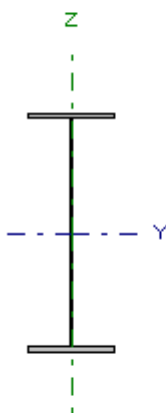
### 3.1.6.3.2 Laguntza zutabeak

<b>Perfil: HE 240 B</b> <b>Material: Acero (S275)</b>													
		Nudos		Longitud (m)	Características mecánicas								
Inicial	Final	Área (cm <sup>2</sup> )	I <sub>y</sub> <sup>(1)</sup> (cm <sup>4</sup> )		I <sub>z</sub> <sup>(1)</sup> (cm <sup>4</sup> )	I <sub>t</sub> <sup>(2)</sup> (cm <sup>4</sup> )							
N64	N74	10.143	106.00	11260.00	3923.00	102.70							
<i>Notas:</i>													
(1) Inercia respecto al eje indicado (2) Momento de inercia a torsión uniforme													
		Pandeo			Pandeo lateral								
		Plano XY		Plano XZ	Ala sup.	Ala inf.							
$\beta$		0.09		1.00	0.00	0.00							
$L_K$		0.960		10.143	0.000	0.000							
$C_m$		1.000		1.000	1.000	1.000							
$C_1$		-			1.000								
<i>Notación:</i>													
$\beta$ : Coeficiente de pandeo $L_K$ : Longitud de pandeo (m) $C_m$ : Coeficiente de momentos $C_1$ : Factor de modificación para el momento crítico													

Barra	COMPROBACIONES (CTE DB SE-A)														Estado	
	$\bar{\lambda}$	$\lambda_w$	$N_t$	$N_c$	$M_y$	$M_z$	$V_z$	$V_y$	$M_y V_z$	$M_z V_y$	$N M_y M_z$	$N M_y M_z V_y V_z$	$M_t$	$M_t V_z$	$M_t V_y$	
N64/N74	$\bar{\lambda} < 2.0$ Cumple	x: 0 m $\lambda_w \leq \lambda_{w,\text{máx}}$ Cumple	x: 10.019 m $\eta = 1.4$	x: 0 m $\eta = 2.7$	x: 0 m $\eta = 56.6$	x: 0 m $\eta = 7.8$	x: 0 m $\eta = 14.9$	$\eta = 0.1$	x: 0 m $\eta < 0.1$	x: 0 m $\eta < 0.1$	x: 0 m $\eta = 64.7$	x: 0 m $\eta < 0.1$	$M_{Ed} = 0.00$ N.P. <sup>(1)</sup>	N.P. <sup>(2)</sup>	N.P. <sup>(2)</sup>	CUMPLE $\eta = 64.7$
<i>Notación:</i>																
$\bar{\lambda}$ : Limitación de esbeltez $\lambda_w$ : Abolladura del alma inducida por el ala comprimida $N_t$ : Resistencia a tracción $N_c$ : Resistencia a compresión $M_y$ : Resistencia a flexión eje Y $M_z$ : Resistencia a flexión eje Z $V_z$ : Resistencia a corte Z $V_y$ : Resistencia a corte Y $M_y V_z$ : Resistencia a momento flector Y y fuerza cortante Z combinados $M_z V_y$ : Resistencia a momento flector Z y fuerza cortante Y combinados $N M_y M_z$ : Resistencia a flexión y axil combinados $N M_y M_z V_y V_z$ : Resistencia a flexión, axil y cortante combinados $M_t$ : Resistencia a torsión $M_t V_z$ : Resistencia a cortante Z y momento torsor combinados $M_t V_y$ : Resistencia a cortante Y y momento torsor combinados $x$ : Distancia al origen de la barra $\eta$ : Coeficiente de aprovechamiento (%) N.P.: No procede																
Comprobaciones que no proceden (N.P.): (1) La comprobación no procede, ya que no hay momento torsor. (2) No hay interacción entre momento torsor y esfuerzo cortante para ninguna combinación. Por lo tanto, la comprobación no procede.																

### 3.1.6.3.3 Habeak

Perfil: IPE 600 Material: Acero (S275)									
	Nudos		Longitud (m)	Características mecánicas					
	Inicial	Final		Área (cm <sup>2</sup> )	$I_y^{(1)}$ (cm <sup>4</sup> )	$I_z^{(1)}$ (cm <sup>4</sup> )			
	N93	N105	5.073	156.00	92080.00	3387.00			
<i>Notas:</i>									
(1) Inercia respecto al eje indicado (2) Momento de inercia a torsión uniforme									
	Pandeo			Pandeo lateral					
	Plano XY		Plano XZ	Ala sup.	Ala inf.				
	$\beta$	0.32	0.71	0.19	1.00				
	$L_K$	1.620	3.602	0.960	5.073				
	$C_m$	1.000	1.000	1.000	1.000				
$C_1$				1.000					
<i>Notación:</i>									
$\beta$ : Coeficiente de pandeo $L_K$ : Longitud de pandeo (m) $C_m$ : Coeficiente de momentos $C_1$ : Factor de modificación para el momento crítico									



Barra	COMPROBACIONES (CTE DB SE-A)															Estado
	$\bar{\lambda}$	$\lambda_w$	$N_t$	$N_c$	$M_y$	$M_z$	$V_z$	$V_y$	$M_y V_z$	$M_z V_y$	$N M_y M_z$	$N M_y M_z V_y V_z$	$M_t$	$M_t V_z$	$M_t V_y$	
N93/N105	$\bar{\lambda} < 2.0$ Cumple	$\lambda_w \leq \lambda_{w,\text{máx}}$ Cumple	x: 5.073 m	x: 0 m	x: 4.756 m	x: 0 m	x: 0 m	$\eta = 0.1$	$\eta < 0.1$	$\eta < 0.1$	x: 4.756 m	$\eta < 0.1$	x: 0 m	$\eta = 0.3$	$\eta < 0.1$	<b>CUMPLE</b> $\eta = 73.8$
<i>Notación:</i>																
$\bar{\lambda}$ : Limitación de esbeltez $\lambda_w$ : Abolladura del alma inducida por el ala comprimida $N_t$ : Resistencia a tracción $N_c$ : Resistencia a compresión $M_y$ : Resistencia a flexión eje Y $M_z$ : Resistencia a flexión eje Z $V_z$ : Resistencia a corte Z $V_y$ : Resistencia a corte Y $M_y V_z$ : Resistencia a momento flector Y y fuerza cortante Z combinados $M_z V_y$ : Resistencia a momento flector Z y fuerza cortante Y combinados $N M_y M_z$ : Resistencia a flexión y axil combinados $N M_y M_z V_y V_z$ : Resistencia a flexión, axil y cortante combinados $M_t$ : Resistencia a torsión $M_t V_z$ : Resistencia a cortante Z y momento torsor combinados $M_t V_y$ : Resistencia a cortante Y y momento torsor combinados $x$ : Distancia al origen de la barra $\eta$ : Coeficiente de aprovechamiento (%)																

### 3.1.6.3.4 Lehen eta azken portikoen habeak

<b>Perfil: IPE 240</b> <b>Material: Acero (S275)</b>														
	Nudos		Longitud (m)	Características mecánicas										
	Inicial	Final		Área (cm <sup>2</sup> )	I <sub>y</sub> <sup>(1)</sup> (cm <sup>4</sup> )	I <sub>z</sub> <sup>(1)</sup> (cm <sup>4</sup> )	I <sub>t</sub> <sup>(2)</sup> (cm <sup>4</sup> )							
	N74	N52	5.073	39.10	3892.00	284.00	12.90							
<i>Notas:</i>														
(1) Inercia respecto al eje indicado (2) Momento de inercia a torsión uniforme														
	Pandeo			Pandeo lateral										
	Plano XY		Plano XZ	Ala sup.	Ala inf.									
$\beta$	0.32		0.71	0.19	1.00									
$L_K$	1.620		3.602	0.960	5.073									
$C_m$	1.000		1.000	1.000	1.000									
$C_1$	-			1.000										
<i>Notación:</i>														
$\beta$ : Coeficiente de pandeo $L_K$ : Longitud de pandeo (m) $C_m$ : Coeficiente de momentos $C_1$ : Factor de modificación para el momento crítico														

Barra	COMPROBACIONES (CTE DB SE-A)															Estado	
	$\bar{\lambda}$	$\lambda_w$	$N_t$	$N_c$	$M_Y$	$M_Z$	$V_z$	$V_Y$	$M_Y V_z$	$M_z V_Y$	$N M_Y M_Z$	$N M_Y M_Z V_Y V_Z$	$M_t$	$M_t V_z$	$M_t V_Y$		
N74/N52	$\bar{\lambda} < 2.0$ Cumple	$\lambda_w \leq \lambda_{w,\text{máx}}$ Cumple	x: 4.939 m $\eta = 1.4$	x: 0 m $\eta = 2.8$	x: 4.941 m $\eta = 46.6$	x: 2.47 m $\eta = 6.9$	x: 4.941 m $\eta = 10.9$	x: 0 m $\eta = 0.6$	$\eta < 0.1$	$\eta < 0.1$	x: 4.941 m $\eta = 45.9$	$\eta < 0.1$	$\eta = 0.1$	$\eta = 1.5$	x: 0 m $\eta = 2.6$	$\eta < 0.1$	<b>CUMPLE <math>\eta = 46.6</math></b>
<i>Notación:</i>																	
$\bar{\lambda}$ : Limitación de esbeltez $\lambda_w$ : Abolladura del alma inducida por el ala comprimida $N_t$ : Resistencia a tracción $N_c$ : Resistencia a compresión $M_Y$ : Resistencia a flexión eje Y $M_Z$ : Resistencia a flexión eje Z $V_z$ : Resistencia a corte Z $V_Y$ : Resistencia a corte Y $M_Y V_z$ : Resistencia a momento flector Y y fuerza cortante Z combinados $M_z V_Y$ : Resistencia a momento flector Z y fuerza cortante Y combinados $N M_Y M_Z$ : Resistencia a flexión y axil combinados $N M_Y M_Z V_Y V_Z$ : Resistencia a flexión, axil y cortante combinados $M_t$ : Resistencia a torsión $M_t V_z$ : Resistencia a cortante Z y momento torsor combinados $M_t V_Y$ : Resistencia a cortante Y y momento torsor combinados $x$ : Distancia al origen de la barra $\eta$ : Coeficiente de aprovechamiento (%)																	

### 3.1.6.3.5 Lotura habeak

<b>Perfil: HE 120 B</b> <b>Material: Acero (S275)</b>							
	Nudos		Longitud (m)	Características mecánicas			
	Inicial	Final		Área (cm <sup>2</sup> )	I <sub>y</sub> <sup>(1)</sup> (cm <sup>4</sup> )	I <sub>z</sub> <sup>(1)</sup> (cm <sup>4</sup> )	I <sub>t</sub> <sup>(2)</sup> (cm <sup>4</sup> )
	N141	N96	5.000	34.00	864.40	317.50	13.84
<b>Notas:</b> <ul style="list-style-type: none"> <li>(1) Inercia respecto al eje indicado</li> <li>(2) Momento de inercia a torsión uniforme</li> </ul>							
	Pandeo			Pandeo lateral			
	Plano XY		Plano XZ	Ala sup.	Ala inf.		
	$\beta$	1.00	1.00	0.00	0.00		
	$L_K$	5.000	5.000	0.000	0.000		
	$C_m$	1.000	1.000	1.000	1.000		
$C_1$				1.000			
<b>Notación:</b> <ul style="list-style-type: none"> <li><math>\beta</math>: Coeficiente de pandeo</li> <li><math>L_K</math>: Longitud de pandeo (m)</li> <li><math>C_m</math>: Coeficiente de momentos</li> <li><math>C_1</math>: Factor de modificación para el momento crítico</li> </ul>							

Barra	COMPROBACIONES (CTE DB SE-A)														Estado	
	$\bar{\lambda}$	$\lambda_w$	$N_t$	$N_c$	$M_Y$	$M_z$	$V_z$	$V_Y$	$M_Y V_z$	$M_z V_Y$	$N M_Y M_z$	$N M_Y M_z V_Y V_z$	$M_t$	$M_t V_z$	$M_t V_Y$	
N141/N96	$\bar{\lambda} < 2.0$ Cumple	$\lambda_w \leq \lambda_{w,máx}$ Cumple	$n = 9.5$	$n = 16.8$	x: 5 m $\eta = 48.5$	x: 5 m $\eta = 9.9$	x: 5 m $\eta = 3.2$	$\eta = 0.2$	$\eta < 0.1$	$\eta < 0.1$	x: 5 m $\eta = 67.9$	$\eta < 0.1$	$M_{Ed} = 0.00$ N.P. <sup>(1)</sup>	N.P. <sup>(2)</sup>	N.P. <sup>(2)</sup>	<b>CUMPLE</b> $\eta = 67.9$
<b>Notación:</b> <ul style="list-style-type: none"> <li><math>\bar{\lambda}</math>: Limitación de esbeltez</li> <li><math>\lambda_w</math>: Abolladura del alma inducida por el ala comprimida</li> <li><math>N_t</math>: Resistencia a tracción</li> <li><math>N_c</math>: Resistencia a compresión</li> <li><math>M_Y</math>: Resistencia a flexión eje Y</li> <li><math>M_z</math>: Resistencia a flexión eje Z</li> <li><math>V_z</math>: Resistencia a corte Z</li> <li><math>V_Y</math>: Resistencia a corte Y</li> <li><math>M_Y V_z</math>: Resistencia a momento flector Y y fuerza cortante Z combinados</li> <li><math>M_z V_Y</math>: Resistencia a momento flector Z y fuerza cortante Y combinados</li> <li><math>N M_Y M_z</math>: Resistencia a flexión y axil combinados</li> <li><math>N M_Y M_z V_Y V_z</math>: Resistencia a flexión, axil y cortante combinados</li> <li><math>M_t</math>: Resistencia a torsión</li> <li><math>M_t V_z</math>: Resistencia a cortante Z y momento torsor combinados</li> <li><math>M_t V_Y</math>: Resistencia a cortante Y y momento torsor combinados</li> <li><math>x</math>: Distancia al origen de la barra</li> <li><math>\eta</math>: Coeficiente de aprovechamiento (%)</li> <li>N.P.: No procede</li> </ul>																
<b>Comprobaciones que no proceden (N.P.):</b> <ul style="list-style-type: none"> <li>(1) La comprobación no procede, ya que no hay momento torsor.</li> <li>(2) No hay interacción entre momento torsor y esfuerzo cortante para ninguna combinación. Por lo tanto, la comprobación no procede.</li> </ul>																

### 3.1.6.3.6 Arriostramenduak

Egituran agertzen diren kargak aztertu ondoren hiru arriostramendu ezberdin erabiltzea adostu izan da, horrela egituraren ata bakoitzean dimentsio egokieneko arriostramenduak erabili izan dira:

- Portiko hastialen arriostramendu kritikoak
- Portiko hastialen arriostramenduak
- Erdiko portikoen arriostramenduak

<b>Perfil: R 20</b> <b>Material: Acero (S275)</b>											
	Nudos		Longitud (m)	Características mecánicas							
	Inicial	Final		Área (cm <sup>2</sup> )	I <sub>y</sub> <sup>(1)</sup> (cm <sup>4</sup> )	I <sub>z</sub> <sup>(1)</sup> (cm <sup>4</sup> )					
	N51	N84	7.071	3.14	0.79	0.79					
<i>Notas:</i>											
(1) Inercia respecto al eje indicado											
(2) Momento de inercia a torsión uniforme											
	Pandeo			Pandeo lateral							
	Plano XY	Plano XZ		Ala sup.	Ala inf.						
$\beta$	0.00	0.00		0.00	0.00						
$L_K$	0.000	0.000		0.000	0.000						
$C_m$	1.000	1.000		1.000	1.000						
$C_1$	-			1.000							
<i>Notación:</i>											
$\beta$ : Coeficiente de pandeo											
$L_K$ : Longitud de pandeo (m)											
$C_m$ : Coeficiente de momentos											
$C_1$ : Factor de modificación para el momento crítico											

Barra	COMPROBACIONES (CTE DB SE-A)															Estado
	$\bar{\lambda}$	$N_t$	$N_c$	$M_y$	$M_z$	$V_z$	$V_y$	$M_y V_z$	$M_z V_y$	$N M_y M_z$	$N M_y M_z V_y V_z$	$M_t$	$M_t V_z$	$M_t V_y$		
N51/N84	$\bar{\lambda} \leq 4.0$ Cumple	$\eta = 91.0$	$N_{Ed} = 0.00$ N.P.(1)	$M_{Ed} = 0.00$ N.P.(2)	$M_{Ed} = 0.00$ N.P.(2)	$V_{Ed} = 0.00$ N.P.(3)	$V_{Ed} = 0.00$ N.P.(3)	$N.P.(4)$	$N.P.(4)$	$N.P.(5)$	$N.P.(6)$	$M_{Ed} = 0.00$ N.P.(7)	$N.P.(8)$	$N.P.(8)$	<b>CUMPLE</b>	$\eta = 91.0$
<i>Notación:</i>																
$\bar{\lambda}$ : Limitación de esbeltez																
$N_t$ : Resistencia a tracción																
$N_c$ : Resistencia a compresión																
$M_y$ : Resistencia a flexión eje Y																
$M_z$ : Resistencia a flexión eje Z																
$V_z$ : Resistencia a corte Z																
$V_y$ : Resistencia a corte Y																
$M_y V_z$ : Resistencia a momento flector Y y fuerza cortante Z combinados																
$M_z V_y$ : Resistencia a momento flector Z y fuerza cortante Y combinados																
$N M_y M_z$ : Resistencia a flexión y axil combinados																
$N M_y M_z V_y V_z$ : Resistencia a flexión, axil y cortante combinados																
$M_t$ : Resistencia a torsión																
$M_t V_z$ : Resistencia a cortante Z y momento torsor combinados																
$M_t V_y$ : Resistencia a cortante Y y momento torsor combinados																
$x$ : Distancia al origen de la barra																
$\eta$ : Coeficiente de aprovechamiento (%)																
N.P.: No procede																
Comprobaciones que no proceden (N.P.):																
(1) La comprobación no procede, ya que no hay axil de compresión.																
(2) La comprobación no procede, ya que no hay momento flector.																
(3) La comprobación no procede, ya que no hay esfuerzo cortante.																
(4) No hay interacción entre momento flector y esfuerzo cortante para ninguna combinación. Por lo tanto, la comprobación no procede.																
(5) No hay interacción entre axil y momento flector ni entre momentos flectores en ambas direcciones para ninguna combinación. Por lo tanto, la comprobación no procede.																
(6) No hay interacción entre momento flector, axil y cortante para ninguna combinación. Por lo tanto, la comprobación no procede.																
(7) La comprobación no procede, ya que no hay momento torsor.																
(8) No hay interacción entre momento torsor y esfuerzo cortante para ninguna combinación. Por lo tanto, la comprobación no procede.																

## Portiko hastialen arriostramenduak

<b>Perfil: R 14</b>		<b>Material: Acero (S275)</b>												
		Nudos		Longitud (m)	Características mecánicas									
		Inicial	Final		Área (cm <sup>2</sup> )	I <sub>y</sub> <sup>(1)</sup> (cm <sup>4</sup> )	I <sub>z</sub> <sup>(1)</sup> (cm <sup>4</sup> )	I <sub>t</sub> <sup>(2)</sup> (cm <sup>4</sup> )						
		N68	N114	7.123	1.54	0.19	0.19	0.38						
<i>Notas:</i>														
(1) Inercia respecto al eje indicado														
(2) Momento de inercia a torsión uniforme														
		Pandeo				Pandeo lateral								
		Plano XY		Plano XZ		Ala sup.	Ala inf.							
		β	0.00	0.00	0.00	0.00	0.00							
		L <sub>K</sub>	0.000	0.000	0.000	0.000	0.000							
		C <sub>m</sub>	1.000	1.000	1.000	1.000	1.000							
C <sub>1</sub>		-			1.000									
<i>Notación:</i>														
<i>β: Coeficiente de pandeo</i>														
<i>L<sub>K</sub>: Longitud de pandeo (m)</i>														
<i>C<sub>m</sub>: Coeficiente de momentos</i>														
<i>C<sub>1</sub>: Factor de modificación para el momento crítico</i>														

Barra	COMPROBACIONES (CTE DB SE-A)														Estado
	λ	N <sub>t</sub>	N <sub>c</sub>	M <sub>Y</sub>	M <sub>Z</sub>	V <sub>Z</sub>	V <sub>Y</sub>	M <sub>Y</sub> V <sub>Z</sub>	M <sub>Z</sub> V <sub>Y</sub>	NM <sub>Y</sub> M <sub>Z</sub>	NM <sub>Y</sub> M <sub>Z</sub> V <sub>Y</sub> V <sub>Z</sub>	M <sub>t</sub>	M <sub>t</sub> V <sub>Z</sub>	M <sub>t</sub> V <sub>Y</sub>	
N68/N114	λ ≤ 4.0	η = 80.4	N <sub>Ed</sub> = 0.00 N.P.(1)	M <sub>Ed</sub> = 0.00 N.P.(2)	M <sub>Ed</sub> = 0.00 N.P.(2)	V <sub>Ed</sub> = 0.00 N.P.(3)	V <sub>Ed</sub> = 0.00 N.P.(3)	N.P.(4)	N.P.(4)	N.P.(5)	N.P.(6)	M <sub>Ed</sub> = 0.00 N.P.(7)	N.P.(8)	N.P.(8)	<b>CUMPLE η = 80.4</b>
<i>Notación:</i>															
<i>λ: Limitación de esbeltez</i> <i>N<sub>t</sub>: Resistencia a tracción</i> <i>N<sub>c</sub>: Resistencia a compresión</i> <i>M<sub>Y</sub>: Resistencia a flexión eje Y</i> <i>M<sub>Z</sub>: Resistencia a flexión eje Z</i> <i>V<sub>Z</sub>: Resistencia a corte Z</i> <i>V<sub>Y</sub>: Resistencia a corte Y</i> <i>M<sub>Y</sub>V<sub>Z</sub>: Resistencia a momento flector Y y fuerza cortante Z combinados</i> <i>M<sub>Z</sub>V<sub>Y</sub>: Resistencia a momento flector Z y fuerza cortante Y combinados</i> <i>NM<sub>Y</sub>M<sub>Z</sub>: Resistencia a flexión y axil combinados</i> <i>NM<sub>Y</sub>M<sub>Z</sub>V<sub>Y</sub>V<sub>Z</sub>: Resistencia a flexión, axil y cortante combinados</i> <i>M<sub>t</sub>: Resistencia a torsión</i> <i>M<sub>t</sub>V<sub>Z</sub>: Resistencia a cortante Z y momento torsor combinados</i> <i>M<sub>t</sub>V<sub>Y</sub>: Resistencia a cortante Y y momento torsor combinados</i> <i>x: Distancia al origen de la barra</i> <i>η: Coeficiente de aprovechamiento (%)</i> <i>N.P.: No procede</i>															
<i>Comprobaciones que no proceden (N.P.):</i>															
(1) La comprobación no procede, ya que no hay axil de compresión. (2) La comprobación no procede, ya que no hay momento flector. (3) La comprobación no procede, ya que no hay esfuerzo cortante. (4) No hay interacción entre momento flector y esfuerzo cortante para ninguna combinación. Por lo tanto, la comprobación no procede. (5) No hay interacción entre axil y momento flector ni entre momentos flectores en ambas direcciones para ninguna combinación. Por lo tanto, la comprobación no procede. (6) No hay interacción entre momento flector, axil y cortante para ninguna combinación. Por lo tanto, la comprobación no procede. (7) La comprobación no procede, ya que no hay momento torsor. (8) No hay interacción entre momento torsor y esfuerzo cortante para ninguna combinación. Por lo tanto, la comprobación no procede.															

Erdiko portikoen arriostramenduak

Perfil: R 10 Material: Acero (S275)		Nudos		Longitud (m)	Características mecánicas								
Inicial	Final	Área (cm <sup>2</sup> )	I <sub>y</sub> <sup>(1)</sup> (cm <sup>4</sup> )		I <sub>z</sub> <sup>(1)</sup> (cm <sup>4</sup> )	I <sub>t</sub> <sup>(2)</sup> (cm <sup>4</sup> )							
N82	N36	7.810	0.79	0.05	0.05	0.10							
Notas:													
(1) Inercia respecto al eje indicado (2) Momento de inercia a torsión uniforme													
	Pandeo			Pandeo lateral									
	Plano XY		Plano XZ	Ala sup.	Ala inf.								
$\beta$	0.00		0.00	0.00	0.00								
$L_K$	0.000		0.000	0.000	0.000								
$C_m$	1.000		1.000	1.000	1.000								
$C_1$			-	1.000									
Notación:													
$\beta$ : Coeficiente de pandeo $L_K$ : Longitud de pandeo (m) $C_m$ : Coeficiente de momentos $C_1$ : Factor de modificación para el momento crítico													

Barra	COMPROBACIONES (CTE DB SE-A)														Estado
	$\bar{\lambda}$	$N_t$	$N_c$	$M_y$	$M_z$	$V_z$	$V_y$	$M_y V_z$	$M_z V_y$	$N M_y M_z$	$N M_y M_z V_y V_z$	$M_t$	$M_t V_z$	$M_t V_y$	
N82/N36	$\bar{\lambda} \leq 4.0$ Cumple	$\eta = 72.4$	$N_{Ed} = 0.00$ N.P.(1)	$M_{Ed} = 0.00$ N.P.(2)	$M_{Ed} = 0.00$ N.P.(2)	$V_{Ed} = 0.00$ N.P.(3)	$V_{Ed} = 0.00$ N.P.(3)	$N.P.(4)$	$N.P.(4)$	$N.P.(5)$	$N.P.(6)$	$M_{Ed} = 0.00$ N.P.(7)	$N.P.(8)$	$N.P.(8)$	<b>CUMPLE</b> $\eta = 72.4$
Notación:															
$\bar{\lambda}$ : Limitación de esbeltez $N_t$ : Resistencia a tracción $N_c$ : Resistencia a compresión $M_y$ : Resistencia a flexión eje Y $M_z$ : Resistencia a flexión eje Z $V_z$ : Resistencia a corte Z $V_y$ : Resistencia a corte Y $M_y V_z$ : Resistencia a momento flector Y y fuerza cortante Z combinados $M_z V_y$ : Resistencia a momento flector Z y fuerza cortante Y combinados $N M_y M_z$ : Resistencia a flexión y axil combinados $N M_y M_z V_y V_z$ : Resistencia a flexión, axil y cortante combinados $M_t$ : Resistencia a torsión $M_t V_z$ : Resistencia a cortante Z y momento torsor combinados $M_t V_y$ : Resistencia a cortante Y y momento torsor combinados $x$ : Distancia al origen de la barra $\eta$ : Coeficiente de aprovechamiento (%) N.P.: No procede															
Comprobaciones que no proceden (N.P.):															
(1) La comprobación no procede, ya que no hay axil de compresión. (2) La comprobación no procede, ya que no hay momento flector. (3) La comprobación no procede, ya que no hay esfuerzo cortante. (4) No hay interacción entre momento flector y esfuerzo cortante para ninguna combinación. Por lo tanto, la comprobación no procede. (5) No hay interacción entre axil y momento flector ni entre momentos flectores en ambas direcciones para ninguna combinación. Por lo tanto, la comprobación no procede. (6) No hay interacción entre momento flector, axil y cortante para ninguna combinación. Por lo tanto, la comprobación no procede. (7) La comprobación no procede, ya que no hay momento torsor. (8) No hay interacción entre momento torsor y esfuerzo cortante para ninguna combinación. Por lo tanto, la comprobación no procede.															

**Arriostramenduetan erabilitako HEB habeak**

<b>Perfil: HE 140 B</b> <b>Material: Acero (S275)</b>											
	<b>Nudos</b>		<b>Longitud (m)</b>	<b>Características mecánicas</b>							
	<b>Inicial</b>	<b>Final</b>		<b>Área (cm<sup>2</sup>)</b>	<b><math>I_y^{(1)}</math> (cm<sup>4</sup>)</b>	<b><math>I_z^{(1)}</math> (cm<sup>4</sup>)</b>					
N96	N76	5.000	43.00	1509.00	549.70	20.06					
<i>Notas:</i>											
(1) Inercia respecto al eje indicado (2) Momento de inercia a torsión uniforme											
	<b>Pandeo</b>			<b>Pandeo lateral</b>							
	<b>Plano XY</b>		<b>Plano XZ</b>	<b>Ala sup.</b>	<b>Ala inf.</b>						
$\beta$	1.00		1.00	0.00	0.00						
$L_K$	5.000		5.000	0.000	0.000						
$C_m$	1.000		1.000	1.000	1.000						
$C_1$	-			1.000							
<i>Notación:</i>											
$\beta$ : Coeficiente de pandeo $L_K$ : Longitud de pandeo (m) $C_m$ : Coeficiente de momentos $C_1$ : Factor de modificación para el momento crítico											

Barra	COMPROBACIONES (CTE DB SE-A)															Estado
	$\bar{\lambda}$	$\lambda_w$	$N_t$	$N_c$	$M_Y$	$M_Z$	$V_Z$	$V_Y$	$M_Y V_Z$	$M_Z V_Y$	$N M_Y M_Z$	$N M_Y M_Z V_Y V_Z$	$M_t$	$M_t V_Z$	$M_t V_Y$	
N96/N76	$\bar{\lambda} < 2.0$ Cumple	$\lambda_w \leq \lambda_{w,\text{máx}}$ Cumple	$\eta = 3.5$	$\eta = 11.6$	x: 4.88 m $\eta = 70.4$	x: 4.88 m $\eta = 5.8$	x: 0 m $\eta = 7.2$	$\eta = 0.1$	$\eta < 0.1$	$\eta < 0.1$	x: 4.88 m $\eta = 79.7$	$\eta < 0.1$	$\eta = 0.6$	x: 4.88 m $\eta = 4.9$	$\eta = 0.1$	<b>CUMPLE</b> $\eta = 79.7$
<i>Notación:</i>																
$\bar{\lambda}$ : Limitación de esbeltez $\lambda_w$ : Abolladura del alma inducida por el ala comprimida $N_t$ : Resistencia a tracción $N_c$ : Resistencia a compresión $M_Y$ : Resistencia a flexión eje Y $M_Z$ : Resistencia a flexión eje Z $V_Z$ : Resistencia a corte Z $V_Y$ : Resistencia a corte Y $M_Y V_Z$ : Resistencia a momento flector Y y fuerza cortante Z combinados $M_Z V_Y$ : Resistencia a momento flector Z y fuerza cortante Y combinados $N M_Y M_Z$ : Resistencia a flexión y axil combinados $N M_Y M_Z V_Y V_Z$ : Resistencia a flexión, axil y cortante combinados $M_t$ : Resistencia a torsión $M_t V_Z$ : Resistencia a cortante Z y momento torsor combinados $M_t V_Y$ : Resistencia a cortante Y y momento torsor combinados $x$ : Distancia al origen de la barra $\eta$ : Coeficiente de aprovechamiento (%)																

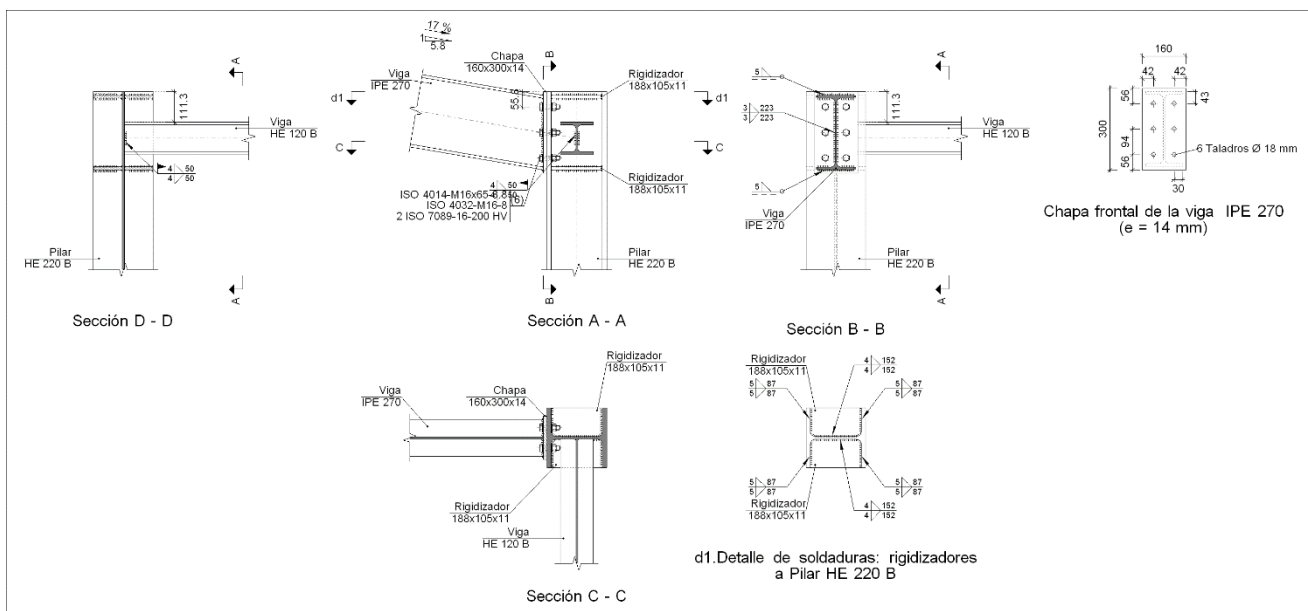
### 3.1.6.4 PORTIKOEN OSAGAIEN LOTUREN FROGAKETA

Atal honetan, 3.1.6.3 PORTIKOEN OSAGAIEN FROGAKETA atalean definitu izan diren sekzioen loturak aurkeztuko dira eta bere frogapenak aztertuko dira. Egituran erabili izan diren lotura motak torlojuak eta soldadura izan dira. Soldadurak erabili izan dira habe txikiak lotzeko eta torlojuak erabili izan ez denean.

#### 3.1.6.4.1 Portiko hastialen zutabe eta habeen arteko lotura (I)

Lotura hauek portiko hastialetan ematen dira, zutabe eta habe txikienaren arteko lotura da. Bertan, HEB 220 eta IPE 270 sekzioen artean enpotramendu lotura mota dago eta HEB 220 eta HEB 120 sekzioen artean giltzadura jarri izan da momentu makurtzaileak ez transmititzeko.

##### a) Detalle



##### b) Descripción de los componentes de la unión

Pieza	Descripción	Perfiles					Acero		
		Esquema	Canto total (mm)	Ancho del ala (mm)	Espesor del ala (mm)	Espesor del alma (mm)	Tipo	$f_y$ (kp/cm <sup>2</sup> )	$f_u$ (kp/cm <sup>2</sup> )
Pilar	HE 220 B		220	220	16	9.5	S275	2803.3	4179.4

Perfiles									
Pieza	Descripción	Esquema	Canto total (mm)	Ancho del ala (mm)	Espesor del ala (mm)	Espesor del alma (mm)	Tipo	Acero	
								$f_y$ (kp/cm <sup>2</sup> )	$f_u$ (kp/cm <sup>2</sup> )
Viga	HE 120 B		120	120	11	6.5	S275	2803.3	4179.4
Viga	IPE 270		270	135	10.2	6.6	S275	2803.3	4179.4

Elementos complementarios									
Pieza	Geometría				Taladros		Acero		
	Esquema	Ancho (mm)	Canto (mm)	Espesor (mm)	Cantidad	Diámetro (mm)	Tipo	$f_y$ (kp/cm <sup>2</sup> )	$f_u$ (kp/cm <sup>2</sup> )
Rigidizador		188	105	11	-	-	S275	2803.3	4179.4
Chapa frontal: Viga IPE 270		160	300	14	6	18	S275	2803.3	4179.4

Elementos de tornillería						
Descripción	Geometría			Acero		
	Esquema	Diámetro	Longitud (mm)	Clase	$f_y$ (kp/cm <sup>2</sup> )	$f_u$ (kp/cm <sup>2</sup> )
ISO 4014-M16x65-8.8 ISO 4032-M16-8 2 ISO 7089-16-200 HV		M16	65	8.8	6524.0	8154.9

c) Comprobación

1) Pilar HE 220 B

Comprobaciones de resistencia					
Componente	Comprobación	Unidades	Pésimo	Resistente	Aprov. (%)
Panel	Esbeltz	--	--	--	30.58
	Cortante	kN	235.66	355.00	66.38

Viga IPE 270	Rigidizador superior	Tensión de Von Mises	N/mm <sup>2</sup>	101.85	261.90	38.89
	Rigidizador inferior	Tensión de Von Mises	N/mm <sup>2</sup>	95.27	261.90	36.38
	Rigidizador superior	Tensión de Von Mises	N/mm <sup>2</sup>	100.92	261.90	38.53
	Rigidizador inferior	Tensión de Von Mises	N/mm <sup>2</sup>	96.04	261.90	36.67
	Ala	Desgarro	N/mm <sup>2</sup>	8.48	261.90	3.24
		Cortante	N/mm <sup>2</sup>	64.22	261.90	24.52
	Ala	Tracción por flexión	kN	159.00	180.86	87.91
		Tracción	kN	33.19	238.09	13.94
	Alma	Tracción	kN	92.57	144.64	64.00
	Alma	Punzonamiento	kN	27.10	211.26	12.83
Viga HE 120 B		Flexión por fuerza perpendicular	kN	27.10	66.94	40.48

## Cordones de soldadura

Comprobaciones geométricas						
Ref.	Tipo		a (mm)	l (mm)	t (mm)	Ángulo (grados)
Soldadura del rigidizador superior a las alas	En ángulo		5	87	11.0	90.00
Soldadura del rigidizador superior al alma	En ángulo		4	152	9.5	90.00
Soldadura del rigidizador inferior a las alas	En ángulo		5	87	11.0	90.00
Soldadura del rigidizador inferior al alma	En ángulo		4	152	9.5	90.00
Soldadura del rigidizador superior a las alas	En ángulo		5	87	11.0	90.00
Soldadura del rigidizador superior al alma	En ángulo		4	152	9.5	90.00
Soldadura del rigidizador inferior a las alas	En ángulo		5	87	11.0	90.00
Soldadura del rigidizador inferior al alma	En ángulo		4	152	9.5	90.00

*a: Espesor garganta**l: Longitud efectiva**t: Espesor de piezas*

Comprobación de resistencia									
Ref.	Tensión de Von Mises					Tensión normal		$f_u$ (N/mm <sup>2</sup> )	$\beta_w$
	$\sigma_{\perp}$ (N/mm <sup>2</sup> )	$\tau_{\perp}$ (N/mm <sup>2</sup> )	$\tau_{  }$ (N/mm <sup>2</sup> )	Valor (N/mm <sup>2</sup> )	Aprov. (%)	$\sigma_{\perp}$ (N/mm <sup>2</sup> )	Aprov. (%)		
Soldadura del rigidizador superior a las alas	79.2	79.2	0.2	158.4	41.06	79.2	24.15	410.0	0.85
Soldadura del rigidizador superior al alma	0.0	0.0	56.0	96.9	25.12	0.0	0.00	410.0	0.85
Soldadura del rigidizador inferior a las alas	74.1	74.1	0.3	148.2	38.41	74.1	22.59	410.0	0.85
Soldadura del rigidizador inferior al alma	0.0	0.0	63.1	109.4	28.34	0.0	0.00	410.0	0.85
Soldadura del rigidizador superior a las alas	78.5	78.5	0.2	157.0	40.69	78.5	23.93	410.0	0.85
Soldadura del rigidizador superior al alma	0.0	0.0	55.5	96.1	24.90	0.0	0.00	410.0	0.85
Soldadura del rigidizador inferior a las alas	74.7	74.7	0.3	149.4	38.72	74.7	22.78	410.0	0.85
Soldadura del rigidizador inferior al alma	0.0	0.0	63.6	110.2	28.57	0.0	0.00	410.0	0.85

## 2) Viga IPE 270

<b>Comprobaciones de resistencia</b>					
Componente	Comprobación	Unidades	Pésimo	Resistente	Aprov. (%)
Chapa frontal	Tracción por flexión	kN	159.00	175.99	90.35
Ala	Compresión	kN	245.88	365.90	67.20
	Tracción	kN	42.60	180.32	23.62
Alma	Tracción	kN	73.81	127.38	57.95

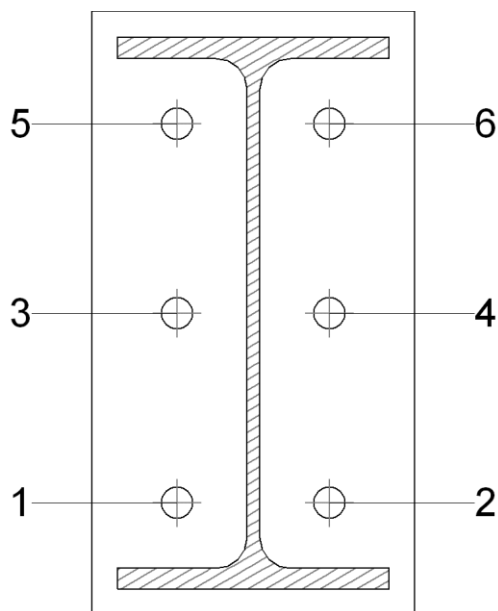
## Cordones de soldadura

<b>Comprobaciones geométricas</b>					
Ref.	Type	a (mm)	I (mm)	t (mm)	Ángulo (grados)
Soldadura del ala superior	En ángulo	5	135	10.2	80.27
Soldadura del alma	En ángulo	3	223	6.6	90.00
Soldadura del ala inferior	En ángulo	5	135	10.2	80.27

*a: Espesor garganta**I: Longitud efectiva**t: Espesor de piezas*

<b>Comprobación de resistencia</b>									
Ref.	Tensión de Von Mises					Tensión normal			
	$\sigma_{\perp}$ (N/mm <sup>2</sup> )	$\tau_{\perp}$ (N/mm <sup>2</sup> )	$\tau_{  }$ (N/mm <sup>2</sup> )	Valor (N/mm <sup>2</sup> )	Aprov. (%)	$\sigma_{\perp}$ (N/mm <sup>2</sup> )	Aprov. (%)	$f_u$ (N/mm <sup>2</sup> )	$\beta_w$
Soldadura del ala superior	125.0	148.2	0.3	285.6	74.00	125.0	38.11	410.0	0.85
Soldadura del alma	174.8	174.8	10.2	350.0	90.71	174.8	53.29	410.0	0.85
Soldadura del ala inferior	103.5	122.7	0.4	236.4	61.27	109.9	33.50	410.0	0.85

## Comprobaciones para los tornillos

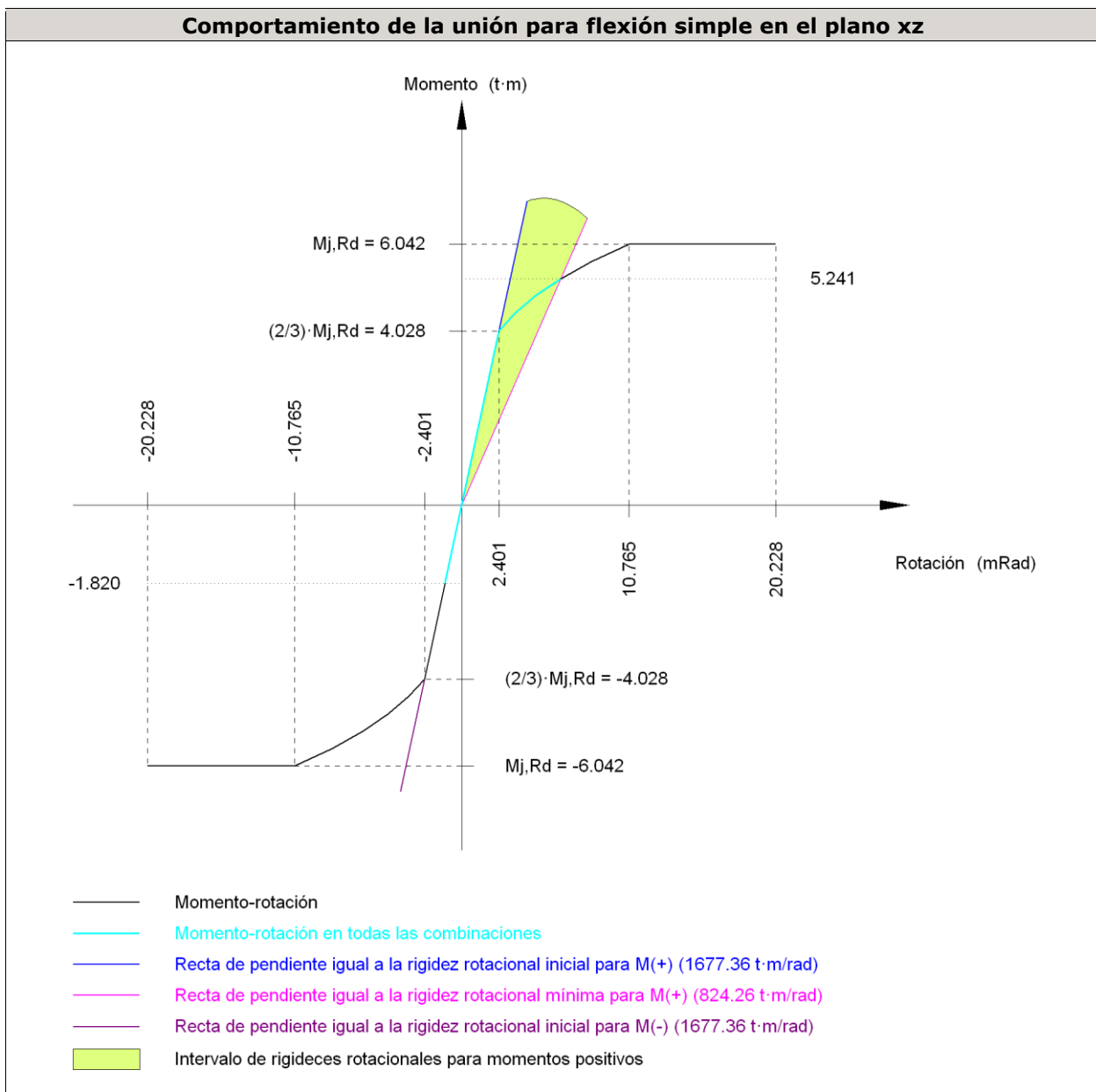


<b>Disposición</b>								
Tornillo	Denominación			d <sub>0</sub> (mm)	e <sub>1</sub> (mm)	e <sub>2</sub> (mm)	p <sub>1</sub> (mm)	p <sub>2</sub> (mm)
1	ISO 4014-M16x65-8.8			18.0	--	42	94	76
2	ISO 4014-M16x65-8.8			18.0	--	42	94	76
3	ISO 4014-M16x65-8.8			18.0	--	42	94	76
4	ISO 4014-M16x65-8.8			18.0	--	42	94	76
5	ISO 4014-M16x65-8.8			18.0	--	42	94	76
6	ISO 4014-M16x65-8.8			18.0	--	42	94	76

--: La comprobación no procede.

<b>Resistencia</b>										
Tornillo	Cortante				Tracción				Interacción y cortante Aprov. (%)	Aprov. Máx. (%)
	Comprobación	Péximo (kN)	Resistente (kN)	Aprov. (%)	Comprobación	Péximo (kN)	Resistente (kN)	Aprov. (%)		
1	Sección transversal	4.424	64.340	6.88	Vástago	30.927	90.432	34.20	25.24	34.20
	Aplastamiento	4.424	157.255	2.81	Punzonamiento	30.927	219.639	14.08		
2	Sección transversal	4.430	64.340	6.89	Vástago	30.709	90.432	33.96	25.03	33.96
	Aplastamiento	4.430	183.680	2.41	Punzonamiento	30.709	219.639	13.98		
3	Sección transversal	4.415	64.340	6.86	Vástago	56.174	90.432	62.12	48.10	62.12
	Aplastamiento	4.415	157.317	2.81	Punzonamiento	56.174	219.639	25.58		
4	Sección transversal	4.421	64.340	6.87	Vástago	56.050	90.432	61.98	48.02	61.98
	Aplastamiento	4.421	183.680	2.41	Punzonamiento	56.050	219.639	25.52		
5	Sección transversal	4.406	64.340	6.85	Vástago	81.701	90.432	90.35	68.21	90.35
	Aplastamiento	4.406	157.380	2.80	Punzonamiento	81.701	219.639	37.20		
6	Sección transversal	4.412	64.340	6.86	Vástago	81.606	90.432	90.24	68.15	90.24
	Aplastamiento	4.412	183.680	2.40	Punzonamiento	81.606	219.639	37.15		

Rigidez rotacional inicial	Plano xy (t·m/rad)	Plano xz (t·m/rad)
Calculada para momentos positivos	453.25	1677.36
Calculada para momentos negativos	453.25	1677.36



Comprobación	Unidades	Pésimo	Resistente	Aprov. (%)
Relación entre modos 1 y 3	--	1.16	1.80	64.70
Momento resistente	kNm	51.41	59.27	86.73
Capacidad de rotación	mRad	314.319	667	47.15

3) Viga HE 120 B

Comprobaciones de resistencia					
Componente	Comprobación	Unidades	Pésimo	Resistente	Aprov. (%)
Alma	Tensión de Von Mises	N/mm <sup>2</sup>	83.51	261.90	31.89

Cordones de soldadura

<b>Comprobaciones geométricas</b>									
Ref.	Tipo		a (mm)	I (mm)	t (mm)	Ángulo (grados)			
Soldadura del alma	En ángulo		4	50	6.5	90.00			
<i>a: Espesor garganta I: Longitud efectiva t: Espesor de piezas</i>									
<b>Comprobación de resistencia</b>									
Ref.	Tensión de Von Mises		Tensión normal		f <sub>u</sub> (N/mm <sup>2</sup> )	β <sub>w</sub>			
Soldadura del alma	σ <sub>⊥</sub> (N/mm <sup>2</sup> )	τ <sub>⊥</sub> (N/mm <sup>2</sup> )	τ <sub>  </sub> (N/mm <sup>2</sup> )	Valor (N/mm <sup>2</sup> )	Aprov. (%)	σ <sub>⊥</sub> (N/mm <sup>2</sup> )	Aprov. (%)	(N/mm <sup>2</sup> )	β <sub>w</sub>
Soldadura del alma	47.9	47.9	2.2	95.9	24.85	47.9	14.60	410.0	0.85

## d) Medición

<b>Soldaduras</b>				
f <sub>u</sub> (kp/cm <sup>2</sup> )	Ejecución	Tipo	Espesor de garganta (mm)	Longitud de cordones (mm)
4179.4	En taller	En ángulo	3	446
			4	1216
			5	1900
	En el lugar de montaje	En ángulo	4	100

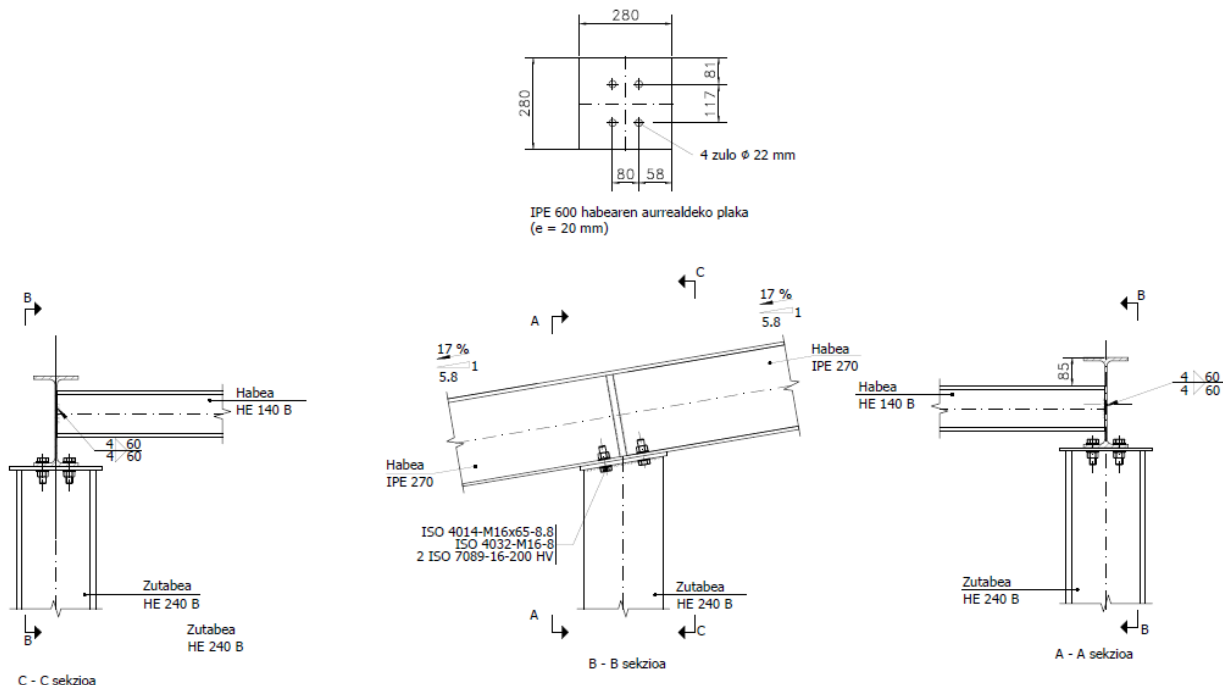
<b>Chapas</b>				
Material	Tipo	Cantidad	Dimensiones (mm)	Peso (kg)
S275	Rigidizadores	4	188x105x11	6.82
	Chapas	1	160x300x14	5.28
		Total	12.09	

<b>Elementos de tornillería</b>			
Tipo	Material	Cantidad	Descripción
Tornillos	Clase 8.8	6	ISO 4014-M16x65
Tuercas	Clase 8	6	ISO 4032-M16
Arandelas	Dureza 200 HV	12	ISO 7089-16

### 3.1.6.4.2 Portiko hastialen zutabe eta habeen arteko lotura (II)

Lotura mota hau erabili izan da habea eta zutabe laguntzaren arteko lotura egiteko, torlojuak ISO 4014 M20 erabili izan dira eta irudian agertzen den bezala, habea zutabearen gainean kokatu eta finkatzeko erabiliko da. Zutabea HE 240 B eta habea HE 140 B motakoak dira. Habean elementu zurruntailea kokatu izan da

#### a) Detalle



#### b) Descripción de los componentes de la unión

Perfiles								
Pieza	Descripción	Esquema	Geometría			Espesor del alma (mm)	Acero	
			Canto total (mm)	Ancho del ala (mm)	Espesor del ala (mm)		$f_y$ (kp/cm <sup>2</sup> )	$f_u$ (kp/cm <sup>2</sup> )
Pilar	HE 240 B		240	240	17	10	S275	2803.3 4179.4
Viga	IPE 270		270	135	10.2	6.6	S275	2803.3 4179.4

Perfiles									
Pieza	Descripción	Esquema	Canto total (mm)	Ancho del ala (mm)	Espesor del ala (mm)	Espesor del alma (mm)	Tipo	Acero	
								$f_y$ (kp/cm <sup>2</sup> )	$f_u$ (kp/cm <sup>2</sup> )
Viga	HE 140 B		140	140	12	7	S275	2803.3	4179.4

Elementos complementarios									
Pieza	Esquema	Geometría			Acero				
		Ancho (mm)	Canto (mm)	Espesor (mm)	Tipo	$f_y$ (kp/cm <sup>2</sup> )	$f_u$ (kp/cm <sup>2</sup> )		
Rigidizador		206	205	20	S275	2803.3	4179.4		
Chapa de apoyo de la viga Viga (c) IPE 270		155	304	6.6	S275	2803.3	4179.4		
Chapa vertical de la viga Viga (c) IPE 270		205	243.6	6.6	S275	2803.3	4179.4		
Chapa de apoyo de la viga Viga (b) IPE 270		155	304	6.6	S275	2803.3	4179.4		
Chapa vertical de la viga Viga (b) IPE 270		205	243.6	6.6	S275	2803.3	4179.4		

## c) Comprobación

## 1) Pilar HE 240 B

Comprobaciones de resistencia					
Componente	Comprobación	Unidades	Pésimo	Resistente	Aprov. (%)
Panel	Esbeltez	--	--	--	31.83
	Cortante	kN	13.52	385.94	3.50
Rigidizador superior	Tensión de Von Mises	N/mm <sup>2</sup>	44.51	261.90	16.99
Rigidizador inferior	Tensión de Von Mises	N/mm <sup>2</sup>	38.74	261.90	14.79
Rigidizador superior	Tensión de Von Mises	N/mm <sup>2</sup>	62.46	261.90	23.85
Rigidizador inferior	Tensión de Von Mises	N/mm <sup>2</sup>	52.25	261.90	19.95
Chapa frontal [Viga (c) IPE 270]	Interacción flexión - cortante	--	--	--	0.00
	Deformación admisible	mRad	--	2	0.00
Chapa vertical [Viga (c) IPE 270]	Cortante	kN	15.18	184.63	8.22
Chapa frontal [Viga (b) IPE 270]	Interacción flexión - cortante	--	--	--	0.00
	Deformación admisible	mRad	--	2	0.00
Chapa vertical [Viga (b) IPE 270]	Cortante	kN	20.74	184.63	11.24
Ala	Desgarro	N/mm <sup>2</sup>	106.74	261.90	40.75
	Cortante	N/mm <sup>2</sup>	43.17	261.90	16.48

## Cordones de soldadura

Comprobaciones geométricas						
Ref.	Tipo	a (mm)	l (mm)	t (mm)	Ángulo (grados)	
Soldadura del rigidizador superior a las alas	En ángulo	4	94	17.0	90.00	
Soldadura del rigidizador superior al alma	En ángulo	4	164	10.0	90.00	
Soldadura del rigidizador superior a la chapa frontal	En ángulo	4	155	6.6	90.00	
Soldadura del rigidizador inferior a las alas	En ángulo	4	94	17.0	90.00	
Soldadura del rigidizador inferior al alma	En ángulo	4	164	10.0	90.00	
Soldadura del rigidizador inferior a la chapa frontal	En ángulo	4	155	6.6	90.00	
Soldadura del rigidizador superior a las alas	En ángulo	4	94	17.0	90.00	
Soldadura del rigidizador superior al alma	En ángulo	4	164	10.0	90.00	
Soldadura del rigidizador superior a la chapa frontal	En ángulo	4	155	6.6	90.00	
Soldadura del rigidizador inferior a las alas	En ángulo	4	94	17.0	90.00	
Soldadura del rigidizador inferior al alma	En ángulo	4	164	10.0	90.00	
Soldadura del rigidizador inferior a la chapa frontal	En ángulo	4	155	6.6	90.00	
Soldadura de la chapa vertical al alma	En ángulo	4	224	6.6	90.00	
Soldadura de la chapa vertical a la chapa frontal	En ángulo	4	224	6.6	90.00	
Soldadura de la chapa vertical al rigidizador superior	En ángulo	4	185	6.6	90.00	
Soldadura de la chapa vertical al rigidizador inferior	En ángulo	4	185	6.6	90.00	
Soldadura de la chapa vertical al alma	En ángulo	4	224	6.6	90.00	
Soldadura de la chapa vertical a la chapa frontal	En ángulo	4	224	6.6	90.00	
Soldadura de la chapa vertical al rigidizador superior	En ángulo	4	185	6.6	90.00	
Soldadura de la chapa vertical al rigidizador inferior	En ángulo	4	185	6.6	90.00	

<b>Comprobaciones geométricas</b>													
Ref.					Tipo	a (mm)	l (mm)	t (mm)	Ángulo (grados)				
<i>a: Espesor garganta l: Longitud efectiva t: Espesor de piezas</i>													
<b>Comprobación de resistencia</b>													
Ref.	<b>Tensión de Von Mises</b>					<b>Tensión normal</b>		$f_u$ (N/mm <sup>2</sup> )	$\beta_w$				
	$\sigma_{\perp}$ (N/mm <sup>2</sup> )	$\tau_{\perp}$ (N/mm <sup>2</sup> )	$\tau_{  }$ (N/mm <sup>2</sup> )	Valor (N/mm <sup>2</sup> )	Aprov. (%)	$\sigma_{\perp}$ (N/mm <sup>2</sup> )	Aprov. (%)						
Soldadura del rigidizador superior a las alas	0.0	0.0	64.2	111.3	28.83	0.0	0.00	410.0	0.85				
Soldadura del rigidizador superior al alma	0.0	0.0	8.7	15.1	3.91	0.0	0.00	410.0	0.85				
Soldadura del rigidizador superior a la chapa frontal	32.0	32.0	10.4	66.5	17.23	32.0	9.76	410.0	0.85				
Soldadura del rigidizador inferior a las alas	0.0	0.0	55.9	96.9	25.10	0.0	0.00	410.0	0.85				
Soldadura del rigidizador inferior al alma	0.0	0.0	7.6	13.2	3.43	0.0	0.00	410.0	0.85				
Soldadura del rigidizador inferior a la chapa frontal	35.4	35.4	0.1	70.9	18.36	35.4	10.80	410.0	0.85				
Soldadura del rigidizador superior a las alas	0.0	0.0	90.2	156.2	40.47	0.0	0.00	410.0	0.85				
Soldadura del rigidizador superior al alma	0.0	0.0	4.2	7.3	1.89	0.0	0.00	410.0	0.85				
Soldadura del rigidizador superior a la chapa frontal	68.3	68.3	0.5	136.6	35.41	68.3	20.83	410.0	0.85				
Soldadura del rigidizador inferior a las alas	0.0	0.0	75.4	130.6	33.85	0.0	0.00	410.0	0.85				
Soldadura del rigidizador inferior al alma	0.0	0.0	3.8	6.5	1.69	0.0	0.00	410.0	0.85				
Soldadura del rigidizador inferior a la chapa frontal	51.4	51.4	1.2	102.8	26.65	51.4	15.67	410.0	0.85				
Soldadura de la chapa vertical al alma	0.0	0.0	9.8	16.9	4.38	0.0	0.00	410.0	0.85				
Soldadura de la chapa vertical a la chapa frontal	0.0	0.0	9.8	16.9	4.38	0.0	0.00	410.0	0.85				
Soldadura de la chapa vertical al rigidizador superior	0.0	0.0	10.3	17.8	4.60	0.0	0.00	410.0	0.85				
Soldadura de la chapa vertical al rigidizador inferior	0.0	0.0	10.3	17.8	4.60	0.0	0.00	410.0	0.85				
Soldadura de la chapa vertical al alma	0.0	0.0	13.4	23.1	5.99	0.0	0.00	410.0	0.85				
Soldadura de la chapa vertical a la chapa frontal	0.0	0.0	13.4	23.1	5.99	0.0	0.00	410.0	0.85				
Soldadura de la chapa vertical al rigidizador superior	0.0	0.0	14.0	24.3	6.29	0.0	0.00	410.0	0.85				
Soldadura de la chapa vertical al rigidizador inferior	0.0	0.0	14.0	24.3	6.29	0.0	0.00	410.0	0.85				

## 2) Viga (a) HE 140 B

<b>Comprobaciones de resistencia</b>					
Componente	Comprobación	Unidades	Pésimo	Resistente	Aprov. (%)
Alma	Tensión de Von Mises	N/mm <sup>2</sup>	88.12	261.90	33.65

## Cordones de soldadura

<b>Comprobaciones geométricas</b>								
Ref.	Tipo		a (mm)	I (mm)	t (mm)	Ángulo (grados)		
Soldadura del alma	En ángulo		4	60	7.0	90.00		
<i>a: Espesor garganta l: Longitud efectiva t: Espesor de piezas</i>								
<b>Comprobación de resistencia</b>								
Ref.	Tensión de Von Mises				Tensión normal			
	$\sigma_{\perp}$ (N/mm <sup>2</sup> )	$\tau_{\perp}$ (N/mm <sup>2</sup> )	$\tau_{  }$ (N/mm <sup>2</sup> )	Valor (N/mm <sup>2</sup> )	Aprov. (%)	$f_u$ (N/mm <sup>2</sup> )		
Soldadura del alma	54.4	54.4	2.4	109.0	28.24	410.0		
					Aprov. (%)	$\beta_w$		
					16.60	0.85		

## 3) Viga (c) IPE 270

## Cordones de soldadura

<b>Comprobaciones geométricas</b>								
Ref.	Tipo		a (mm)	I (mm)	t (mm)	Ángulo (grados)		
Soldadura del ala superior	En ángulo		4	135	6.6	80.27		
Soldadura del alma	En ángulo		4	150	6.6	90.00		
Soldadura del ala inferior	En ángulo		4	135	6.6	80.27		
<i>a: Espesor garganta l: Longitud efectiva t: Espesor de piezas</i>								
<b>Comprobación de resistencia</b>								
Ref.	Tensión de Von Mises				Tensión normal			
	$\sigma_{\perp}$ (N/mm <sup>2</sup> )	$\tau_{\perp}$ (N/mm <sup>2</sup> )	$\tau_{  }$ (N/mm <sup>2</sup> )	Valor (N/mm <sup>2</sup> )	Aprov. (%)	$f_u$ (N/mm <sup>2</sup> )		
Soldadura del ala superior	45.7	54.2	12.0	106.5	27.59	410.0		
Soldadura del alma	0.0	0.0	14.6	25.2	6.54	410.0		
Soldadura del ala inferior	55.9	66.3	0.1	127.7	33.09	410.0		
					Aprov. (%)	$\beta_w$		
					19.24	0.85		

## 4) Viga (b) IPE 270

## Cordones de soldadura

<b>Comprobaciones geométricas</b>					
Ref.	Tipo	a (mm)	l (mm)	t (mm)	Ángulo (grados)
Soldadura del ala superior	En ángulo	4	135	6.6	80.27
Soldadura del alma	En ángulo	4	150	6.6	90.00
Soldadura del ala inferior	En ángulo	4	135	6.6	80.27

*a: Espesor garganta**l: Longitud efectiva**t: Espesor de piezas***Comprobación de resistencia**

Ref.	Tensión de Von Mises					Tensión normal		$f_u$ (N/mm <sup>2</sup> )	$\beta_w$
	$\sigma_{\perp}$ (N/mm <sup>2</sup> )	$\tau_{\perp}$ (N/mm <sup>2</sup> )	$\tau_{  }$ (N/mm <sup>2</sup> )	Valor (N/mm <sup>2</sup> )	Aprov. (%)	$\sigma_{\perp}$ (N/mm <sup>2</sup> )	Aprov. (%)		
Soldadura del ala superior	93.3	110.7	0.6	213.2	55.25	102.7	31.30	410.0	0.85
Soldadura del alma	0.0	0.0	19.9	34.5	8.93	0.0	0.00	410.0	0.85
Soldadura del ala inferior	89.5	75.5	1.4	158.5	41.07	89.5	27.30	410.0	0.85

## d) Medición

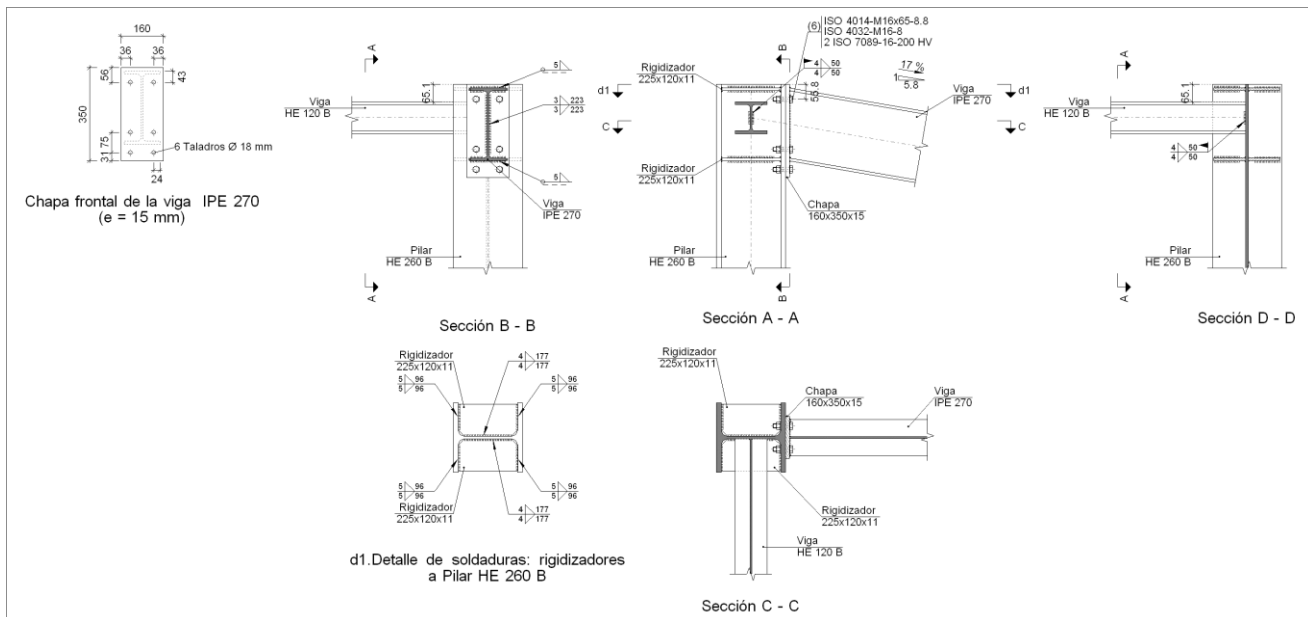
<b>Soldaduras</b>				
$f_u$ (kp/cm <sup>2</sup> )	Ejecución	Tipo	Espesor de garganta (mm)	Longitud de cordones (mm)
4179.4	En taller	En ángulo	4	9061

<b>Chapas</b>					
Material	Type	Cantidad	Dimensiones (mm)		Peso (kg)
S275	Rigidizadores	4	206x205x20 (25+156+25x90+115x20)		25.08
			155x304x6.6		4.88
	Chapas	2	205x243x6.6		5.17
			Total		35.14

### 3.1.6.4.3 Portiko hastialen zutabe eta habeen artek lotura (III)

Lotura hau portiko hastialean emango da, 11 metroko zutabearen (HE 260 B) eta IPE 270 habearen arteko loturan ematen da, torlojuak erabili izan dira lotura hau gauzatzeko, hain zuzen ere, lotura egiteko 6 torloju ISO 4014 M16 erabili izan dira.

#### a) Detalle



#### b) Descripción de los componentes de la unión

Perfiles								
Pieza	Descripción	Esquema	Canto total (mm)	Ancho del ala (mm)	Espesor del ala (mm)	Espesor del alma (mm)	Tipo	Acero
								$f_v$ (kp/cm <sup>2</sup> )
Pilar	HE 260 B		260	260	17.5	10	S275	2803.3
Viga	HE 120 B		120	120	11	6.5	S275	2803.3
								$f_u$ (kp/cm <sup>2</sup> )
								4179.4

Perfiles									
Pieza	Descripción	Esquema	Canto total (mm)	Ancho del ala (mm)	Espesor del ala (mm)	Espesor del alma (mm)	Tipo	Acero	
								$f_y$ (kp/cm <sup>2</sup> )	$f_u$ (kp/cm <sup>2</sup> )
Viga	IPE 270		270	135	10.2	6.6	S275	2803.3	4179.4

Elementos complementarios									
Pieza	Geometría				Taladros		Acero		
	Esquema	Ancho (mm)	Canto (mm)	Espesor (mm)	Cantidad	Diámetro (mm)	Tipo	$f_y$ (kp/cm <sup>2</sup> )	$f_u$ (kp/cm <sup>2</sup> )
Rigidizador		225	120	11	-	-	S275	2803.3	4179.4
Chapa frontal: Viga IPE 270		160	350	15	6	18	S275	2803.3	4179.4

Elementos de tornillería						
Descripción	Geometría			Acero		
	Esquema	Diámetro	Longitud (mm)	Clase	$f_y$ (kp/cm <sup>2</sup> )	$f_u$ (kp/cm <sup>2</sup> )
ISO 4014-M16x65-8.8 ISO 4032-M16-8 2 ISO 7089-16-200 HV		M16	65	8.8	6524.0	8154.9

c) Comprobación

1) Pilar HE 260 B

Comprobaciones de resistencia						
Componente	Comprobación		Unidades	Pésimo	Resistente	Aprov. (%)
Panel	Eobeltez		--	--	--	34.77
	Cortante		kN	182.47	373.69	48.83
Rigidizador superior	Tensión de Von Mises		N/mm <sup>2</sup>	79.74	261.90	30.45
Rigidizador inferior	Tensión de Von Mises		N/mm <sup>2</sup>	116.14	261.90	44.35
Rigidizador superior	Tensión de Von Mises		N/mm <sup>2</sup>	80.10	261.90	30.59

	Rigidizador inferior	Tensión de Von Mises	N/mm <sup>2</sup>	115.68	261.90	44.17
Ala	Desgarro	N/mm <sup>2</sup>	45.94	261.90	17.54	
	Cortante	N/mm <sup>2</sup>	45.70	261.90	17.45	
Viga IPE 270	Ala	Tracción por flexión	kN	115.45	180.86	63.83
		Tracción	kN	43.09	256.09	16.82
Viga HE 120 B	Alma	Tracción	kN	65.45	147.93	44.24
	Alma	Punzonamiento	kN	50.48	222.38	22.70
		Flexión por fuerza perpendicular	kN	50.50	71.25	70.88

## Cordones de soldadura

Comprobaciones geométricas						
Ref.	Tipo		a (mm)	l (mm)	t (mm)	Ángulo (grados)
Soldadura del rigidizador superior a las alas	En ángulo		5	96	11.0	90.00
Soldadura del rigidizador superior al alma	En ángulo		4	177	10.0	90.00
Soldadura del rigidizador inferior a las alas	En ángulo		5	96	11.0	90.00
Soldadura del rigidizador inferior al alma	En ángulo		4	177	10.0	90.00
Soldadura del rigidizador superior a las alas	En ángulo		5	96	11.0	90.00
Soldadura del rigidizador superior al alma	En ángulo		4	177	10.0	90.00
Soldadura del rigidizador inferior a las alas	En ángulo		5	96	11.0	90.00
Soldadura del rigidizador inferior al alma	En ángulo		4	177	10.0	90.00

*a: Espesor garganta**l: Longitud efectiva**t: Espesor de piezas*

Ref.	Tensión de Von Mises					Tensión normal		$f_u$ (N/mm <sup>2</sup> )	$\beta_w$
	$\sigma_{\perp}$ (N/mm <sup>2</sup> )	$\tau_{\perp}$ (N/mm <sup>2</sup> )	$\tau_{  }$ (N/mm <sup>2</sup> )	Valor (N/mm <sup>2</sup> )	Aprov. (%)	$\sigma_{\perp}$ (N/mm <sup>2</sup> )	Aprov. (%)		
Soldadura del rigidizador superior a las alas	58.5	58.5	16.8	120.6	31.25	58.5	17.84	410.0	0.85
Soldadura del rigidizador superior al alma	0.0	0.0	40.4	69.9	18.12	0.0	0.00	410.0	0.85
Soldadura del rigidizador inferior a las alas	88.0	88.0	16.8	178.3	46.21	88.0	26.82	410.0	0.85
Soldadura del rigidizador inferior al alma	0.0	0.0	48.9	84.6	21.93	0.0	0.00	410.0	0.85
Soldadura del rigidizador superior a las alas	58.8	58.8	16.8	121.2	31.40	58.8	17.93	410.0	0.85
Soldadura del rigidizador superior al alma	0.0	0.0	39.9	69.1	17.91	0.0	0.00	410.0	0.85
Soldadura del rigidizador inferior a las alas	87.6	87.6	16.8	177.6	46.02	87.6	26.70	410.0	0.85
Soldadura del rigidizador inferior al alma	0.0	0.0	49.3	85.4	22.14	0.0	0.00	410.0	0.85

## 2) Viga IPE 270

<b>Comprobaciones de resistencia</b>					
Componente	Comprobación	Unidades	Pésimo	Resistente	Aprov. (%)
Chapa frontal	Tracción por flexión	kN	115.45	137.91	83.71
Ala	Compresión	kN	145.46	365.90	39.75
	Tracción	kN	82.01	180.32	45.48
Alma	Tracción	kN	34.97	156.68	22.32

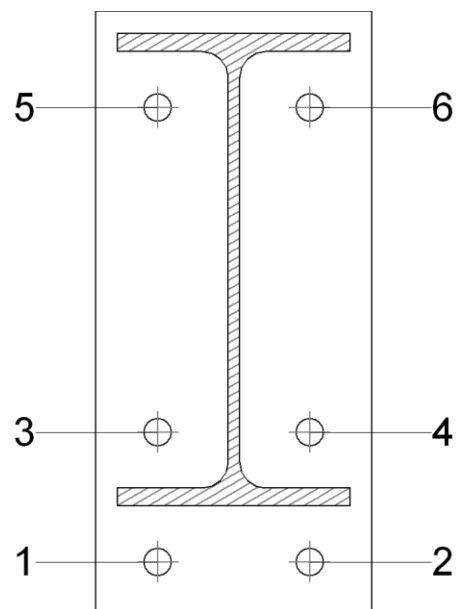
## Cordones de soldadura

<b>Comprobaciones geométricas</b>					
Ref.	Type	a (mm)	l (mm)	t (mm)	Ángulo (grados)
Soldadura del ala superior	En ángulo	5	135	10.2	80.27
Soldadura del alma	En ángulo	3	223	6.6	90.00
Soldadura del ala inferior	En ángulo	5	135	10.2	80.27

*a: Espesor garganta**l: Longitud efectiva**t: Espesor de piezas*

Ref.	Tensión de Von Mises					Tensión normal		$f_u$ (N/mm <sup>2</sup> )	$\beta_w$
	$\sigma_{\perp}$ (N/mm <sup>2</sup> )	$\tau_{\perp}$ (N/mm <sup>2</sup> )	$\tau_{  }$ (N/mm <sup>2</sup> )	Valor (N/mm <sup>2</sup> )	Aprov. (%)	$\sigma_{\perp}$ (N/mm <sup>2</sup> )	Aprov. (%)		
Soldadura del ala superior	88.0	104.3	17.6	203.3	52.67	92.0	28.06	410.0	0.85
Soldadura del alma	89.8	89.8	20.5	183.1	47.44	89.8	27.37	410.0	0.85
Soldadura del ala inferior	130.8	110.2	17.6	233.4	60.49	130.8	39.87	410.0	0.85

## Comprobaciones para los tornillos

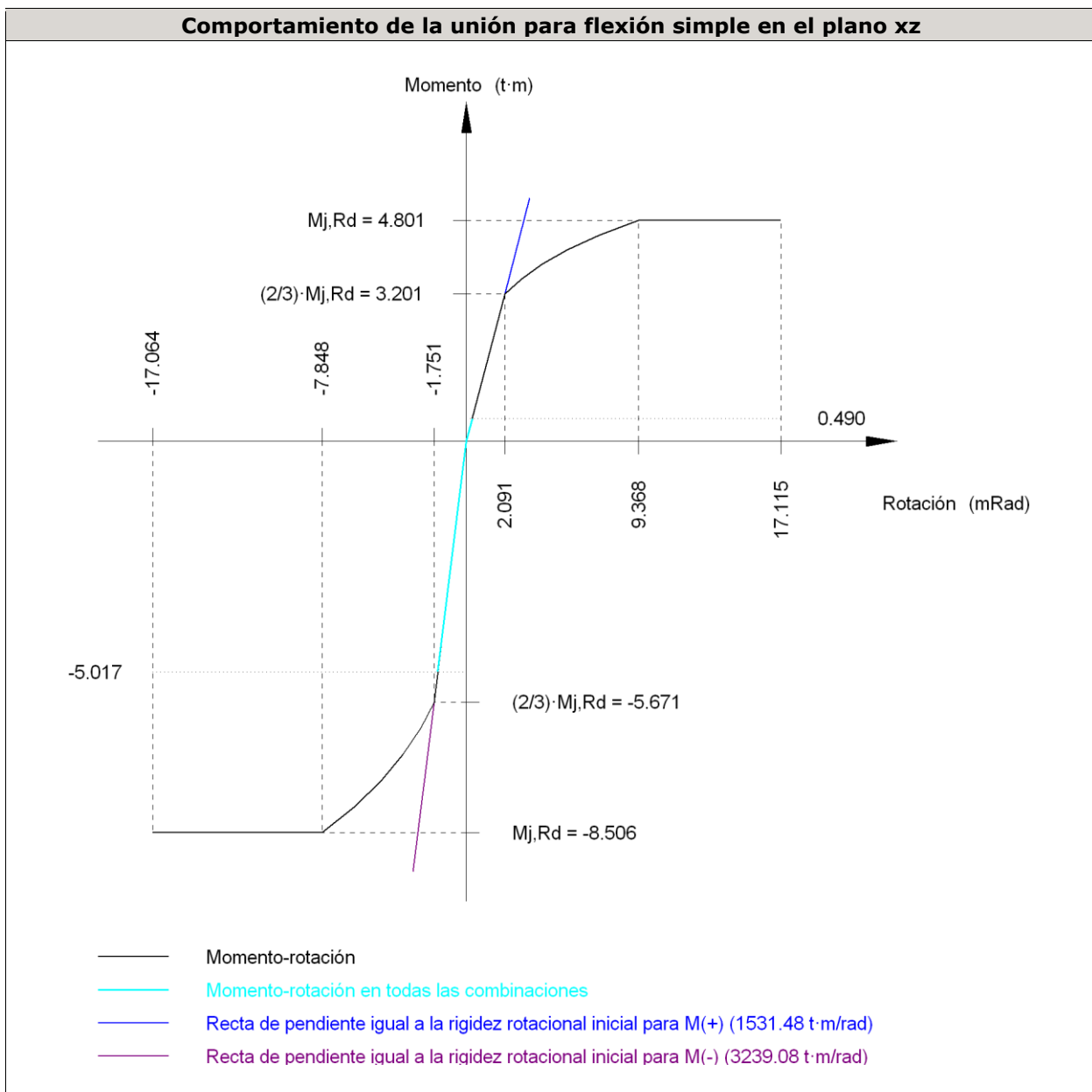


<b>Disposición</b>								
Tornillo	Denominación			d <sub>0</sub> (mm)	e <sub>1</sub> (mm)	e <sub>2</sub> (mm)	p <sub>1</sub> (mm)	p <sub>2</sub> (mm)
1	ISO 4014-M16x65-8.8			18.0	31	36	75	88
2	ISO 4014-M16x65-8.8			18.0	31	36	75	88
3	ISO 4014-M16x65-8.8			18.0	--	36	75	88
4	ISO 4014-M16x65-8.8			18.0	--	36	75	88
5	ISO 4014-M16x65-8.8			18.0	--	36	188	88
6	ISO 4014-M16x65-8.8			18.0	--	36	188	88

--: La comprobación no procede.

<b>Resistencia</b>										
Tornill o	Cortante				Tracción				Interacci ón tracción y cortante	Aprov. Máx. (%)
	Comprobaci ón	Pésim o (kN)	Resisten te (kN)	Apro v. (%)	Comprobaci ón	Pésim o (kN)	Resisten te (kN)	Apro v. (%)		
1	Sección transversal	10.442	64.340	16.23	Vástago	75.704	90.432	83.71	67.67	83.71
	Aplastamiento	10.442	113.063	9.24	Punzonamiento	75.704	235.327	32.17		
2	Sección transversal	8.438	64.340	13.12	Vástago	75.638	90.432	83.64	70.45	83.64
	Aplastamiento	8.438	118.046	7.15	Punzonamiento	75.638	235.327	32.14		
3	Sección transversal	11.175	64.340	17.37	Vástago	42.189	90.432	46.65	43.77	46.65
	Aplastamiento	11.175	174.390	6.41	Punzonamiento	42.189	235.327	17.93		
4	Sección transversal	9.330	64.340	14.50	Vástago	42.139	90.432	46.60	46.01	46.60
	Aplastamiento	8.185	154.144	5.31	Punzonamiento	42.139	235.327	17.91		
5	Sección transversal	15.837	64.340	24.62	Vástago	11.937	90.432	13.20	24.62	24.62
	Aplastamiento	13.894	153.731	9.04	Punzonamiento	11.937	235.327	5.07		
6	Sección transversal	15.837	64.340	24.62	Vástago	11.993	90.432	13.26	24.62	24.62
	Aplastamiento	12.344	139.952	8.82	Punzonamiento	11.993	235.327	5.10		

Rigidez rotacional inicial	Plano xy (t·m/rad)	Plano xz (t·m/rad)
Calculada para momentos positivos	505.88	1531.48
Calculada para momentos negativos	505.88	3239.08



3) Viga HE 120 B

Comprobaciones de resistencia					
Componente	Comprobación	Unidades	Pésimo	Resistente	Aprov. (%)
Alma	Tensión de Von Mises	N/mm <sup>2</sup>	155.46	261.90	59.36

## Cordones de soldadura

Comprobaciones geométricas									
Ref.	Tipo		a (mm)	I (mm)	t (mm)	Ángulo (grados)			
Soldadura del alma	En ángulo		4	50	6.5	90.00			
<i>a: Espesor garganta I: Longitud efectiva t: Espesor de piezas</i>									
Comprobación de resistencia									
Ref.	$\sigma_{\perp}$ (N/mm <sup>2</sup> )	$\tau_{\perp}$ (N/mm <sup>2</sup> )	$\tau_{  }$ (N/mm <sup>2</sup> )	Valor (N/mm <sup>2</sup> )	Aprov. (%)	Tensión normal $\sigma_{\perp}$ (N/mm <sup>2</sup> )	Aprov. (%)	$f_u$ (N/mm <sup>2</sup> )	$\beta_w$
Soldadura del alma	89.3	89.3	2.2	178.6	46.28	89.3	27.22	410.0	0.85

## d) Medición

Soldaduras				
$f_u$ (kp/cm <sup>2</sup> )	Ejecución	Tipo	Espesor de garganta (mm)	Longitud de cordones (mm)
4179.4	En taller	En ángulo	3	446
			4	1416
			5	2044
	En el lugar de montaje	En ángulo	4	100

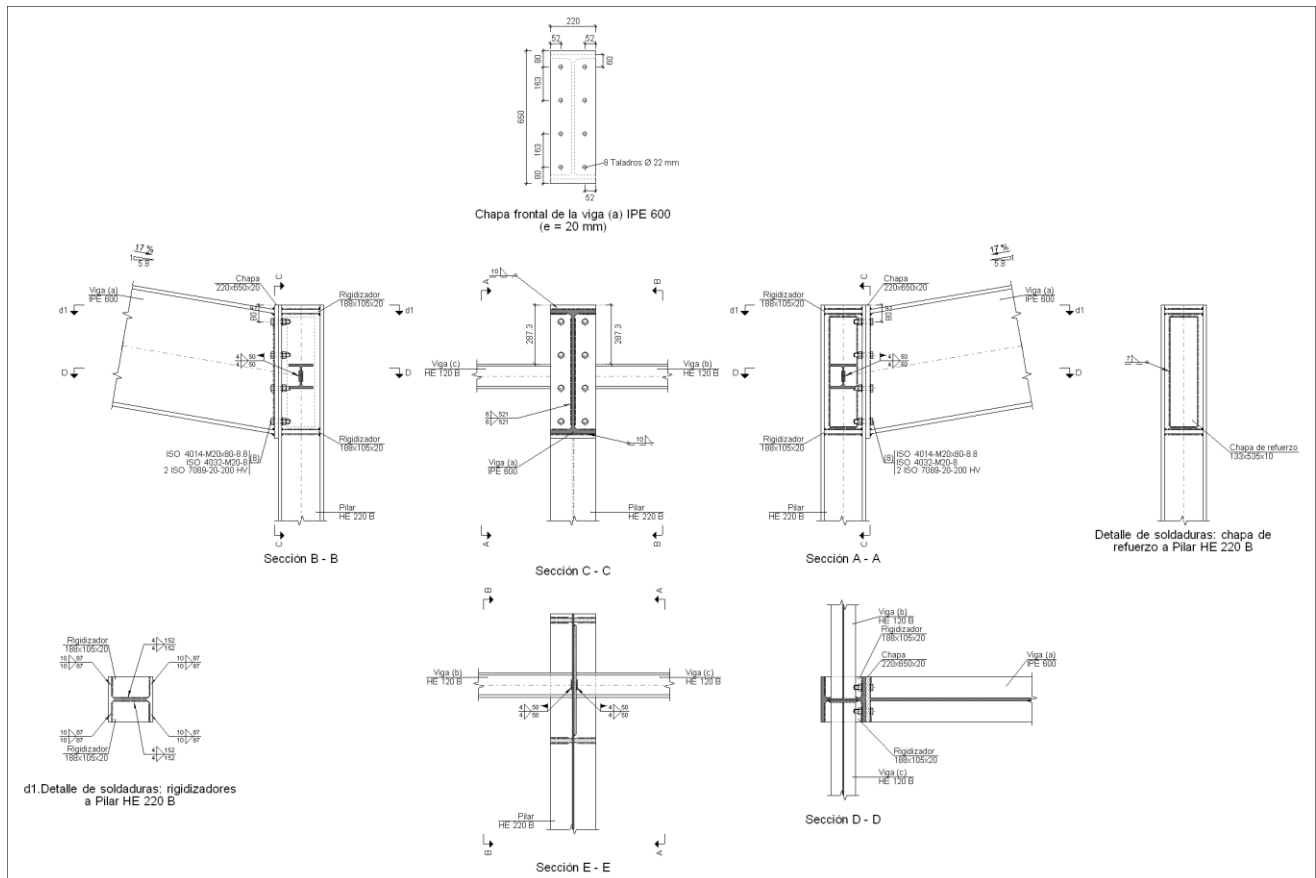
Chapas				
Material	Tipo	Cantidad	Dimensiones (mm)	Peso (kg)
S275	Rigidizadores	4	225x120x11	9.33
	Chapas	1	160x350x15	6.59
		Total		15.92

Elementos de tornillería			
Tipo	Material	Cantidad	Descripción
Tornillos	Clase 8.8	6	ISO 4014-M16x65
Tuercas	Clase 8	6	ISO 4032-M16
Arandelas	Dureza 200 HV	12	ISO 7089-16

### 3.1.6.4.4 Erdiko portikoen zutabe eta habeen arteko lotura (I)

Lotura hau erdiko portikoetan emango da, 5 metroko zutabea (HE 220 B) eta IPE 600 habearen artean, lotura egiteko 6 torloju ISO 4014 M20 erabili izan dira. Puntu honetan baita ere ematen da lotura zutabe eta HE 120 B habearen artean, zeinek portikoen arteko lotura egiteko erabiltzen da, lotura honetan berriz soldadura erabili izan da.

#### a) Detalle



#### b) Descripción de los componentes de la unión

Pieza	Descripción	Perfiles						Acero		
		Geometría								
		Esquema	Canto total (mm)	Ancho del ala (mm)	Espesor del ala (mm)	Espesor del alma (mm)	Tipo	$f_y$ (kp/cm <sup>2</sup> )	$f_u$ (kp/cm <sup>2</sup> )	
Pilar	HE 220 B		220	220	16	9.5	S275	2803.3	4179.4	

Perfiles									
Pieza	Descripción	Esquema	Canto total (mm)	Ancho del ala (mm)	Espesor del ala (mm)	Espesor del alma (mm)	Tipo	f <sub>y</sub> (kp/cm <sup>2</sup> )	f <sub>u</sub> (kp/cm <sup>2</sup> )
Viga	HE 120 B		120	120	11	6.5	S275	2803.3	4179.4
Viga	IPE 600		600	220	19	12	S275	2803.3	4179.4

Elementos complementarios									
Pieza	Geometría				Taladros		Acero		
	Esquema	Ancho (mm)	Canto (mm)	Espesor (mm)	Cantidad	Diámetro (mm)	Tipo	f <sub>y</sub> (kp/cm <sup>2</sup> )	f <sub>u</sub> (kp/cm <sup>2</sup> )
Rigidizador		188	105	20	-	-	S275	2803.3	4179.4
Chapa de refuerzo		133	535	10	-	-	S275	2803.3	4179.4
Chapa frontal: Viga (a) IPE 600		220	650	20	8	22	S275	2803.3	4179.4

Elementos de tornillería						
Descripción	Geometría			Acero		
	Esquema	Diámetro	Longitud (mm)	Clase	f <sub>y</sub> (kp/cm <sup>2</sup> )	f <sub>u</sub> (kp/cm <sup>2</sup> )
ISO 4014-M20x80-8.8 ISO 4032-M20-8 2 ISO 7089-20-200 HV		M20	80	8.8	6524.0	8154.9

c) Comprobación

## 1) Pilar HE 220 B

Comprobaciones de resistencia						
Componente	Comprobación	Unidades	Pésimo	Resistente	Aprov. (%)	
Panel	Esbeltez	--	--	--	30.58	
	Cortante	kN	795.29	1575.92	50.47	
Rigidizador superior	Tensión de Von Mises	N/mm <sup>2</sup>	66.62	261.90	25.44	
Rigidizador inferior	Tensión de Von Mises	N/mm <sup>2</sup>	82.04	261.90	31.33	
Rigidizador superior	Tensión de Von Mises	N/mm <sup>2</sup>	66.61	261.90	25.43	
Rigidizador inferior	Tensión de Von Mises	N/mm <sup>2</sup>	82.05	261.90	31.33	
Ala	Desgarro	N/mm <sup>2</sup>	180.46	261.90	68.90	
	Cortante	N/mm <sup>2</sup>	215.27	261.90	82.19	
Viga (a) IPE 600	Ala	Tracción por flexión	kN	186.38	255.73	72.88
		Tracción	kN	52.00	551.26	9.43
Alma		Tracción	kN	124.40	339.16	36.68
Viga (c) HE 120 B	Alma	Punzonamiento	kN	27.10	211.26	12.83
		Flexión por fuerza perpendicular	kN	15.46	66.94	23.10
Viga (b) HE 120 B	Alma	Punzonamiento	kN	27.57	211.26	13.05
		Flexión por fuerza perpendicular	kN	15.40	66.94	23.01

## Cordones de soldadura

Comprobaciones geométricas						
Ref.	Tipo	a (mm)	I (mm)	t (mm)	Ángulo (grados)	
Soldadura del rigidizador superior a las alas	En ángulo	10	87	16.0	90.00	
Soldadura del rigidizador superior al alma	En ángulo	4	152	9.5	90.00	
Soldadura del rigidizador inferior a las alas	En ángulo	10	87	16.0	90.00	
Soldadura del rigidizador inferior al alma	En ángulo	4	152	9.5	90.00	
Soldadura del rigidizador superior a las alas	En ángulo	10	87	16.0	90.00	
Soldadura del rigidizador superior al alma	En ángulo	4	152	9.5	90.00	
Soldadura del rigidizador inferior a las alas	En ángulo	10	87	16.0	90.00	
Soldadura del rigidizador inferior al alma	En ángulo	4	152	9.5	90.00	
Soldadura de la chapa de refuerzo al alma	En ángulo	7	1337	9.5	90.00	

a: Espesor garganta

l: Longitud efectiva

t: Espesor de piezas

Comprobación de resistencia									
Ref.	Tensión de Von Mises					Tensión normal		$f_u$ (N/mm <sup>2</sup> )	$\beta_w$
	$\sigma_{\perp}$ (N/mm <sup>2</sup> )	$\tau_{\perp}$ (N/mm <sup>2</sup> )	$\tau_{  }$ (N/mm <sup>2</sup> )	Valor (N/mm <sup>2</sup> )	Aprov. (%)	$\sigma_{\perp}$ (N/mm <sup>2</sup> )	Aprov. (%)		
Soldadura del rigidizador superior a las alas	47.1	47.1	0.0	94.2	24.41	47.1	14.36	410.0	0.85
Soldadura del rigidizador superior al alma	0.0	0.0	95.3	165.1	42.79	0.0	0.00	410.0	0.85
Soldadura del rigidizador inferior a las alas	58.0	58.0	0.0	116.0	30.07	58.0	17.69	410.0	0.85

Comprobación de resistencia									
Ref.	Tensión de Von Mises					Tensión normal		$f_u$ (N/mm <sup>2</sup> )	$\beta_w$
	$\sigma_{\perp}$ (N/mm <sup>2</sup> )	$\tau_{\perp}$ (N/mm <sup>2</sup> )	$\tau_{  }$ (N/mm <sup>2</sup> )	Valor (N/mm <sup>2</sup> )	Aprov. (%)	$\sigma_{\perp}$ (N/mm <sup>2</sup> )	Aprov. (%)		
Soldadura del rigidizador inferior al alma	0.0	0.0	117.4	203.3	52.70	0.0	0.00	410.0	0.85
Soldadura del rigidizador superior a las alas	47.1	47.1	0.0	94.2	24.41	47.1	14.36	410.0	0.85
Soldadura del rigidizador superior al alma	0.0	0.0	95.3	165.1	42.78	0.0	0.00	410.0	0.85
Soldadura del rigidizador inferior a las alas	58.0	58.0	0.0	116.0	30.07	58.0	17.69	410.0	0.85
Soldadura del rigidizador inferior al alma	0.0	0.0	117.4	203.4	52.70	0.0	0.00	410.0	0.85
Soldadura de la chapa de refuerzo al alma	La comprobación no procede.							410.0	0.85

2) Viga (a) IPE 600

Comprobaciones de resistencia					
Componente	Comprobación	Unidades	Pésimo	Resistente	Aprov. (%)
Chapa frontal	Tracción por flexión	kN	186.38	282.24	66.04
Ala	Compresión	kN	390.75	1110.73	35.18
	Tracción	kN	56.51	511.60	11.04
Alma	Tracción	kN	124.40	497.67	25.00

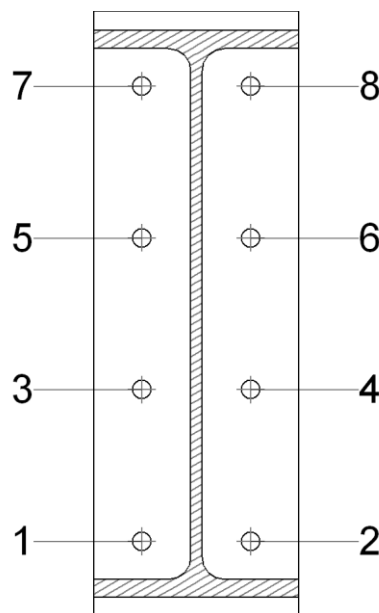
## Cordones de soldadura

Comprobaciones geométricas						
Ref.	Tipo	a (mm)	I (mm)	t (mm)	Ángulo (grados)	
Soldadura del ala superior	En ángulo	10	220	19.0	80.27	
Soldadura del alma	En ángulo	6	521	12.0	90.00	
Soldadura del ala inferior	En ángulo	10	220	19.0	80.27	

*a: Espesor garganta*  
*I: Longitud efectiva*  
*t: Espesor de piezas*

Comprobación de resistencia									
Ref.	Tensión de Von Mises					Tensión normal		$f_u$ (N/mm <sup>2</sup> )	$\beta_w$
	$\sigma_{\perp}$ (N/mm <sup>2</sup> )	$\tau_{\perp}$ (N/mm <sup>2</sup> )	$\tau_{  }$ (N/mm <sup>2</sup> )	Valor (N/mm <sup>2</sup> )	Aprov. (%)	$\sigma_{\perp}$ (N/mm <sup>2</sup> )	Aprov. (%)		
Soldadura del ala superior	45.1	53.4	0.2	102.9	26.68	49.1	14.97	410.0	0.85
Soldadura del alma	67.4	67.4	7.3	135.4	35.10	67.4	20.55	410.0	0.85
Soldadura del ala inferior	47.3	56.1	0.2	108.1	28.02	51.2	15.60	410.0	0.85

## Comprobaciones para los tornillos



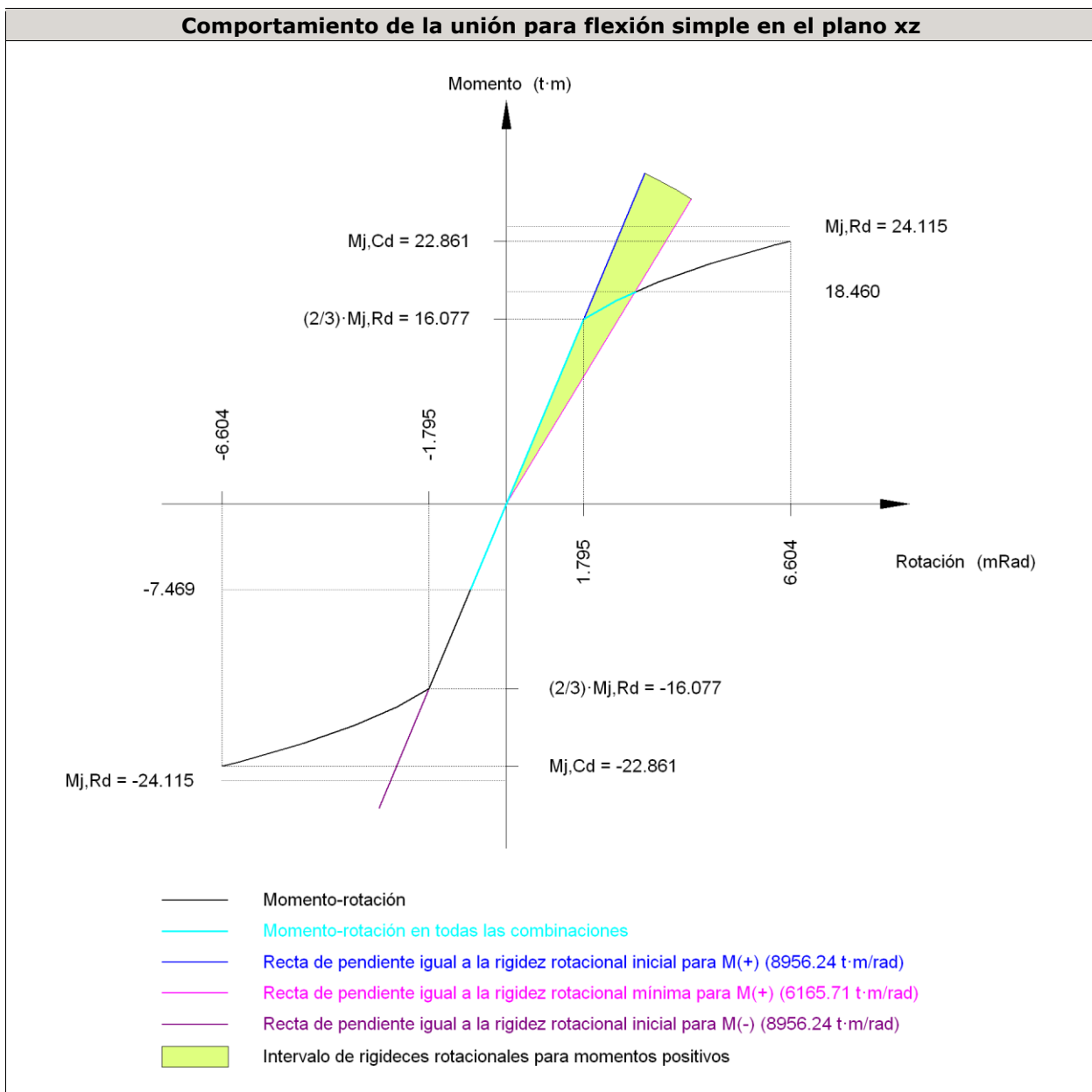
Disposición									
Tornillo	Denominación			$d_0$ (mm)	$e_1$ (mm)	$e_2$ (mm)	$p_1$ (mm)	$p_2$ (mm)	$m$ (mm)
1	ISO 4014-M20x80-8.8			22.0	--	52	163	117	40.6
2	ISO 4014-M20x80-8.8			22.0	--	52	163	117	40.6
3	ISO 4014-M20x80-8.8			22.0	--	52	163	117	43.8
4	ISO 4014-M20x80-8.8			22.0	--	52	163	117	43.8
5	ISO 4014-M20x80-8.8			22.0	--	52	163	117	43.8
6	ISO 4014-M20x80-8.8			22.0	--	52	163	117	43.8
7	ISO 4014-M20x80-8.8			22.0	--	52	163	117	40.6
8	ISO 4014-M20x80-8.8			22.0	--	52	163	117	40.6

--: La comprobación no procede.

Tornillo	Resistencia								Interacción tracción y cortante	Aprov. Máx. (%)		
	Cortante				Tracción							
	Comprobación	Pésimo (kN)	Resistente (kN)	Aprov. (%)	Comprobación	Pésimo (kN)	Resistente (kN)	Aprov. (%)				
1	Sección transversal	6.757	100.531	6.72	Vástago	48.632	141.120	34.46	26.61	34.46		
	Aplastamiento	6.757	262.397	2.58	Punzonamiento	48.632	311.358	15.62				
2	Sección transversal	6.757	100.531	6.72	Vástago	48.632	141.120	34.46	26.62	34.46		
	Aplastamiento	6.757	262.400	2.58	Punzonamiento	48.632	311.358	15.62				
3	Sección transversal	5.735	100.531	5.70	Vástago	40.307	141.120	28.56	26.11	28.56		
	Aplastamiento	5.735	262.400	2.19	Punzonamiento	40.307	311.358	12.95				

Resistencia										
Tornillo	Cortante				Tracción				Interacción tracción y cortante	Aprov. Máx. (%)
	Comprobación	Pésimo (kN)	Resistente (kN)	Aprov. (%)	Comprobación	Pésimo (kN)	Resistente (kN)	Aprov. (%)	Aprov. (%)	Aprov. (%)
4	Sección transversal	5.729	100.531	5.70	Vástago	40.307	141.120	28.56	26.10	28.56
	Aplastamiento	5.729	262.400	2.18	Punzonamiento	40.307	311.358	12.95		
5	Sección transversal	5.735	100.531	5.70	Vástago	80.336	141.120	56.93	46.37	56.93
	Aplastamiento	5.735	262.400	2.19	Punzonamiento	80.336	311.358	25.80		
6	Sección transversal	5.729	100.531	5.70	Vástago	80.336	141.120	56.93	46.36	56.93
	Aplastamiento	5.729	262.399	2.18	Punzonamiento	80.336	311.358	25.80		
7	Sección transversal	5.735	100.531	5.70	Vástago	102.852	141.120	72.88	57.76	72.88
	Aplastamiento	5.735	262.400	2.19	Punzonamiento	102.852	311.358	33.03		
8	Sección transversal	5.729	100.531	5.70	Vástago	102.852	141.120	72.88	57.76	72.88
	Aplastamiento	5.729	262.399	2.18	Punzonamiento	102.852	311.358	33.03		

Rigidez rotacional inicial	Plano xy (t·m/rad)	Plano xz (t·m/rad)
Calculada para momentos positivos	3387.12	8956.24
Calculada para momentos negativos	3387.12	8956.24



Comprobación	Unidades	Pésimo	Resistente	Aprov. (%)
Relación entre modos 1 y 3	--	1.49	1.80	82.92
Momento resistente	kNm	181.10	236.56	76.55
Capacidad de rotación	mRad	453.370	667	68.01

3) Viga (c) HE 120 B

Comprobaciones de resistencia					
Componente	Comprobación	Unidades	Pésimo	Resistente	Aprov. (%)
Alma	Tensión de Von Mises	N/mm <sup>2</sup>	83.51	261.90	31.89

## Cordones de soldadura

Comprobaciones geométricas									
Ref.	Tipo		a (mm)	I (mm)	t (mm)	Ángulo (grados)			
Soldadura del alma	En ángulo		4	50	6.5	90.00			
<i>a: Espesor garganta I: Longitud efectiva t: Espesor de piezas</i>									
Comprobación de resistencia									
Ref.	Tensión de Von Mises				Tensión normal				
	$\sigma_{\perp}$ (N/mm <sup>2</sup> )	$\tau_{\perp}$ (N/mm <sup>2</sup> )	$\tau_{  }$ (N/mm <sup>2</sup> )	Valor (N/mm <sup>2</sup> )	Aprov. (%)	$\sigma_{\perp}$ (N/mm <sup>2</sup> )	Aprov. (%)	$f_u$ (N/mm <sup>2</sup> )	$\beta_w$
Soldadura del alma	47.9	47.9	2.2	95.9	24.85	47.9	14.60	410.0	0.85

## 4) Viga (b) HE 120 B

Comprobaciones de resistencia					
Componente	Comprobación	Unidades	Pésimo	Resistente	Aprov. (%)
Alma	Tensión de Von Mises	N/mm <sup>2</sup>	84.95	261.90	32.44

## Cordones de soldadura

Comprobaciones geométricas									
Ref.	Tipo		a (mm)	I (mm)	t (mm)	Ángulo (grados)			
Soldadura del alma	En ángulo		4	50	6.5	90.00			
<i>a: Espesor garganta I: Longitud efectiva t: Espesor de piezas</i>									
Comprobación de resistencia									
Ref.	Tensión de Von Mises				Tensión normal				
	$\sigma_{\perp}$ (N/mm <sup>2</sup> )	$\tau_{\perp}$ (N/mm <sup>2</sup> )	$\tau_{  }$ (N/mm <sup>2</sup> )	Valor (N/mm <sup>2</sup> )	Aprov. (%)	$\sigma_{\perp}$ (N/mm <sup>2</sup> )	Aprov. (%)	$f_u$ (N/mm <sup>2</sup> )	$\beta_w$
Soldadura del alma	48.7	48.7	2.2	97.5	25.28	48.7	14.86	410.0	0.85

## d) Medición

Soldaduras				
$f_u$ (kp/cm <sup>2</sup> )	Ejecución	Tipo	Espesor de garganta (mm)	Longitud de cordones (mm)
4179.4	En taller	En ángulo	4	1216
			6	1043
			7	1337
			10	2152
	En el lugar de montaje	En ángulo	4	200

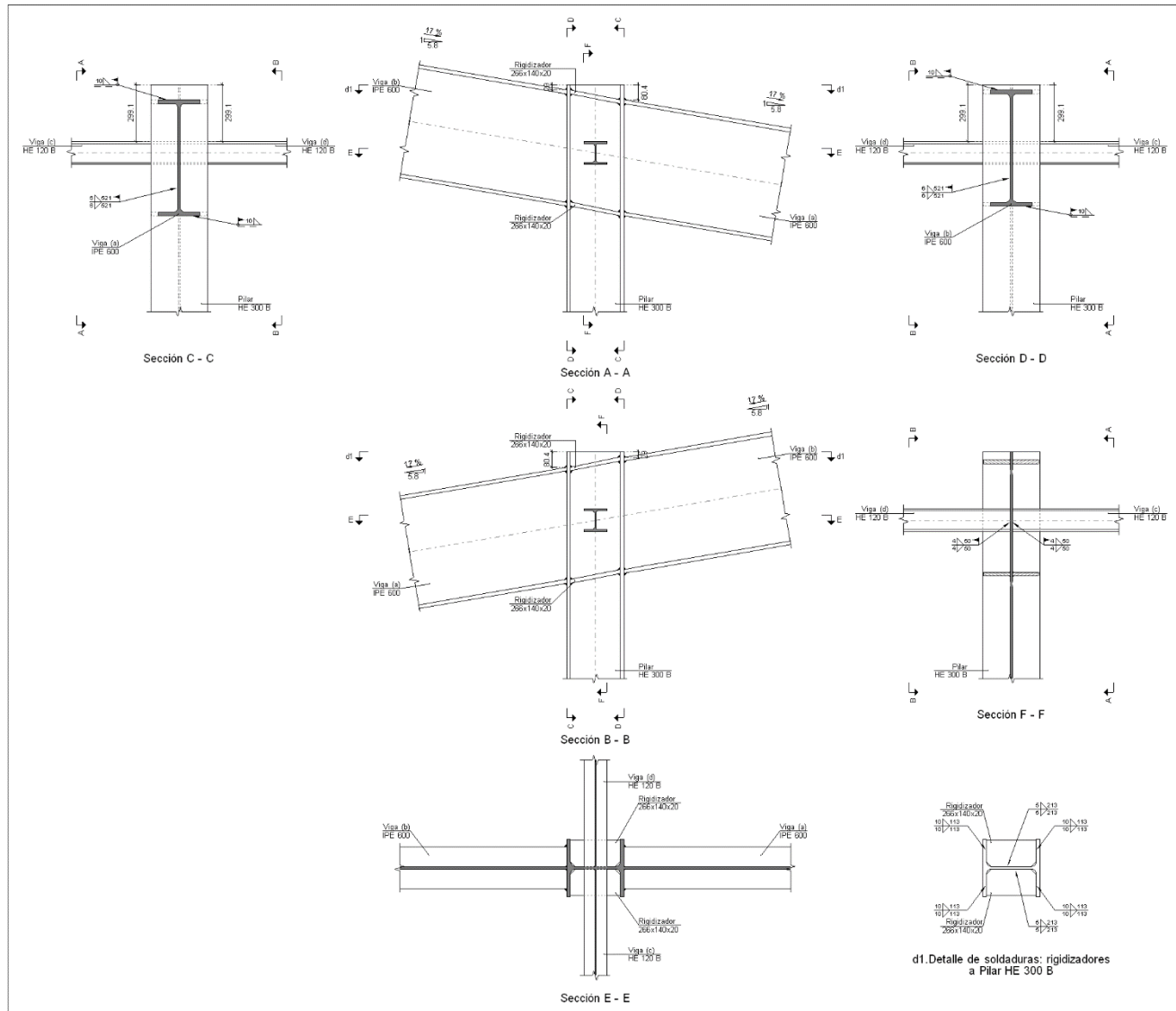
<b>Chapas</b>				
Material	Tipo	Cantidad	Dimensiones (mm)	Peso (kg)
S275	Rigidizadores	4	188x105x20	12.40
	Chapas	1	133x535x10	5.59
		1	220x650x20	22.45
			Total	40.43

<b>Elementos de tornillería</b>			
Tipo	Material	Cantidad	Descripción
Tornillos	Clase 8.8	8	ISO 4014-M20x80
Tuercas	Clase 8	8	ISO 4032-M20
Arandelas	Dureza 200 HV	16	ISO 7089-20

### 3.1.6.4.5 Erdiko portikoen zutabe eta habeen arteko lotura (II)

Portikoaren erdiko zutabe eta habeen arteko lotura egiteko soldadura erabili izan da. Lotura gune hau zutabe eta habeak lotzeaz aparte baita ere erabili izan da habeen ebaketa bat egiteko, horrela habeen luzera txikitzen da bere garraioa erraztuz.

#### a) Detalle



## b) Descripción de los componentes de la unión

Perfiles									
Pieza	Descripción	Esquema	Geometría				Acero		
			Canto total (mm)	Ancho del ala (mm)	Espesor del ala (mm)	Espesor del alma (mm)	Tipo	$f_y$ (kp/cm <sup>2</sup> )	$f_u$ (kp/cm <sup>2</sup> )
Pilar	HE 300 B		300	300	19	11	S275	2803.3	4179.4
Viga	HE 120 B		120	120	11	6.5	S275	2803.3	4179.4
Viga	IPE 600		600	220	19	12	S275	2803.3	4179.4

Elementos complementarios							
Pieza	Esquema	Geometría			Tipo	$f_y$ (kp/cm <sup>2</sup> )	$f_u$ (kp/cm <sup>2</sup> )
Rigidizador		267	140	20	S275	2803.3	4179.4

## c) Comprobación

## 1) Pilar HE 300 B

Comprobaciones de resistencia						
Componente	Comprobación	Unidades	Pésimo	Resistente	Aprov. (%)	
Panel	Esbeltz	--	--	--	36.81	
	Cortante	kN	347.06	912.38	38.04	
Rigidizador superior	Tensión de Von Mises		N/mm <sup>2</sup>	174.07	261.90	66.46
Rigidizador inferior	Tensión de Von Mises		N/mm <sup>2</sup>	167.52	261.90	63.96
Rigidizador superior	Tensión de Von Mises		N/mm <sup>2</sup>	173.99	261.90	66.43
Rigidizador inferior	Tensión de Von Mises		N/mm <sup>2</sup>	167.60	261.90	63.99
Ala	Cortante		N/mm <sup>2</sup>	67.88	261.90	25.92
Alma	Punzonamiento		kN	50.05	244.62	20.46

Viga (c) HE 120 B		Flexión por fuerza perpendicular	kN	3.30	83.23	3.96
Viga (d) HE 120 B	Alma	Punzonamiento	kN	50.14	244.62	20.50
		Flexión por fuerza perpendicular	kN	3.37	83.23	4.05

## Cordones de soldadura

Comprobaciones geométricas						
Ref.	Tipo		a (mm)	I (mm)	t (mm)	Ángulo (grados)
Soldadura del rigidizador superior a las alas	En ángulo		10	113	19.0	78.89
Soldadura del rigidizador superior al alma	En ángulo		5	213	11.0	90.00
Soldadura del rigidizador inferior a las alas	En ángulo		10	113	19.0	78.89
Soldadura del rigidizador inferior al alma	En ángulo		5	213	11.0	90.00
Soldadura del rigidizador superior a las alas	En ángulo		10	113	19.0	78.89
Soldadura del rigidizador superior al alma	En ángulo		5	213	11.0	90.00
Soldadura del rigidizador inferior a las alas	En ángulo		10	113	19.0	78.89
Soldadura del rigidizador inferior al alma	En ángulo		5	213	11.0	90.00

*a: Espesor garganta**I: Longitud efectiva**t: Espesor de piezas*

Comprobación de resistencia									
Ref.	Tensión de Von Mises					Tensión normal		$f_u$ (N/mm <sup>2</sup> )	$\beta_w$
	$\sigma_{\perp}$ (N/mm <sup>2</sup> )	$\tau_{\perp}$ (N/mm <sup>2</sup> )	$\tau_{  }$ (N/mm <sup>2</sup> )	Valor (N/mm <sup>2</sup> )	Aprov. (%)	$\sigma_{\perp}$ (N/mm <sup>2</sup> )	Aprov. (%)		
Soldadura del rigidizador superior a las alas	110.6	134.4	0.0	257.8	66.80	110.6	33.72	410.0	0.85
Soldadura del rigidizador superior al alma	0.0	0.0	30.8	53.3	13.82	0.0	0.00	410.0	0.85
Soldadura del rigidizador inferior a las alas	106.4	129.4	0.0	248.1	64.28	106.4	32.45	410.0	0.85
Soldadura del rigidizador inferior al alma	0.0	0.0	35.0	60.6	15.71	0.0	0.00	410.0	0.85
Soldadura del rigidizador superior a las alas	110.5	134.4	0.0	257.6	66.76	110.6	33.70	410.0	0.85
Soldadura del rigidizador superior al alma	0.0	0.0	30.8	53.4	13.83	0.0	0.00	410.0	0.85
Soldadura del rigidizador inferior a las alas	106.5	129.4	0.0	248.2	64.31	106.5	32.47	410.0	0.85
Soldadura del rigidizador inferior al alma	0.0	0.0	35.0	60.6	15.71	0.0	0.00	410.0	0.85

## 2) Viga (a) IPE 600

## Cordones de soldadura

Comprobaciones geométricas						
Ref.	Tipo		a (mm)	I (mm)	t (mm)	Ángulo (grados)
Soldadura del ala superior	En ángulo		10	220	19.0	80.27
Soldadura del alma	En ángulo		6	521	12.0	90.00

Comprobaciones geométricas								
Ref.	Tipo		a (mm)	I (mm)	t (mm)	Ángulo (grados)		
Soldadura del ala inferior	En ángulo		10	220	19.0	80.27		
<i>a: Espesor garganta I: Longitud efectiva t: Espesor de piezas</i>								
Comprobación de resistencia								
Ref.	Tensión de Von Mises			Tensión normal				
	$\sigma_{\perp}$ (N/mm <sup>2</sup> )	$\tau_{\perp}$ (N/mm <sup>2</sup> )	$\tau_{  }$ (N/mm <sup>2</sup> )	Valor (N/mm <sup>2</sup> )	Aprov. (%)	$f_u$ (N/mm <sup>2</sup> )		
Soldadura del ala superior	124.0	147.1	0.1	283.3	73.42	133.4		
Soldadura del alma	114.7	114.7	18.1	231.5	59.98	114.7		
Soldadura del ala inferior	143.5	121.0	0.1	254.1	65.84	143.5		
						40.66		
						410.0		
						0.85		
						34.96		
						410.0		
						0.85		

## 3) Viga (b) IPE 600

## Cordones de soldadura

Comprobaciones geométricas								
Ref.	Tipo		a (mm)	I (mm)	t (mm)	Ángulo (grados)		
Soldadura del ala superior	En ángulo		10	220	19.0	80.27		
Soldadura del alma	En ángulo		6	521	12.0	90.00		
Soldadura del ala inferior	En ángulo		10	220	19.0	80.27		
<i>a: Espesor garganta I: Longitud efectiva t: Espesor de piezas</i>								
Comprobación de resistencia								
Ref.	Tensión de Von Mises			Tensión normal				
	$\sigma_{\perp}$ (N/mm <sup>2</sup> )	$\tau_{\perp}$ (N/mm <sup>2</sup> )	$\tau_{  }$ (N/mm <sup>2</sup> )	Valor (N/mm <sup>2</sup> )	Aprov. (%)	$f_u$ (N/mm <sup>2</sup> )		
Soldadura del ala superior	132.2	111.5	0.2	234.1	60.65	132.2		
Soldadura del alma	103.3	103.3	16.9	208.7	54.09	103.3		
Soldadura del ala inferior	105.8	125.5	0.2	241.8	62.65	113.3		
						40.32		
						410.0		
						0.85		
						31.50		
						410.0		
						0.85		

## 4) Viga (c) HE 120 B

Comprobaciones de resistencia					
Componente	Comprobación	Unidades	Pésimo	Resistente	Aprov. (%)
Alma	Tensión de Von Mises	N/mm <sup>2</sup>	154.03	261.90	58.81

## Cordones de soldadura

Comprobaciones geométricas					
Ref.	Tipo		a (mm)	I (mm)	Ángulo (grados)
Soldadura del alma	En ángulo		4	50	6.5
<i>a: Espesor garganta I: Longitud efectiva t: Espesor de piezas</i>					

Comprobación de resistencia									
Ref.	Tensión de Von Mises					Tensión normal			
	$\sigma_{\perp}$ (N/mm <sup>2</sup> )	$\tau_{\perp}$ (N/mm <sup>2</sup> )	$\tau_{  }$ (N/mm <sup>2</sup> )	Valor (N/mm <sup>2</sup> )	Aprov. (%)	$\sigma_{\perp}$ (N/mm <sup>2</sup> )	Aprov. (%)	$f_u$ (N/mm <sup>2</sup> )	$\beta_w$
Soldadura del alma	88.5	88.5	1.3	177.0	45.86	88.5	26.98	410.0	0.85

## 5) Viga (d) HE 120 B

Comprobaciones de resistencia					
Componente	Comprobación	Unidades	Pésimo	Resistente	Aprov. (%)
Alma	Tensión de Von Mises	N/mm <sup>2</sup>	154.31	261.90	58.92

## Cordones de soldadura

Comprobaciones geométricas									
Ref.	Tipo		a (mm)	I (mm)	t (mm)				
Soldadura del alma	En ángulo		4	50	6.5				
<i>a: Espesor garganta I: Longitud efectiva t: Espesor de piezas</i>									
Comprobación de resistencia									
Ref.	Tensión de Von Mises					Tensión normal			
	$\sigma_{\perp}$ (N/mm <sup>2</sup> )	$\tau_{\perp}$ (N/mm <sup>2</sup> )	$\tau_{  }$ (N/mm <sup>2</sup> )	Valor (N/mm <sup>2</sup> )	Aprov. (%)	$\sigma_{\perp}$ (N/mm <sup>2</sup> )	Aprov. (%)	$f_u$ (N/mm <sup>2</sup> )	$\beta_w$
Soldadura del alma	88.6	88.6	1.3	177.3	45.95	88.6	27.02	410.0	0.85

## d) Medición

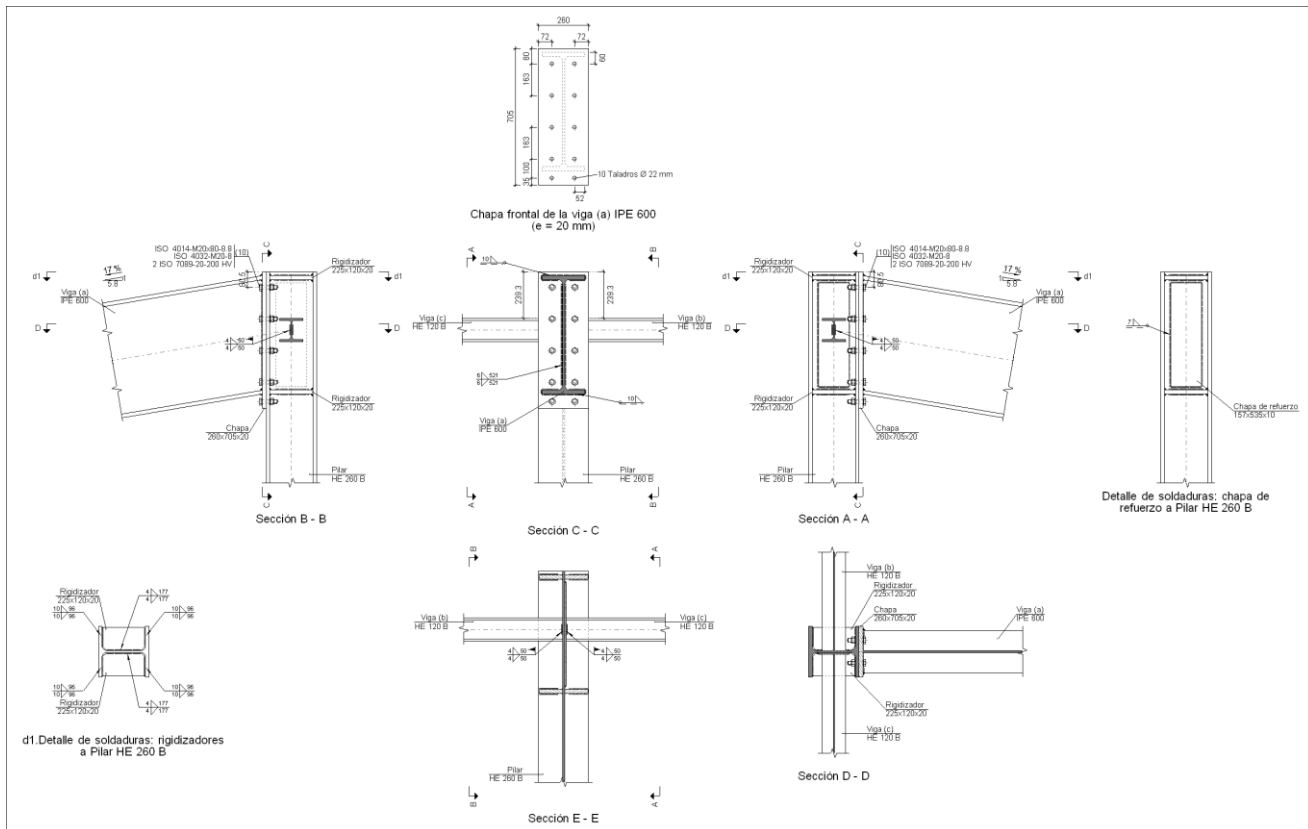
Soldaduras				
$f_u$ (kp/cm <sup>2</sup> )	Ejecución	Tipo	Espesor de garganta (mm)	Longitud de cordones (mm)
4179.4	En taller	En ángulo	5	1704
			10	1808
	En el lugar de montaje	En ángulo	4	200
			6	2086
			10	1674

Chapas				
Material	Tipo	Cantidad	Dimensiones (mm)	Peso (kg)
S275	Rigidizadores	4	266x140x20	23.47
			Total	23.47

### 3.1.6.4.6 Erdiko portikoen zutabe eta habeen arteko lotura (III)

Portikoaren beste aldean 11 metroko zutabearen HE 260 B eta IPE 600 habearen arteko lotura ematen da, torlojuak erabili izan dira lotura hau gauzatzeko, hain zuzen ere, lotura egiteko 6 torloju ISO 4014 M20 erabili izan dira.

#### a) Detalle



#### b) Descripción de los componentes de la unión

Pieza	Descripción	Perfiles					Geometría			Acero		
		Esquema	Canto total (mm)	Ancho del ala (mm)	Espesor del ala (mm)	Espesor del alma (mm)	Tipo	$f_y$ (kp/cm <sup>2</sup> )	$f_u$ (kp/cm <sup>2</sup> )			
Pilar	HE 260 B		260	260	17.5	10	S275	2803.3	4179.4			

Perfiles									
Pieza	Descripción	Esquema	Canto total (mm)	Ancho del ala (mm)	Espesor del ala (mm)	Espesor del alma (mm)	Tipo	Acero	
								$f_y$ (kp/cm <sup>2</sup> )	$f_u$ (kp/cm <sup>2</sup> )
Viga	HE 120 B		120	120	11	6.5	S275	2803.3	4179.4
Viga	IPE 600		600	220	19	12	S275	2803.3	4179.4

Elementos complementarios									
Pieza	Geometría				Taladros		Acero		
	Esquema	Ancho (mm)	Canto (mm)	Espesor (mm)	Cantidad	Diámetro (mm)	Tipo	$f_y$ (kp/cm <sup>2</sup> )	$f_u$ (kp/cm <sup>2</sup> )
Rigidizador		225	120	20	-	-	S275	2803.3	4179.4
Chapa de refuerzo		157	535	10	-	-	S275	2803.3	4179.4
Chapa frontal: Viga (a) IPE 600		260	705	20	10	22	S275	2803.3	4179.4

Elementos de tornillería						
Descripción	Geometría			Acero		
	Esquema	Diámetro	Longitud (mm)	Clase	$f_y$ (kp/cm <sup>2</sup> )	$f_u$ (kp/cm <sup>2</sup> )
ISO 4014-M20x80-8.8 ISO 4032-M20-8 2 ISO 7089-20-200 HV		M20	80	8.8	6524.0	8154.9

## c) Comprobación

## 1) Pilar HE 260 B

Comprobaciones de resistencia						
Componente	Comprobación	Unidades	Pésimo	Resistente	Aprov. (%)	
Panel	Esbeltez	--	--	--	34.77	
	Cortante	kN	887.90	1658.87	53.52	
Rigidizador superior	Tensión de Von Mises		N/mm <sup>2</sup>	77.18	261.90	29.47
Rigidizador inferior	Tensión de Von Mises		N/mm <sup>2</sup>	95.09	261.90	36.31
Rigidizador superior	Tensión de Von Mises		N/mm <sup>2</sup>	77.28	261.90	29.51
Rigidizador inferior	Tensión de Von Mises		N/mm <sup>2</sup>	95.00	261.90	36.27
Ala	Desgarro	N/mm <sup>2</sup>	186.48	261.90	71.20	
	Cortante	N/mm <sup>2</sup>	186.11	261.90	71.06	
Viga (a) IPE 600	Ala	Tracción por flexión	kN	195.38	282.24	69.23
		Tracción	kN	94.84	550.21	17.24
Viga (c) HE 120 B	Alma	Tracción	kN	91.68	171.19	53.55
		Punzonamiento	kN	72.75	222.38	32.72
Viga (b) HE 120 B	Alma	Flexión por fuerza perpendicular	kN	54.62	71.25	76.65
		Punzonamiento	kN	72.75	222.38	32.72
		Flexión por fuerza perpendicular	kN	56.35	71.25	79.09

## Cordones de soldadura

Comprobaciones geométricas						
Ref.	Tipo	a (mm)	I (mm)	t (mm)	Ángulo (grados)	
Soldadura del rigidizador superior a las alas	En ángulo	10	96	17.5	90.00	
Soldadura del rigidizador superior al alma	En ángulo	4	177	10.0	90.00	
Soldadura del rigidizador inferior a las alas	En ángulo	10	96	17.5	90.00	
Soldadura del rigidizador inferior al alma	En ángulo	4	177	10.0	90.00	
Soldadura del rigidizador superior a las alas	En ángulo	10	96	17.5	90.00	
Soldadura del rigidizador superior al alma	En ángulo	4	177	10.0	90.00	
Soldadura del rigidizador inferior a las alas	En ángulo	10	96	17.5	90.00	
Soldadura del rigidizador inferior al alma	En ángulo	4	177	10.0	90.00	
Soldadura de la chapa de refuerzo al alma	En ángulo	7	1385	10.0	90.00	

*a: Espesor garganta**I: Longitud efectiva**t: Espesor de piezas*

Comprobación de resistencia									
Ref.	Tensión de Von Mises					Tensión normal		$f_u$ (N/mm <sup>2</sup> )	$\beta_w$
	$\sigma_{\perp}$ (N/mm <sup>2</sup> )	$\tau_{\perp}$ (N/mm <sup>2</sup> )	$\tau_{  }$ (N/mm <sup>2</sup> )	Valor (N/mm <sup>2</sup> )	Aprov. (%)	$\sigma_{\perp}$ (N/mm <sup>2</sup> )	Aprov. (%)		
Soldadura del rigidizador superior a las alas	53.9	53.9	7.0	108.5	28.11	53.9	16.43	410.0	0.85
Soldadura del rigidizador superior al alma	0.0	0.0	103.6	179.5	46.52	0.0	0.00	410.0	0.85

Comprobación de resistencia									
Ref.	Tensión de Von Mises					Tensión normal		$f_u$ (N/mm <sup>2</sup> )	$\beta_w$
	$\sigma_{\perp}$ (N/mm <sup>2</sup> )	$\tau_{\perp}$ (N/mm <sup>2</sup> )	$\tau_{  }$ (N/mm <sup>2</sup> )	Valor (N/mm <sup>2</sup> )	Aprov. (%)	$\sigma_{\perp}$ (N/mm <sup>2</sup> )	Aprov. (%)		
Soldadura del rigidizador inferior a las alas	66.6	66.6	7.4	133.9	34.69	66.6	20.31	410.0	0.85
Soldadura del rigidizador inferior al alma	0.0	0.0	127.5	220.8	57.21	0.0	0.00	410.0	0.85
Soldadura del rigidizador superior a las alas	54.0	54.0	7.0	108.6	28.15	54.0	16.45	410.0	0.85
Soldadura del rigidizador superior al alma	0.0	0.0	103.2	178.8	46.32	0.0	0.00	410.0	0.85
Soldadura del rigidizador inferior a las alas	66.6	66.6	7.4	133.7	34.66	66.6	20.29	410.0	0.85
Soldadura del rigidizador inferior al alma	0.0	0.0	127.9	221.6	57.42	0.0	0.00	410.0	0.85
Soldadura de la chapa de refuerzo al alma	La comprobación no procede.							410.0	0.85

2) Viga (a) IPE 600

Comprobaciones de resistencia					
Componente	Comprobación	Unidades	Pésimo	Resistente	Aprov. (%)
Chapa frontal	Tracción por flexión	kN	195.38	258.03	75.72
Ala	Compresión	kN	377.83	1110.73	34.02
	Tracción	kN	146.80	511.60	28.69
Alma	Tracción	kN	107.74	497.67	21.65

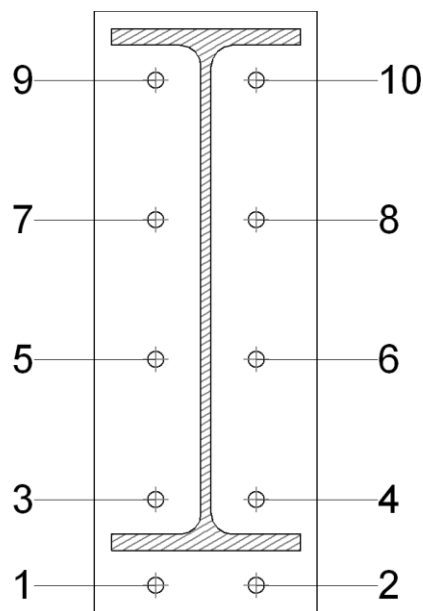
## Cordones de soldadura

Comprobaciones geométricas						
Ref.	Tipo	a (mm)	I (mm)	t (mm)	Ángulo (grados)	
Soldadura del ala superior	En ángulo	10	220	19.0	80.27	
Soldadura del alma	En ángulo	6	521	12.0	90.00	
Soldadura del ala inferior	En ángulo	10	220	19.0	80.27	

*a: Espesor garganta*  
*I: Longitud efectiva*  
*t: Espesor de piezas*

Comprobación de resistencia									
Ref.	Tensión de Von Mises					Tensión normal		$f_u$ (N/mm <sup>2</sup> )	$\beta_w$
	$\sigma_{\perp}$ (N/mm <sup>2</sup> )	$\tau_{\perp}$ (N/mm <sup>2</sup> )	$\tau_{  }$ (N/mm <sup>2</sup> )	Valor (N/mm <sup>2</sup> )	Aprov. (%)	$\sigma_{\perp}$ (N/mm <sup>2</sup> )	Aprov. (%)		
Soldadura del ala superior	55.0	65.3	4.5	126.0	32.64	58.7	17.88	410.0	0.85
Soldadura del alma	58.9	58.9	18.7	122.1	31.65	58.9	17.95	410.0	0.85
Soldadura del ala inferior	74.7	63.0	4.7	132.5	34.34	74.7	22.78	410.0	0.85

## Comprobaciones para los tornillos



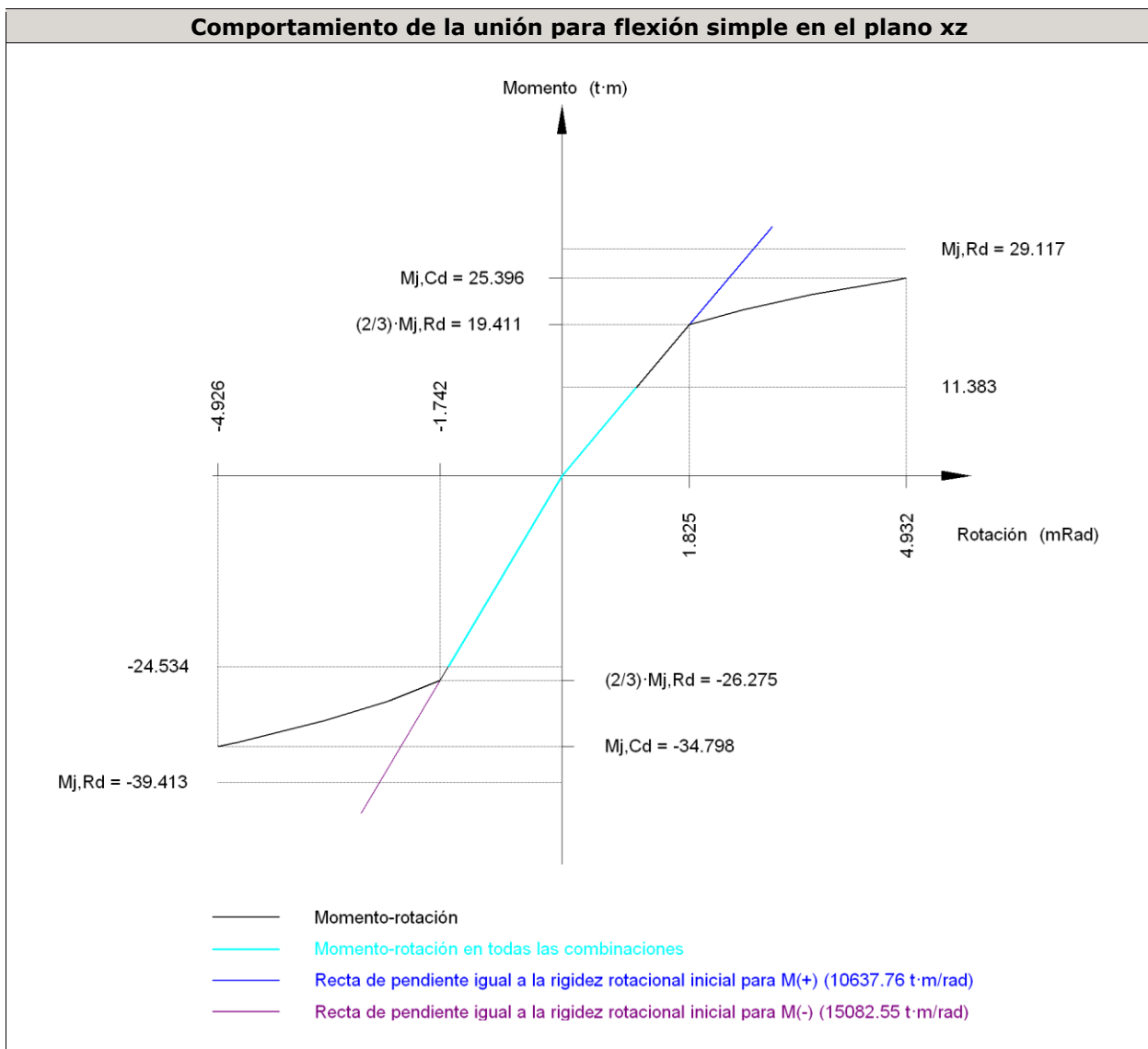
Disposición									
Tornillo	Denominación			$d_0$ (mm)	$e_1$ (mm)	$e_2$ (mm)	$p_1$ (mm)	$p_2$ (mm)	$m$ (mm)
1	ISO 4014-M20x80-8.8			22.0	35	72	100	117	35.0
2	ISO 4014-M20x80-8.8			22.0	35	72	100	117	35.0
3	ISO 4014-M20x80-8.8			22.0	--	72	100	117	40.6
4	ISO 4014-M20x80-8.8			22.0	--	72	100	117	40.6
5	ISO 4014-M20x80-8.8			22.0	--	72	163	117	43.5
6	ISO 4014-M20x80-8.8			22.0	--	72	163	117	43.5
7	ISO 4014-M20x80-8.8			22.0	--	72	163	117	43.5
8	ISO 4014-M20x80-8.8			22.0	--	72	163	117	43.5
9	ISO 4014-M20x80-8.8			22.0	--	72	163	117	40.6
10	ISO 4014-M20x80-8.8			22.0	--	72	163	117	40.6

--: La comprobación no procede.

Tornill o	Resistencia								Aprov. Máx. (%)	
	Cortante				Tracción					
	Comprobación	Pésimo (kN)	Resisten te (kN)	Apro v. (%)	Comprobació n	Pésimo (kN)	Resisten te (kN)	Apro v. (%)		
1	Sección transversal	36.29 7	100.531	36.1 1	Vástago	106.85 9	141.120	75.7 2	65.69	75.72
	Aplastamiento	36.29 7	287.000	12.6 5	Punzonamiento	106.85 9	340.548	31.3 8		
2	Sección transversal	36.29 7	100.531	36.1 1	Vástago	106.84 2	141.120	75.7 1	66.18	75.71
	Aplastamiento	36.29 7	287.000	12.6 5	Punzonamiento	106.84 2	340.548	31.3 7		
3	Sección transversal	13.58 8	100.531	13.5 2	Vástago	80.984	141.120	57.3 9	52.69	57.39

Resistencia										
Tornillo	Cortante				Tracción				Interacción tracción y cortante	Aprov. Máx. (%)
	Comprobación	Pésimo (kN)	Resistencia (kN)	Aprov. (%)	Comprobación	Pésimo (kN)	Resistencia (kN)	Aprov. (%)		
	Aplastamiento	13.588	287.000	4.73	Punzonamiento	80.984	340.548	23.78		
4	Sección transversal	13.085	100.531	13.02	Vástago	80.969	141.120	57.38	53.18	57.38
	Aplastamiento	13.085	287.000	4.56	Punzonamiento	80.969	340.548	23.78		
5	Sección transversal	14.622	100.531	14.54	Vástago	63.399	141.120	44.93	43.98	44.93
	Aplastamiento	14.622	287.000	5.09	Punzonamiento	63.399	340.548	18.62		
6	Sección transversal	14.622	100.531	14.54	Vástago	63.382	141.120	44.91	44.45	44.91
	Aplastamiento	14.622	287.000	5.09	Punzonamiento	63.382	340.548	18.61		
7	Sección transversal	14.622	100.531	14.54	Vástago	48.077	141.120	34.07	28.05	34.07
	Aplastamiento	14.622	287.000	5.09	Punzonamiento	48.077	340.548	14.12		
8	Sección transversal	14.622	100.531	14.54	Vástago	48.077	141.120	34.07	28.52	34.07
	Aplastamiento	14.622	287.000	5.09	Punzonamiento	48.077	340.548	14.12		
9	Sección transversal	52.217	100.531	51.94	Vástago	60.870	141.120	43.13	51.94	51.94
	Aplastamiento	52.217	287.000	18.19	Punzonamiento	60.870	340.548	17.87		
10	Sección transversal	52.217	100.531	51.94	Vástago	60.870	141.120	43.13	51.94	51.94
	Aplastamiento	52.217	287.000	18.19	Punzonamiento	60.870	340.548	17.87		

Rigidez rotacional inicial	Plano xy (t·m/rad)	Plano xz (t·m/rad)
Calculada para momentos positivos	4360.31	10637.76
Calculada para momentos negativos	4360.31	15082.55



Comprobación	Unidades	Pésimo	Resistente	Aprov. (%)
Relación entre modos 1 y 3	--	1.79	1.80	99.20
Momento resistente	kNm	240.68	386.64	62.25
Capacidad de rotación	mRad	330.216	667	49.53

3) Viga (c) HE 120 B

Comprobaciones de resistencia					
Componente	Comprobación	Unidades	Pésimo	Resistente	Aprov. (%)
Alma	Tensión de Von Mises	N/mm <sup>2</sup>	223.88	261.90	85.48

#### Cordones de soldadura

Comprobaciones geométricas					
Ref.	Tipo	a (mm)	I (mm)	t (mm)	Ángulo (grados)
Soldadura del alma	En ángulo	4	50	6.5	90.00

Comprobaciones geométricas									
Ref.	Tipo		a (mm)	I (mm)	t (mm)	Ángulo (grados)			
<i>a: Espesor garganta</i> <i>I: Longitud efectiva</i> <i>t: Espesor de piezas</i>									
Comprobación de resistencia									
Ref.	Tensión de Von Mises				Tensión normal				
	$\sigma_{\perp}$ (N/mm <sup>2</sup> )	$\tau_{\perp}$ (N/mm <sup>2</sup> )	$\tau_{  }$ (N/mm <sup>2</sup> )	Valor (N/mm <sup>2</sup> )	Aprov. (%)	$\sigma_{\perp}$ (N/mm <sup>2</sup> )			
Soldadura del alma	128.6	128.6	1.3	257.2	66.66	128.6	39.21	410.0	0.85

## 4) Viga (b) HE 120 B

Comprobaciones de resistencia					
Componente	Comprobación	Unidades	Pésimo	Resistente	Aprov. (%)
Alma	Tensión de Von Mises	N/mm <sup>2</sup>	223.88	261.90	85.48

## Cordones de soldadura

Comprobaciones geométricas									
Ref.	Tipo		a (mm)	I (mm)	t (mm)	Ángulo (grados)			
Soldadura del alma	En ángulo		4	50	6.5	90.00			
<i>a: Espesor garganta</i> <i>I: Longitud efectiva</i> <i>t: Espesor de piezas</i>									
Comprobación de resistencia									
Ref.	Tensión de Von Mises				Tensión normal				
	$\sigma_{\perp}$ (N/mm <sup>2</sup> )	$\tau_{\perp}$ (N/mm <sup>2</sup> )	$\tau_{  }$ (N/mm <sup>2</sup> )	Valor (N/mm <sup>2</sup> )	Aprov. (%)	$\sigma_{\perp}$ (N/mm <sup>2</sup> )			
Soldadura del alma	128.6	128.6	1.3	257.2	66.66	128.6	39.21	410.0	0.85

## d) Medición

Soldaduras				
$f_u$ (kp/cm <sup>2</sup> )	Ejecución	Tipo	Espesor de garganta (mm)	Longitud de cordones (mm)
4179.4	En taller	En ángulo	4	1416
			6	1043
			7	1385
			10	2373
	En el lugar de montaje	En ángulo	4	200

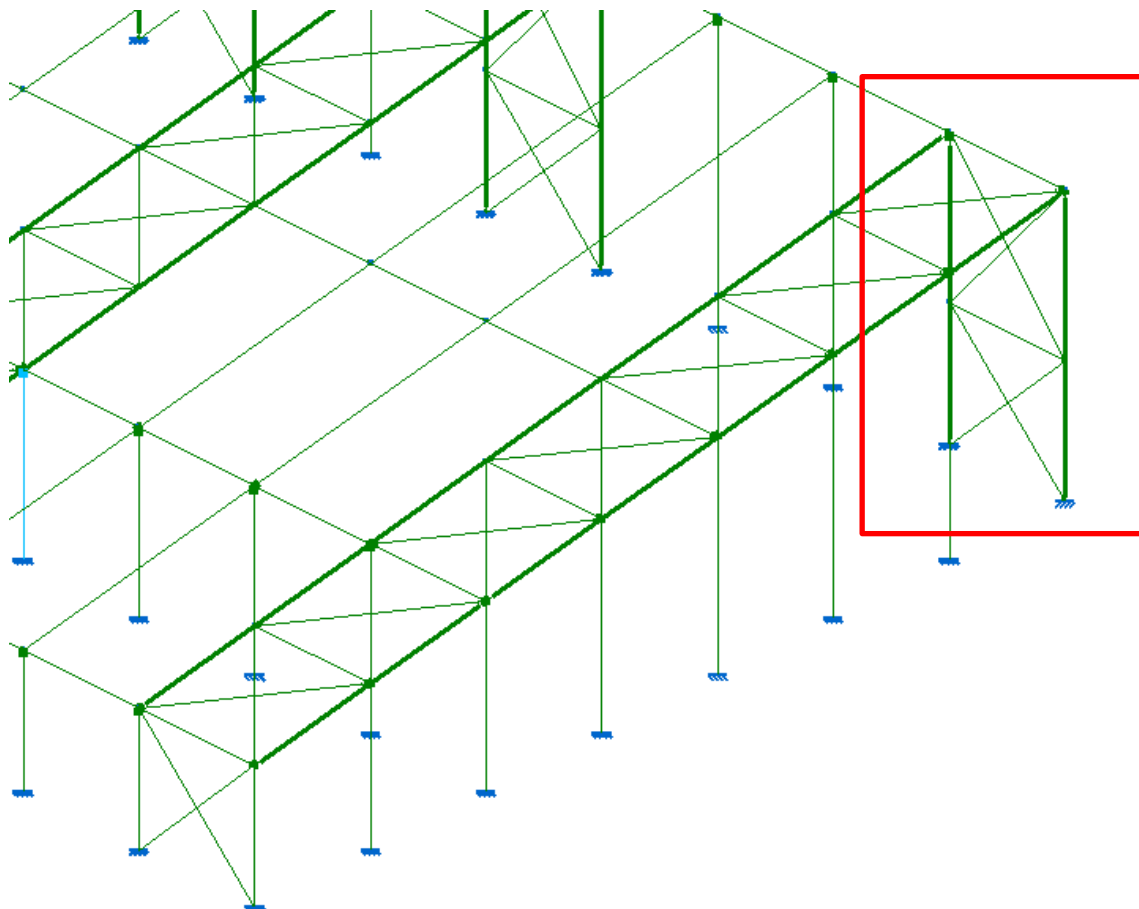
<b>Chapas</b>				
Material	Tipo	Cantidad	Dimensiones (mm)	Peso (kg)
S275	Rigidizadores	4	225x120x20	16.96
	Chapas	1	157x535x10	6.59
		1	260x705x20	28.78
			Total	52.33

<b>Elementos de tornillería</b>			
Tipo	Material	Cantidad	Descripción
Tornillos	Clase 8.8	10	ISO 4014-M20x80
Tuercas	Clase 8	10	ISO 4032-M20
Arandelas	Dureza 200 HV	20	ISO 7089-20

### 3.1.6.4.7 Arriostramendu sistema Portiko Hastialak (R20)

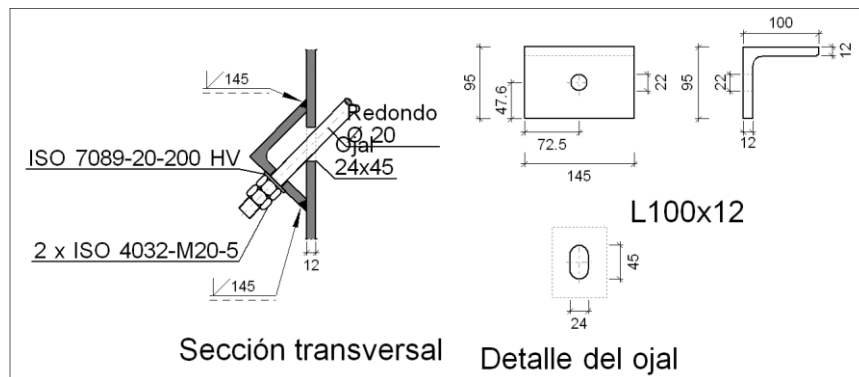
Hiru arriostramendu sekzio ezberdin erabili izan dira, portiko hastialetan bi arriostramendu mota eta hirugarren sekzio mota erdiko portikoetan.

Portiko hastialetan erabili izan diren arriostramendua R20 eta R14-ko sekzioak erabili izan dira. R20 sekziodun tirantean bakarrik erabili izan dira portiko hastialaren horma handiko arriostramendu eta puntu altueneko tiranteetan, hau da, eremu kritikoenean. Beste tirante guztiak R14-ko sekzioak dira.



3.55. Irudia. Arriostramendu sistemaren kokapena egitura R20

## a) Detalle

b) Comprobación  
1) L100x12 (S275)

Comprobación	Unidades	Pésimo	Resistente	Aprov. (%)
Cortante de la sección transversal	kN	35.87	223.19	16.07
Flector	--	--	--	65.64

## Cordones de soldadura

Comprobaciones geométricas												
Ref.	Tipo		Preparación de bordes (mm)		I (mm)							
Soldaduras a tope del angular a la pieza	A tope en bisel simple		12		145							
<i>I: Longitud efectiva</i>												
Comprobación de resistencia												
Ref.	Tensión de Von Mises			Tensión normal	$f_u$ (N/mm <sup>2</sup> )	$\beta_w$						
	$\sigma_{\perp}$ (N/mm <sup>2</sup> )	$\tau_{\perp}$ (N/mm <sup>2</sup> )	$\tau_{  }$ (N/mm <sup>2</sup> )	Valor (N/mm <sup>2</sup> )	Aprov. (%)							
Soldaduras a tope del angular a la pieza	La comprobación no procede.				410.0	0.85						

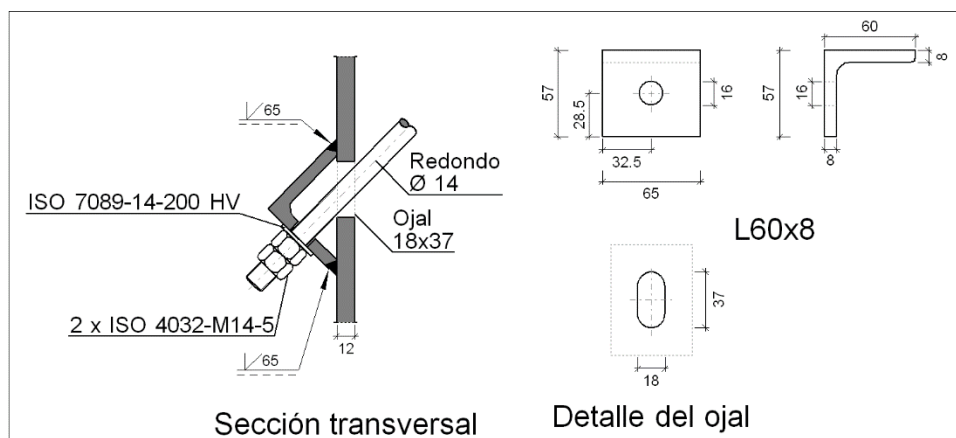
## c) Medición

Soldaduras				
$f_u$ (kp/cm <sup>2</sup> )	Ejecución	Tipo	Espesor de garganta (mm)	Longitud de cordones (mm)
4179.4	En taller	A tope en bisel simple	12	290
Angulares				
Material	Tipo		Descripción (mm)	Longitud (mm)
S275	Anclajes de tirantes		L100x12	145
				Total 2.57

Elementos de tornillería			
Tipo	Material	Cantidad	Descripción
Tuercas	Clase 5	2	ISO 4032-M20
Arandelas	Dureza 200 HV	1	ISO 7089-20

### 3.1.6.4.8 Arriostramendu sistema Portiko Hastialak (R14)

a) Detalle



b) Comprobación

1) L60x8 (S275)

Comprobación	Unidades	Pésimo	Resistente	Aprov. (%)
Cortante de la sección transversal	kN	9.78	59.27	16.49
Flector	--	--	--	54.51

#### Cordones de soldadura

Comprobaciones geométricas									
Ref.	Tipo		Preparación de bordes (mm)		I (mm)				
Soldaduras a tope del angular a la pieza	A tope en bisel simple		8		65				
<i>I: Longitud efectiva</i>									
Comprobación de resistencia									
Ref.	Tensión de Von Mises			Tensión normal					
	$\sigma_{\perp}$ (N/mm <sup>2</sup> )	$\tau_{\perp}$ (N/mm <sup>2</sup> )	$\tau_{  }$ (N/mm <sup>2</sup> )	Valor (N/mm <sup>2</sup> )	Aprov. (%)				
Soldaduras a tope del angular a la pieza	La comprobación no procede.			410.0	0.85				
	$f_u$ (N/mm <sup>2</sup> )	Aprov. (%)		$f_u$ (N/mm <sup>2</sup> )	$\beta_w$				

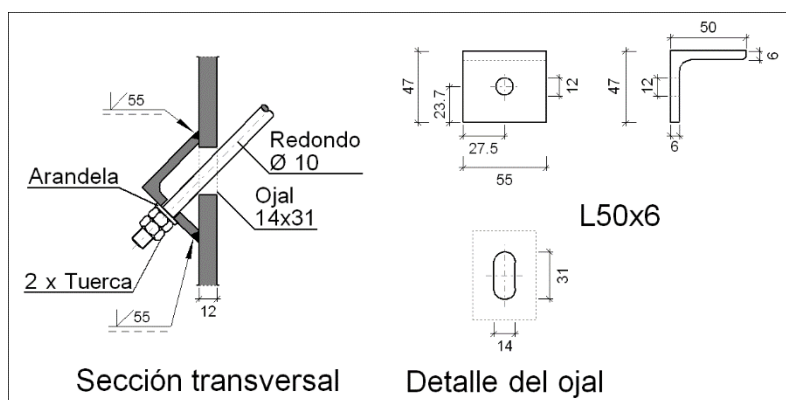
c) Medición

Soldaduras				
$f_u$ (kp/cm <sup>2</sup> )	Ejecución	Tipo	Espesor de garganta (mm)	Longitud de cordones (mm)
4179.4	En taller	A tope en bisel simple	8	130
Angulares				
Material	Tipo		Descripción (mm)	Longitud (mm)
S275	Anclajes de tirantes		L60x8	65
				Total 0.46

Elementos de tornillería			
Tipo	Material	Cantidad	Descripción
Tuercas	Clase 5	2	ISO 4032-M14
Arandelas	Dureza 200 HV	1	ISO 7089-14

### 3.1.6.4.9 Arriostramendu sistema Portiko Hastialak (R10)

a) Detalle



b) Comprobación  
1) L50x6 (S275)

Comprobación	Unidades	Pésimo	Resistente	Aprov. (%)
Cortante de la sección transversal	kN	6.60	39.01	16.93
Flector	--	--	--	60.31

## Cordones de soldadura

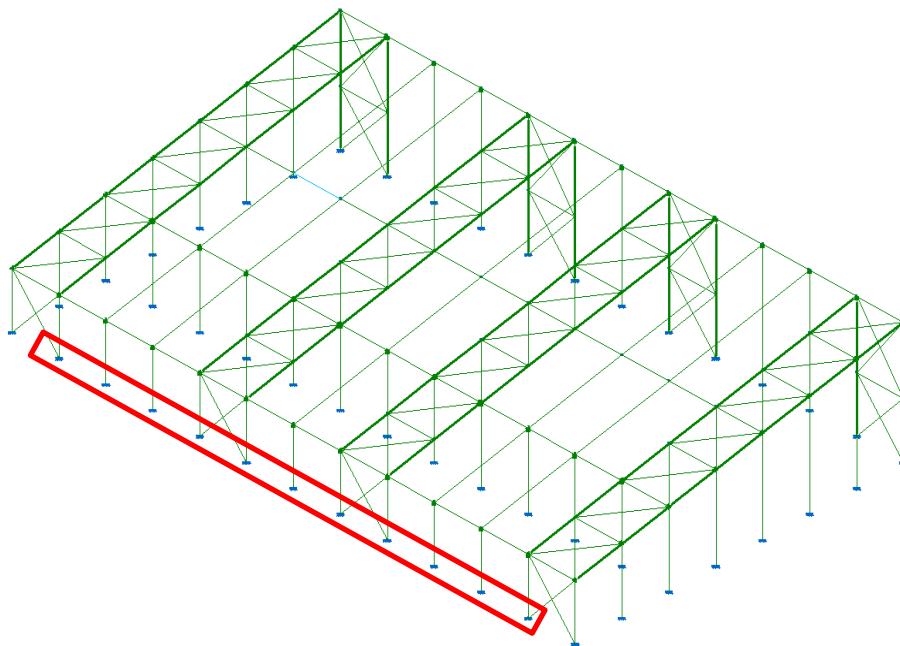
Comprobaciones geométricas													
Ref.	Tipo		Preparación de bordes (mm)		I (mm)								
Soldaduras a tope del angular a la pieza	A tope en bisel simple		6		55								
<i>I: Longitud efectiva</i>													
Comprobación de resistencia													
Ref.	Tensión de Von Mises				Tensión normal		$f_u$ (N/mm <sup>2</sup> )						
	$\sigma_{\perp}$ (N/mm <sup>2</sup> )	$\tau_{\perp}$ (N/mm <sup>2</sup> )	$\tau_{  }$ (N/mm <sup>2</sup> )	Valor (N/mm <sup>2</sup> )	Aprov. (%)	(%)							
Soldaduras a tope del angular a la pieza	La comprobación no procede.				410.0	0.85	$\beta_w$						

c) Medición

Soldaduras				
$f_u$ (kp/cm <sup>2</sup> )	Ejecución	Tipo	Espesor de garganta (mm)	Longitud de cordones (mm)
4179.4	En taller	A tope en bisel simple	6	110
Angulares				
Material	Tipo		Descripción (mm)	Longitud (mm)
S275	Anclajes de tirantes		L50x6	55
			Total	0.24
Elementos de tornillería no normalizados				
Tipo		Cantidad	Descripción	
Tuercas		2	T10	
Arandelas		1	A10	

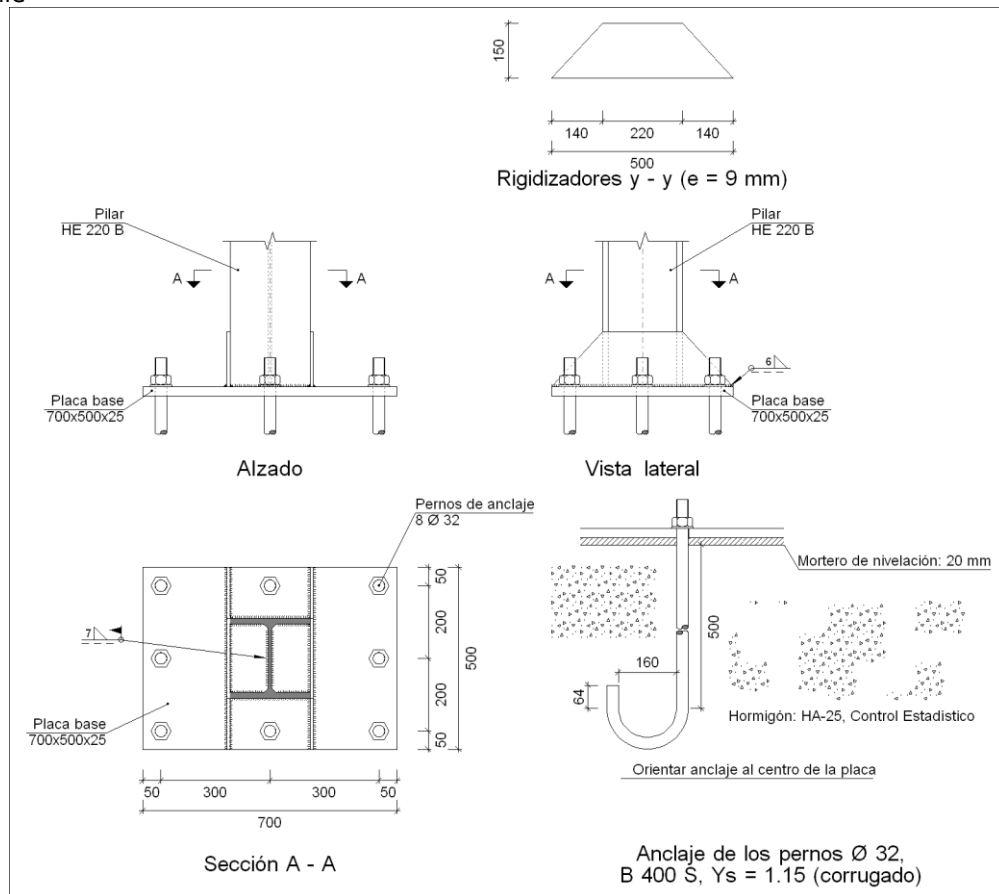
### 3.1.6.4.10 Hormigoizko eta zutabeen arteko lotura (I)

4 lotura ezberdin dimentsionatu dira zutabe eta zapaten arteko loturak egiteko. Lotura guztietan erabili izan dira azkoinak eta ainguraketa pernoak  $180^\circ$  tolestuta.

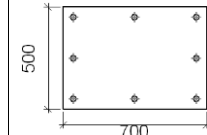
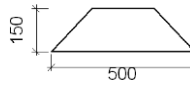


**3.56. Irudia. Hormigoizko eta zutabeen arteko lotura (I)**

a) Detalle



## b) Descripción de los componentes de la unión

Pieza	Elementos complementarios								
	Esquema	Geometría			Taladros		Acero		
		Ancho (mm)	Canto (mm)	Espesor (mm)	Cantidad	Diámetro (mm)	Tipo	$f_y$ (kp/cm <sup>2</sup> )	$f_u$ (kp/cm <sup>2</sup> )
Placa base		700	500	25	8	32	S275	2803.3	4179.4
Rigidizador		500	150	9	-	-	S275	2803.3	4179.4

## c) Comprobación

## 1) Pilar HE 220 B

## Cordones de soldadura

Comprobaciones geométricas									
Ref.		Tipo		a (mm)	I (mm)	t (mm)			
Soldadura perimetral a la placa		En ángulo		7	1093	9.5			
<i>a: Espesor garganta I: Longitud efectiva t: Espesor de piezas</i>									
Comprobación de resistencia									
Ref.	Tensión de Von Mises				Tensión normal				
	$\sigma_{\perp}$ (N/mm <sup>2</sup> )	$\tau_{\perp}$ (N/mm <sup>2</sup> )	$\tau_{  }$ (N/mm <sup>2</sup> )	Valor (N/mm <sup>2</sup> )	Aprov. (%)	$\sigma_{\perp}$ (N/mm <sup>2</sup> )	Aprov. (%)	$f_u$ (N/mm <sup>2</sup> )	$\beta_w$
Soldadura perimetral a la placa	La comprobación no procede.							410.0	0.85

## 2) Placa de anclaje

Referencia:	Valores	Estado
Comprobación		
Separación mínima entre pernos: 3 diámetros	Mínimo: 96 mm Calculado: 200 mm	Cumple

Referencia:	Valores	Estado
Comprobación		
Separación mínima pernos-perfil: <i>1.5 diámetros</i>	Mínimo: 48 mm Calculado: 91 mm	Cumple
Separación mínima pernos-borde: <i>1.5 diámetros</i>	Mínimo: 48 mm Calculado: 50 mm	Cumple
Esbeltez de rigidizadores: - Paralelos a Y:	Máximo: 50 Calculado: 39.5	Cumple
Longitud mínima del perno: <i>Se calcula la longitud de anclaje necesaria por adherencia.</i>	Mínimo: 32 cm Calculado: 50 cm	Cumple
Anclaje perno en hormigón: - Tracción:  - Cortante:  - Tracción + Cortante:	Máximo: 18.124 t Calculado: 15.017 t  Máximo: 12.686 t Calculado: 1.117 t  Máximo: 18.124 t Calculado: 16.613 t	Cumple Cumple Cumple
Tracción en vástago de pernos:	Máximo: 20.851 t Calculado: 14.179 t	Cumple
Tensión de Von Mises en vástago de pernos:	Máximo: 3883.31 kp/cm <sup>2</sup> Calculado: 1781.49 kp/cm <sup>2</sup>	Cumple
Aplastamiento perno en placa: <i>Límite del cortante en un perno actuando contra la placa</i>	Máximo: 42.716 t Calculado: 1.055 t	Cumple
Tensión de Von Mises en secciones globales: - Derecha:  - Izquierda:  - Arriba:  - Abajo:	Máximo: 2669.77 kp/cm <sup>2</sup> Calculado: 2301.38 kp/cm <sup>2</sup>  Calculado: 2282.42 kp/cm <sup>2</sup> Calculado: 2589.46 kp/cm <sup>2</sup>  Calculado: 2455.51 kp/cm <sup>2</sup>	Cumple Cumple Cumple Cumple
Flecha global equivalente: <i>Limitación de la deformabilidad de los vuelos</i>	Mínimo: 250  Calculado: 1117.82  Calculado: 1134.28  Calculado: 3947.35  Calculado: 3718.2	Cumple Cumple Cumple Cumple
Tensión de Von Mises local: <i>Tensión por tracción de pernos sobre placas en voladizo</i>	Máximo: 2669.77 kp/cm <sup>2</sup> Calculado: 1950.54 kp/cm <sup>2</sup>	Cumple
Se cumplen todas las comprobaciones		

## Cordones de soldadura

Comprobaciones geométricas					
Ref.	Tipo	a (mm)	l (mm)	t (mm)	Ángulo (grados)
Rigidizador y-y (x = -114): Soldadura a la placa base	En ángulo	6	500	9.0	90.00
Rigidizador y-y (x = 114): Soldadura a la placa base	En ángulo	6	500	9.0	90.00

<b>Comprobaciones geométricas</b>										
Ref.				Tipo	a (mm)	l (mm)	t (mm)			
<i>a: Espesor garganta l: Longitud efectiva t: Espesor de piezas</i>										
<b>Comprobación de resistencia</b>										
Ref.	Tensión de Von Mises			Tensión normal		$f_u$ (N/mm <sup>2</sup> )	$\beta_w$			
	$\sigma_{\perp}$ (N/mm <sup>2</sup> )	$\tau_{\perp}$ (N/mm <sup>2</sup> )	$\tau_{  }$ (N/mm <sup>2</sup> )	Valor (N/mm <sup>2</sup> )	Aprov. (%)	(N/mm <sup>2</sup> )				
Rigidizador y-y (x = -114): Soldadura a la placa base	La comprobación no procede.					410.0	0.85			
Rigidizador y-y (x = 114): Soldadura a la placa base	La comprobación no procede.					410.0	0.85			

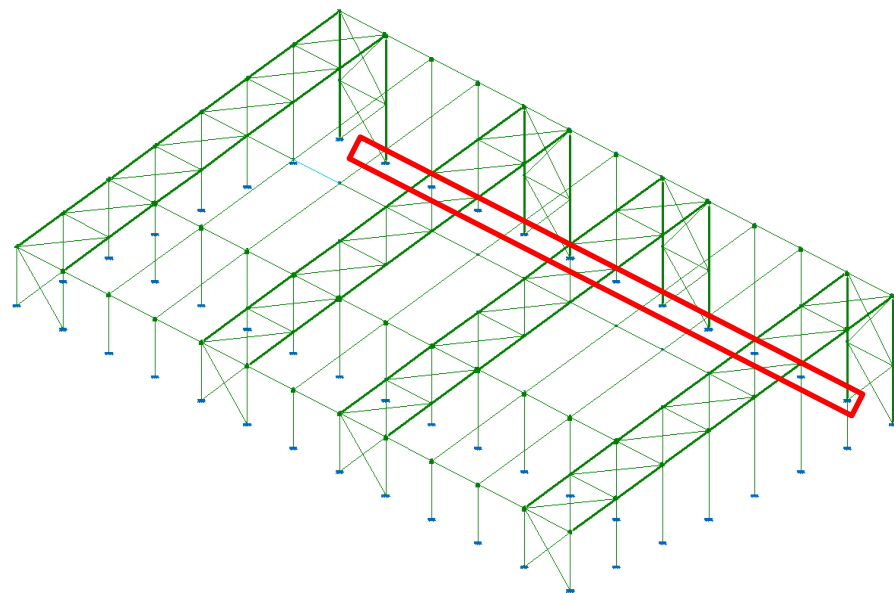
## d) Medición

<b>Soldaduras</b>				
$f_u$ (kp/cm <sup>2</sup> )	Ejecución	Tipo	Espesor de garganta (mm)	Longitud de cordones (mm)
4179.4	En taller	En ángulo	6	1936
	En el lugar de montaje	En ángulo	7	1093

<b>Elementos de tornillería no normalizados</b>			
Tipo	Cantidad	Descripción	
Tuercas	8	T32	
Arandelas	8	A32	

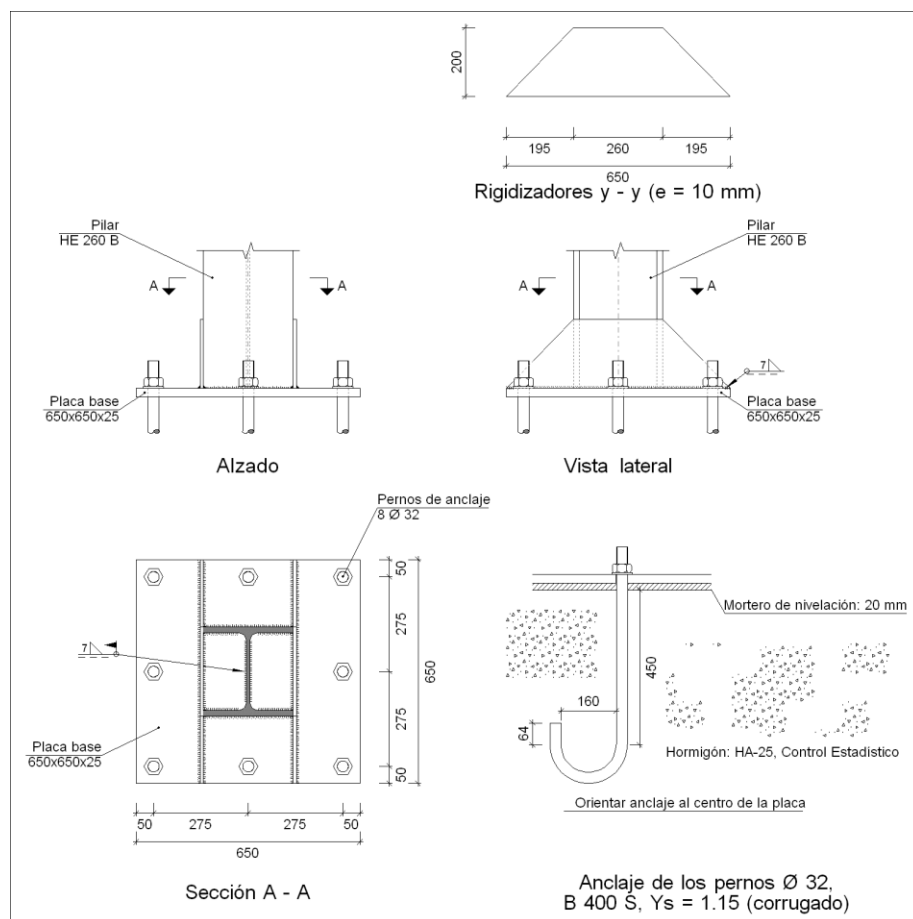
<b>Placas de anclaje</b>				
Material	Elementos	Cantidad	Dimensiones (mm)	Peso (kg)
S275	Placa base	1	700x500x25	68.69
	Rigidizadores pasantes	2	500/220x150/0x9	7.63
				Total 76.32
B 400 S, Ys = 1.15 (corrugado)	Pernos de anclaje	8	$\emptyset 32 - L = 577 + 366$	47.61
				Total 47.61

### 3.1.6.4.10 Hormigoizko eta zutabeen arteko lotura (II)

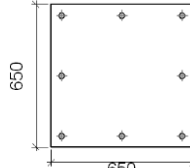
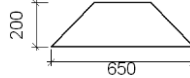


**3. 57. Irudia. Hormigoizko eta zutabeen arteko lotura (II)**

a)Detalle



## b) Descripción de los componentes de la unión

Pieza	Esquema	Geometría			Taladros		Acero		
		Ancho (mm)	Canto (mm)	Espesor (mm)	Cantidad	Diámetro (mm)	Tipo	$f_y$ (kp/cm <sup>2</sup> )	$f_u$ (kp/cm <sup>2</sup> )
Placa base		650	650	25	8	32	S275	2803.3	4179.4
Rigidizador		650	200	10	-	-	S275	2803.3	4179.4

## c) Comprobación

## 1) Pilar HE 260 B

## Cordones de soldadura

Comprobaciones geométricas								
Ref.	Tipo		a (mm)	I (mm)	t (mm)	Ángulo (grados)		
Soldadura perimetral a la placa	En ángulo		7	1278	10.0	90.00		
<i>a: Espesor garganta I: Longitud efectiva t: Espesor de piezas</i>								
Comprobación de resistencia								
Ref.	Tensión de Von Mises			Tensión normal				
Soldadura perimetral a la placa	$\sigma_{\perp}$ (N/mm <sup>2</sup> )	$\tau_{\perp}$ (N/mm <sup>2</sup> )	$\tau_{  }$ (N/mm <sup>2</sup> )	Valor (N/mm <sup>2</sup> )	Aprov. (%)	$\sigma_{\perp}$ (N/mm <sup>2</sup> )		
				La comprobación no procede.		$f_u$ (N/mm <sup>2</sup> )		
						410.0		
						0.85		

## 2) Placa de anclaje

Referencia:	Valores	Estado
Comprobación		
Separación mínima entre pernos: <i>3 diámetros</i>	Mínimo: 96 mm Calculado: 275 mm	Cumple
Separación mínima pernos-perfil: <i>1.5 diámetros</i>	Mínimo: 48 mm Calculado: 130 mm	Cumple
Separación mínima pernos-borde: <i>1.5 diámetros</i>	Mínimo: 48 mm Calculado: 50 mm	Cumple
Esbeltz de rigidizadores: - Paralelos a Y:	Máximo: 50 Calculado: 48.4	Cumple
Longitud mínima del perno: <i>Se calcula la longitud de anclaje necesaria por adherencia.</i>	Mínimo: 32 cm Calculado: 45 cm	Cumple
Anclaje perno en hormigón: - Tracción:	Máximo: 16.311 t Calculado: 14.654 t	Cumple
- Cortante:	Máximo: 11.418 t Calculado: 1.093 t	Cumple
- Tracción + Cortante:	Máximo: 16.311 t Calculado: 16.216 t	Cumple
Tracción en vástago de pernos:	Máximo: 20.851 t Calculado: 14.02 t	Cumple
Tensión de Von Mises en vástago de pernos:	Máximo: 3883.31 kp/cm <sup>2</sup> Calculado: 1759.83 kp/cm <sup>2</sup>	Cumple
Aplastamiento perno en placa: <i>Límite del cortante en un perno actuando contra la placa</i>	Máximo: 42.716 t Calculado: 1.026 t	Cumple
Tensión de Von Mises en secciones globales: - Derecha:	Máximo: 2669.77 kp/cm <sup>2</sup> Calculado: 2230.07 kp/cm <sup>2</sup>	Cumple

Referencia:		
Comprobación	Valores	Estado
- Izquierda:	Calculado: 2206.78 kp/cm <sup>2</sup>	Cumple
- Arriba:	Calculado: 1773.6 kp/cm <sup>2</sup>	Cumple
- Abajo:	Calculado: 2155.87 kp/cm <sup>2</sup>	Cumple
Flecha global equivalente: <i>Limitación de la deformabilidad de los vuelos</i>	Mínimo: 250	
- Derecha:	Calculado: 464.167	Cumple
- Izquierda:	Calculado: 473.008	Cumple
- Arriba:	Calculado: 4812.86	Cumple
- Abajo:	Calculado: 3473.96	Cumple
Tensión de Von Mises local: <i>Tensión por tracción de pernos sobre placas en voladizo</i>	Máximo: 2669.77 kp/cm <sup>2</sup> Calculado: 2381.54 kp/cm <sup>2</sup>	Cumple
Se cumplen todas las comprobaciones		

## Cordones de soldadura

Comprobaciones geométricas									
Ref.	Tipo		a (mm)	l (mm)	t (mm)	Ángulo (grados)			
Rigidizador y-y (x = -135): Soldadura a la placa base	En ángulo		7	650	10.0	90.00			
Rigidizador y-y (x = 135): Soldadura a la placa base	En ángulo		7	650	10.0	90.00			
<i>a: Espesor garganta l: Longitud efectiva t: Espesor de piezas</i>									
Comprobación de resistencia									
Ref.	Tensión de Von Mises			Tensión normal		$f_u$ (N/mm <sup>2</sup> )	$\beta_w$		
	$\sigma_{\perp}$ (N/mm <sup>2</sup> )	$\tau_{\perp}$ (N/mm <sup>2</sup> )	$\tau_{  }$ (N/mm <sup>2</sup> )	Valor (N/mm <sup>2</sup> )	Aprov. (%)	(N/mm <sup>2</sup> )			
Rigidizador y-y (x = -135): Soldadura a la placa base	La comprobación no procede.					410.0	0.85		
Rigidizador y-y (x = 135): Soldadura a la placa base	La comprobación no procede.					410.0	0.85		

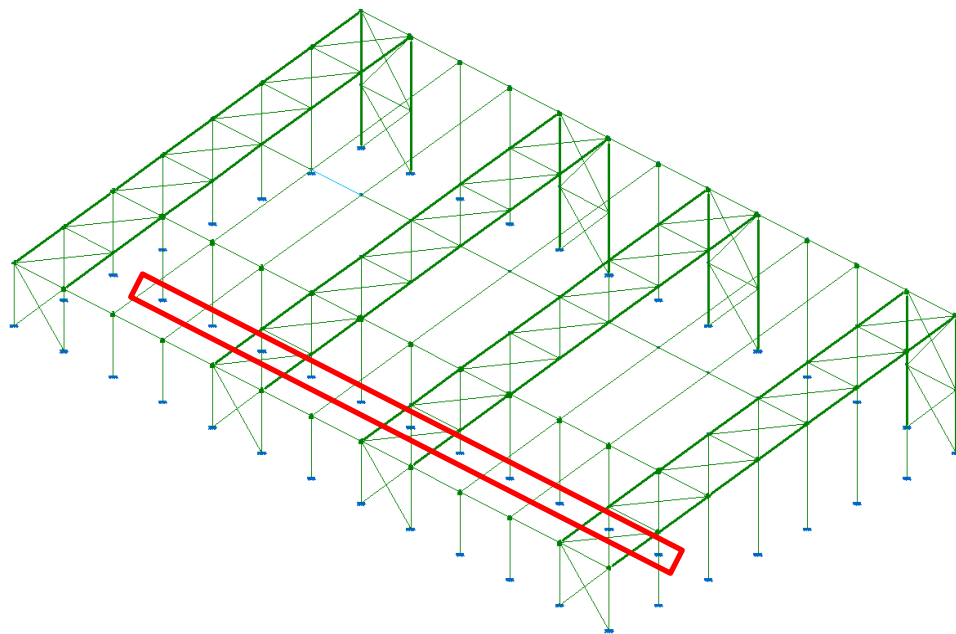
## d) Medición

Soldaduras				
$f_u$ (kp/cm <sup>2</sup> )	Ejecución	Tipo	Espesor de garganta (mm)	Longitud de cordones (mm)
4179.4	En taller	En ángulo	7	2530
	En el lugar de montaje	En ángulo	7	1278

Elementos de tornillería no normalizados		
Tipo	Cantidad	Descripción
Tuercas	8	T32
Arandelas	8	A32

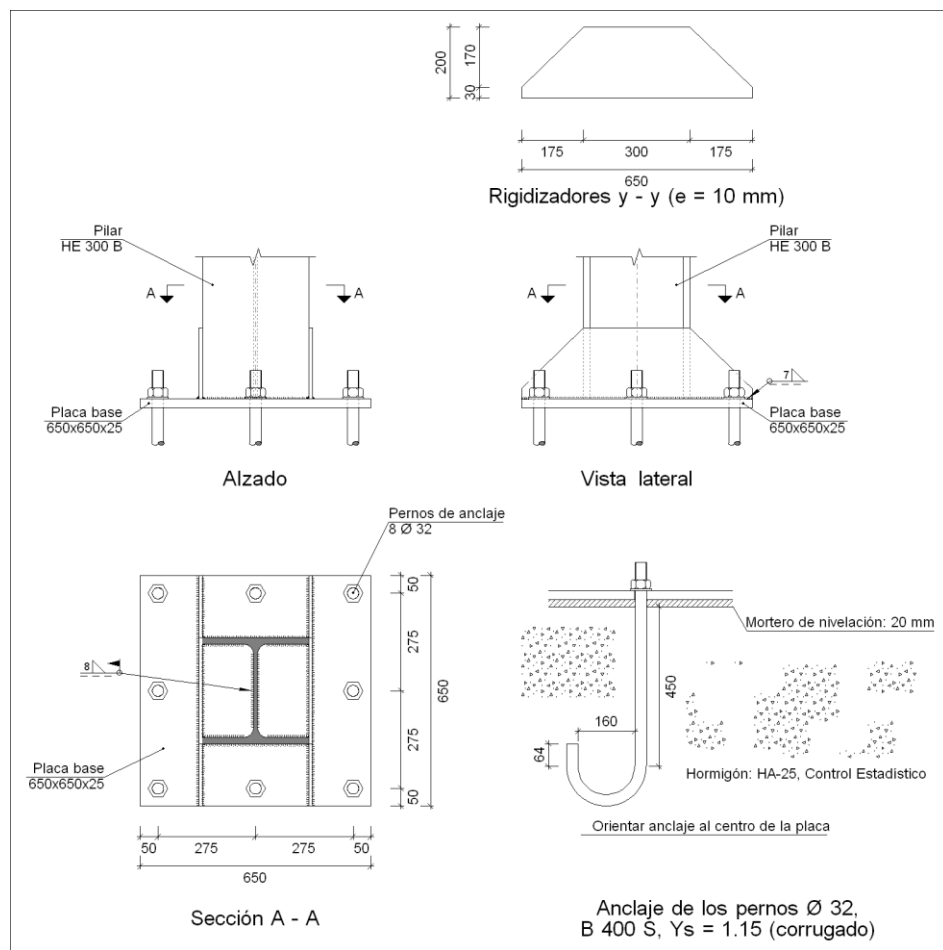
<b>Placas de anclaje</b>				
Material	Elementos	Cantidad	Dimensiones (mm)	Peso (kg)
S275	Placa base	1	650x650x25	82.92
	Rigidizadores pasantes	2	650/260x200/0x10	14.29
			Total	97.20
B 400 S, Ys = 1.15 (corrugado)	Pernos de anclaje	8	Ø 32 - L = 527 + 366	45.08
			Total	45.08

### 3.1.6.4.10 Hormigoizko eta zutabeen arteko lotura (III)

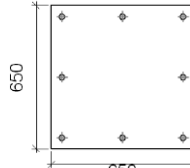
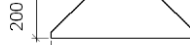


**3.58. Irudia. Hormigoizko eta zutabeen arteko lotura (III)**

a) Detalle



## b) Descripción de los componentes de la unión

Elementos complementarios									
Pieza	Esquema	Geometría			Taladros		Acero		
		Ancho (mm)	Canto (mm)	Espesor (mm)	Cantidad	Diámetro (mm)	Tipo	$f_y$ (kp/cm <sup>2</sup> )	$f_u$ (kp/cm <sup>2</sup> )
Placa base		650	650	25	8	32	S275	2803.3	4179.4
Rigidizador		650	200	10	-	-	S275	2803.3	4179.4

## c) Comprobación

## 1) Pilar HE 300 B

## Cordones de soldadura

Comprobaciones geométricas									
Ref.	Tipo		a (mm)	I (mm)	t (mm)	Ángulo (grados)			
Soldadura perimetral a la placa	En ángulo		8	1486	11.0	90.00			
<i>a: Espesor garganta I: Longitud efectiva t: Espesor de piezas</i>									
Comprobación de resistencia									
Ref.	$\sigma_{\perp}$ (N/mm <sup>2</sup> )	$\tau_{\perp}$ (N/mm <sup>2</sup> )	$\tau_{  }$ (N/mm <sup>2</sup> )	Valor (N/mm <sup>2</sup> )	Aprov. (%)	$\sigma_{\perp}$ (N/mm <sup>2</sup> )	Aprov. (%)	$f_u$ (N/mm <sup>2</sup> )	$\beta_w$
Soldadura perimetral a la placa	La comprobación no procede.							410.0	0.85

## 2) Placa de anclaje

Referencia:	Valores	Estado
Comprobación		
Separación mínima entre pernos: <i>3 diámetros</i>	Mínimo: 96 mm Calculado: 275 mm	Cumple
Separación mínima pernos-perfil: <i>1.5 diámetros</i>	Mínimo: 48 mm Calculado: 116 mm	Cumple
Separación mínima pernos-borde: <i>1.5 diámetros</i>	Mínimo: 48 mm Calculado: 50 mm	Cumple
Esbeltz de rigidizadores: - Paralelos a Y:	Máximo: 50 Calculado: 46	Cumple

Referencia:		Valores			Estado
<b>Comprobación</b>					
Longitud mínima del perno: <i>Se calcula la longitud de anclaje necesaria por adherencia.</i>		Mínimo: 32 cm Calculado: 45 cm			Cumple
Anclaje perno en hormigón: - Tracción: - Cortante: - Tracción + Cortante:		Máximo: 16.311 t Calculado: 14.925 t Máximo: 11.418 t Calculado: 0.686 t Máximo: 16.311 t Calculado: 15.906 t			Cumple Cumple Cumple
Tracción en vástago de pernos:		Máximo: 20.851 t Calculado: 14.017 t			Cumple
Tensión de Von Mises en vástago de pernos:		Máximo: 3883.31 kp/cm <sup>2</sup> Calculado: 1748.1 kp/cm <sup>2</sup>			Cumple
Aplastamiento perno en placa: <i>Límite del cortante en un perno actuando contra la placa</i>		Máximo: 42.716 t Calculado: 0.628 t			Cumple
Tensión de Von Mises en secciones globales: - Derecha: - Izquierda: - Arriba: - Abajo:		Máximo: 2669.77 kp/cm <sup>2</sup> Calculado: 2577.56 kp/cm <sup>2</sup> Calculado: 2557.89 kp/cm <sup>2</sup> Calculado: 1305.82 kp/cm <sup>2</sup> Calculado: 1865.27 kp/cm <sup>2</sup>			Cumple Cumple Cumple Cumple
Flecha global equivalente: <i>Limitación de la deformabilidad de los vuelos</i>		Mínimo: 250 Calculado: 325.03			
- Derecha: - Izquierda: - Arriba: - Abajo:		Calculado: 330.112 Calculado: 7563.25 Calculado: 4648			Cumple Cumple Cumple Cumple
Tensión de Von Mises local: <i>Tensión por tracción de pernos sobre placas en voladizo</i>		Máximo: 2669.77 kp/cm <sup>2</sup> Calculado: 2346.69 kp/cm <sup>2</sup>			Cumple
Se cumplen todas las comprobaciones					

## Cordones de soldadura

Comprobaciones geométricas								
Ref.	Tipo		a (mm)	l (mm)	t (mm)	Ángulo (grados)		
Rigidizador y-y (x = -155): Soldadura a la placa base	En ángulo		7	650	10.0	90.00		
Rigidizador y-y (x = 155): Soldadura a la placa base	En ángulo		7	650	10.0	90.00		
<i>a: Espesor garganta l: Longitud efectiva t: Espesor de piezas</i>								
Comprobación de resistencia								
Ref.	Tensión de Von Mises			Tensión normal		$f_u$ (N/mm <sup>2</sup> )		
	$\sigma_{\perp}$ (N/mm <sup>2</sup> )	$\tau_{\perp}$ (N/mm <sup>2</sup> )	$\tau_{  }$ (N/mm <sup>2</sup> )	Valor (N/mm <sup>2</sup> )	Aprov. (%)			
Rigidizador y-y (x = -155): Soldadura a la placa base	La comprobación no procede.			410.0	0.85			

Comprobación de resistencia									
Ref.	Tensión de Von Mises					Tensión normal		$f_u$ (N/mm <sup>2</sup> )	$\beta_w$
	$\sigma_{\perp}$ (N/mm <sup>2</sup> )	$\tau_{\perp}$ (N/mm <sup>2</sup> )	$\tau_{II}$ (N/mm <sup>2</sup> )	Valor (N/mm <sup>2</sup> )	Aprov. (%)	$\sigma_{\perp}$ (N/mm <sup>2</sup> )	Aprov. (%)		
Rigidizador y-y (x = 155): Soldadura a la placa base	La comprobación no procede.					410.0	0.85		

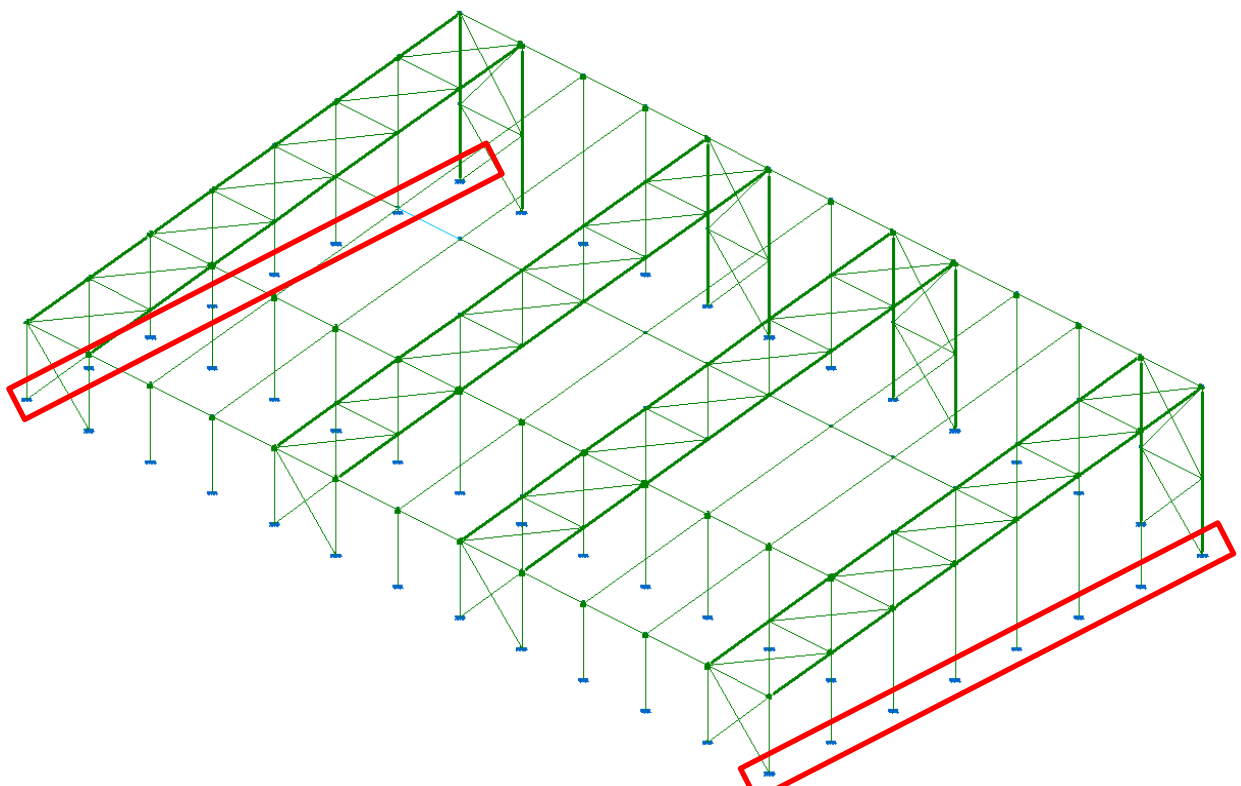
d) Medición

Soldaduras				
$f_u$ (kp/cm <sup>2</sup> )	Ejecución	Tipo	Espesor de garganta (mm)	Longitud de cordones (mm)
4179.4	En taller	En ángulo	7	2524
	En el lugar de montaje	En ángulo	8	1486

Elementos de tornillería no normalizados			
Tipo	Cantidad	Descripción	
Tuercas	8	T32	
Arandelas	8	A32	

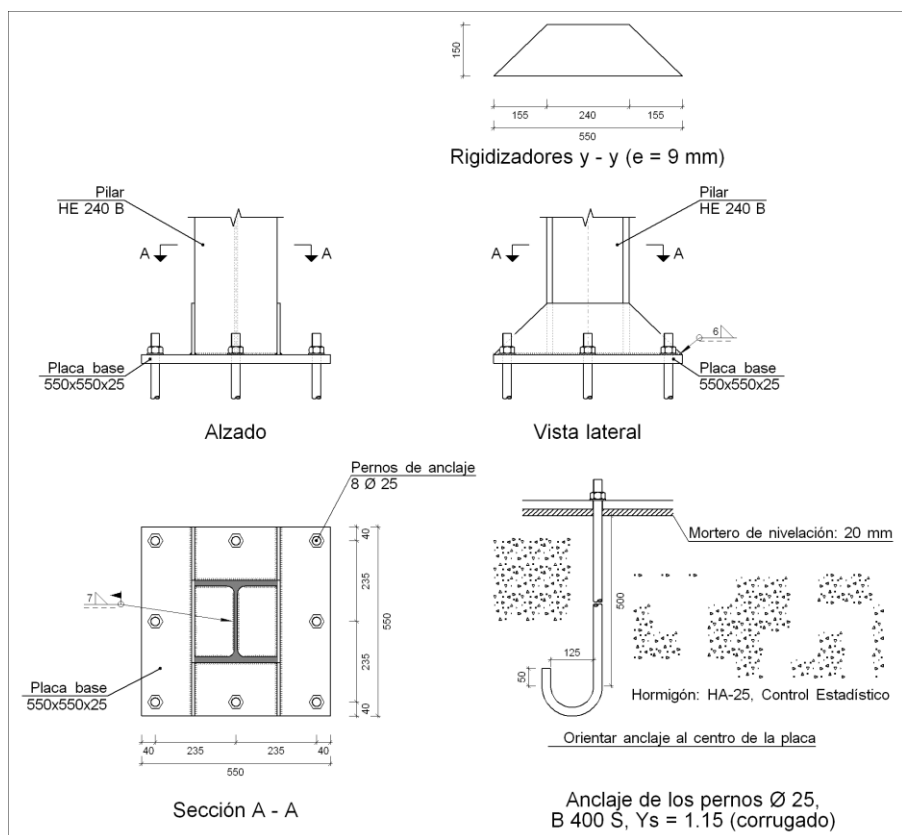
Placas de anclaje				
Material	Elementos	Cantidad	Dimensiones (mm)	Peso (kg)
S275	Placa base	1	650x650x25	82.92
	Rigidizadores pasantes	2	650/300x200/30x10	15.74
				Total 98.65
B 400 S, Y <sub>s</sub> = 1.15 (corrugado)	Pernos de anclaje	8	Ø 32 - L = 527 + 366	45.08
				Total 45.08

### 3.1.6.4.10 Hormigoizko eta zutabeen arteko lotura (IV)



**3.59. Irudia. Hormigoizko eta zutabeen arteko lotura (IV)**

a) Detalle



## b) Descripción de los componentes de la unión

Pieza	Elementos complementarios								
	Esquema	Geometría			Taladros		Acero		
		Ancho (mm)	Canto (mm)	Espesor (mm)	Cantidad	Diámetro (mm)	Tipo	$f_y$ (kp/cm <sup>2</sup> )	$f_u$ (kp/cm <sup>2</sup> )
Placa base		550	550	25	8	25	S275	2803.3	4179.4
Rigidizador		550	150	9	-	-	S275	2803.3	4179.4

## c) Comprobación

## 1) Pilar HE 240 B

## Cordones de soldadura

Comprobaciones geométricas								
Ref.	Tipo		a (mm)	I (mm)	t (mm)	Ángulo (grados)		
Soldadura perimetral a la placa	En ángulo		7	1184	10.0	90.00		
<i>a: Espesor garganta l: Longitud efectiva t: Espesor de piezas</i>								
Comprobación de resistencia								
Ref.	Tensión de Von Mises				Tensión normal			
	$\sigma_{\perp}$ (N/mm <sup>2</sup> )	$\tau_{\perp}$ (N/mm <sup>2</sup> )	$\tau_{II}$ (N/mm <sup>2</sup> )	Valor (N/mm <sup>2</sup> )	Aprov. (%)	$f_u$ (N/mm <sup>2</sup> )		
Soldadura perimetral a la placa	La comprobación no procede.					410.0 0.85		
				$\sigma_{\perp}$ (N/mm <sup>2</sup> )	Aprov. (%)	$\beta_w$		

## 2) Placa de anclaje

Referencia:	Valores	Estado
Comprobación		
Separación mínima entre pernos: <i>3 diámetros</i>	Mínimo: 75 mm Calculado: 236 mm	Cumple
Separación mínima pernos-perfil: <i>1.5 diámetros</i>	Mínimo: 37 mm Calculado: 107 mm	Cumple
Separación mínima pernos-borde: <i>1.5 diámetros</i>	Mínimo: 37 mm Calculado: 40 mm	Cumple

Referencia:		
Comprobación	Valores	Estado
Esbeltez de rigidizadores: - Paralelos a Y:	Máximo: 50 Calculado: 41.5	Cumple
Longitud mínima del perno: <i>Se calcula la longitud de anclaje necesaria por adherencia.</i>	Mínimo: 25 cm Calculado: 50 cm	Cumple
Anclaje perno en hormigón: - Tracción:  - Cortante:  - Tracción + Cortante:	Máximo: 14.159 t Calculado: 12.321 t  Máximo: 9.911 t Calculado: 0.995 t  Máximo: 14.159 t Calculado: 13.743 t	Cumple Cumple Cumple
Tracción en vástago de pernos:	Máximo: 12.734 t Calculado: 11.576 t	Cumple
Tensión de Von Mises en vástago de pernos:	Máximo: 3883.31 kp/cm <sup>2</sup> Calculado: 2385.89 kp/cm <sup>2</sup>	Cumple
Aplastamiento perno en placa: <i>Límite del cortante en un perno actuando contra la placa</i>	Máximo: 33.372 t Calculado: 0.933 t	Cumple
Tensión de Von Mises en secciones globales: - Derecha: - Izquierda: - Arriba: - Abajo:	Máximo: 2669.77 kp/cm <sup>2</sup> Calculado: 2269.59 kp/cm <sup>2</sup> Calculado: 1616.8 kp/cm <sup>2</sup> Calculado: 2275.68 kp/cm <sup>2</sup> Calculado: 2455.8 kp/cm <sup>2</sup>	Cumple Cumple Cumple Cumple Cumple
Flecha global equivalente: <i>Limitación de la deformabilidad de los vuelos</i> - Derecha: - Izquierda: - Arriba: - Abajo:	Mínimo: 250 Calculado: 364.371 Calculado: 896.55 Calculado: 3238.55 Calculado: 2982.22	Cumple Cumple Cumple Cumple Cumple
Tensión de Von Mises local: <i>Tensión por tracción de pernos sobre placas en voladizo</i>	Máximo: 2669.77 kp/cm <sup>2</sup> Calculado: 1915.35 kp/cm <sup>2</sup>	Cumple
Se cumplen todas las comprobaciones		

## Cordones de soldadura

Comprobaciones geométricas						
Ref.	Tipo	a (mm)	l (mm)	t (mm)	Ángulo (grados)	
Rigidizador y-y (x = -125): Soldadura a la placa base	En ángulo	6	550	9.0	90.00	
Rigidizador y-y (x = 125): Soldadura a la placa base	En ángulo	6	550	9.0	90.00	
<i>a: Espesor garganta l: Longitud efectiva t: Espesor de piezas</i>						

Comprobación de resistencia									
Ref.	Tensión de Von Mises					Tensión normal		$f_u$ (N/mm <sup>2</sup> )	$\beta_w$
	$\sigma_{\perp}$ (N/mm <sup>2</sup> )	$\tau_{\perp}$ (N/mm <sup>2</sup> )	$\tau_{II}$ (N/mm <sup>2</sup> )	Valor (N/mm <sup>2</sup> )	Aprov. (%)	$\sigma_{\perp}$ (N/mm <sup>2</sup> )	Aprov. (%)		
Rigidizador y-y (x = -125): Soldadura a la placa base	La comprobación no procede.							410.0	0.85
Rigidizador y-y (x = 125): Soldadura a la placa base	La comprobación no procede.							410.0	0.85

## d) Medición

Soldaduras				
$f_u$ (kp/cm <sup>2</sup> )	Ejecución	Tipo	Espesor de garganta (mm)	Longitud de cordones (mm)
4179.4	En taller	En ángulo	6	2132
	En el lugar de montaje	En ángulo	7	1184

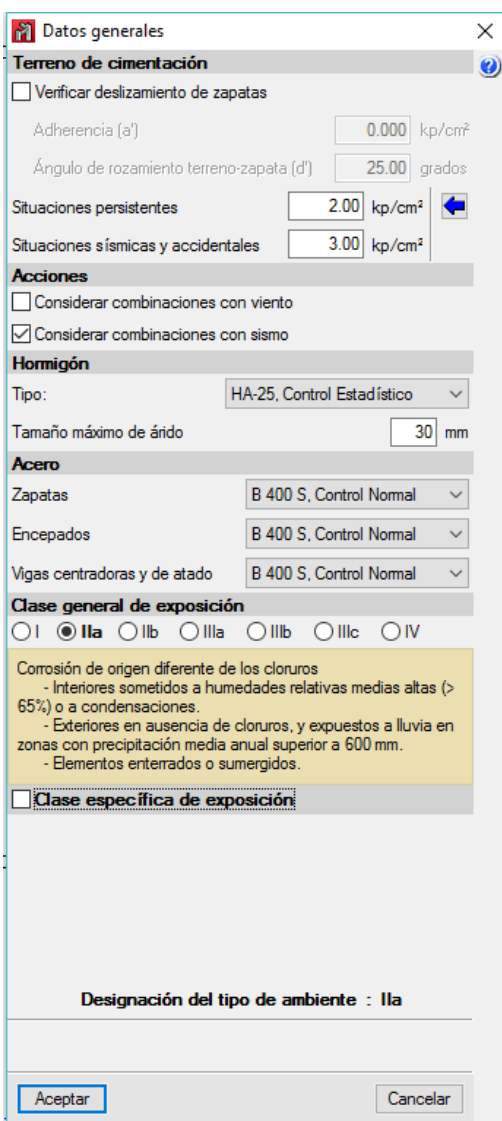
Elementos de tornillería no normalizados		
Tipo	Cantidad	Descripción
Tuercas	8	T25
Arandelas	8	A25

Placas de anclaje				
Material	Elementos	Cantidad	Dimensiones (mm)	Peso (kg)
S275	Placa base	1	550x550x25	59.37
	Rigidizadores pasantes	2	550/240x150/0x9	8.37
			Total	67.74
B 400 S, Ys = 1.15 (corrugado)	Pernos de anclaje	8	Ø 25 - L = 570 + 286	26.38
			Total	26.38

### 3.1.7 KALKULU PROGRAMEN BIDEZKO HORMIGOIZKO EGITURAREN

Alzairuzko egitura definitu izan denean CYPE softwarearen bitartez dimentsionatuko hormigoizko egitura. CYPE 3D erabiliko da, alzairuzko egitura definitzeko erabili izan den erremienta berdina. Bete behar diren baldintzak aurretik definitu izan dira alzairuzko egitura kalkulatzeko.

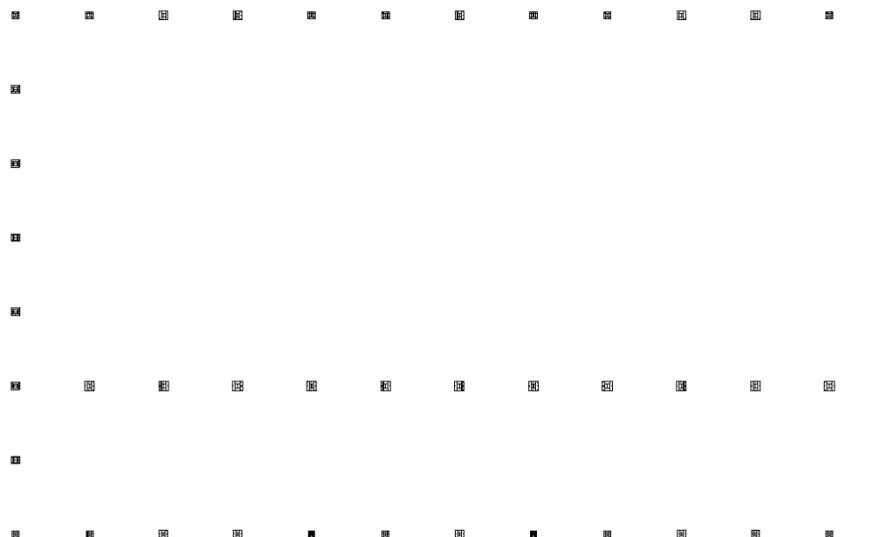
Hurrengo irudian aurkezten dira erabili izan diren datu generalak hormigoizko egitura dimentsionatzeko.



3.60. Irudia. Kalkulu programen bitarteko “Datos generales” leioha

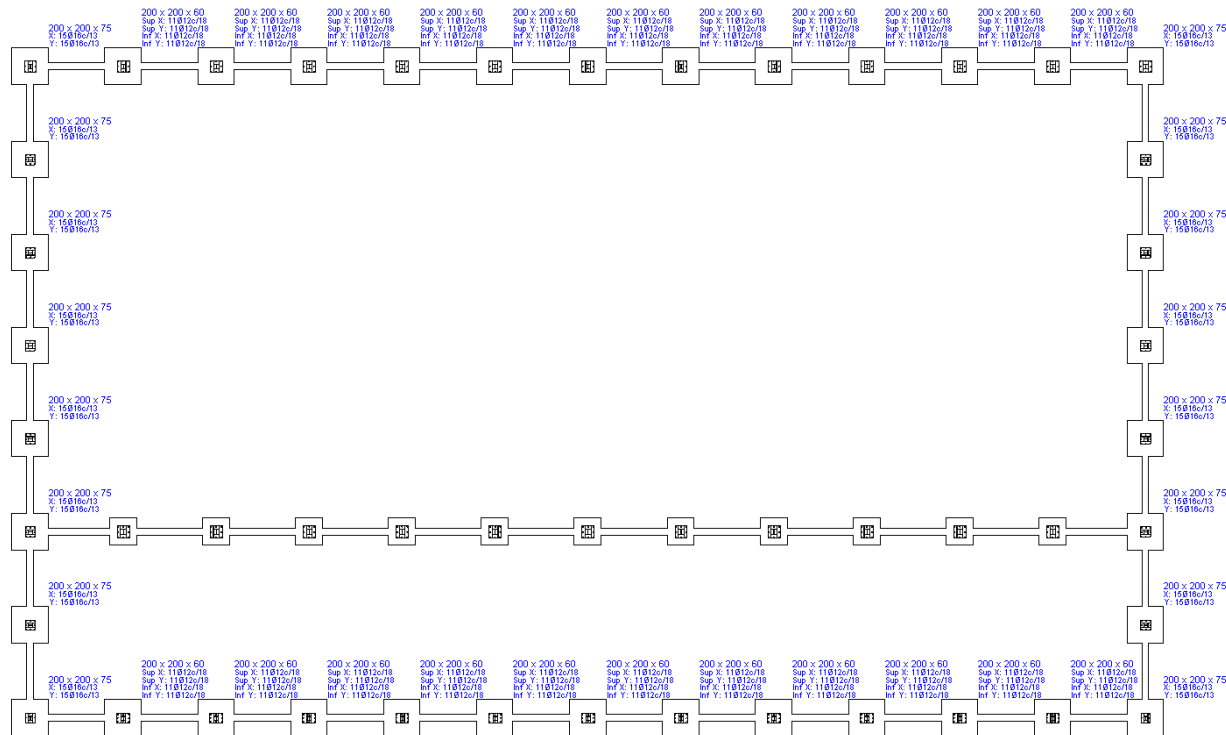
### 3.1.7.1 ZAPATEN DIMENTSIONAMENDUA

Parametro guztiak definitzen direnean, zapatak eta lotura habeak dimentsionatuko dira, hauek egitura jasango dituzten kargak eta egiturako berezko elementuen pisua jasan beharko dute. Hurrengo irudian aurkeztuko dira zapaten kokalekua eta ondoren aztertuko dira erabiliko diren zapata mota taldeak eta zutabe habeen dimentsioak.



**3.61. Irudia. Zimendapen zapatak kokatuko diren puntuen eskema**

Ondoren, zapatak dimentsionatu izan dira, taldeka kokatuz. Bilatu egin da neurri ezberdineko taldeetan antolatzearaiketa akzioak errazteko, nahiz eta zenbait kasuetan gain dimentsionatu izan dira eraiketa akzioak erraztu izan dira.



**3.62. Irudia. Zimendapen zapaten eskema**

CYPE softwarearen bidez frogatu izan dira lortutako dimentsioak, ondoren 4 zapata talde ezberdinan banatu izan dira hormigoizko egiturak agertzen diren zapatak. Hurrengo taulan agertuko dira erabili izan diren zapatak:

ZAPATEN EZAGARRI TAULA						
Erreferentzia	Dimentsoak (cm)	Lodiera (cm)	Behe armadura X	Behe armadura Y	Goi armadura X	Goi armadura Y
A zapata	200*200	75	Ø16c/13	Ø16c/13		
B zapata	200*200	60	Ø12c/18	Ø12c/18	Ø12c/18	Ø12c/18
C zapata	150*150	60	Ø25c/27	Ø25c/27		

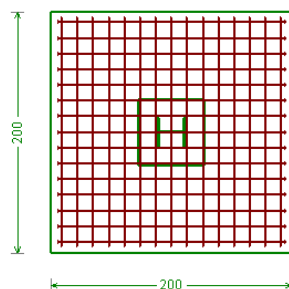
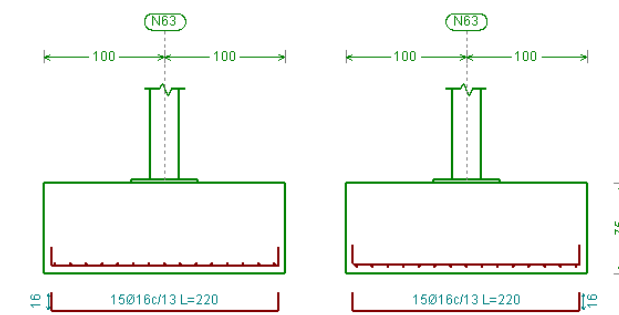
3.22. Taula. Zapaten ezaugarriak

### 3.1.7.1.1 A motako zapata

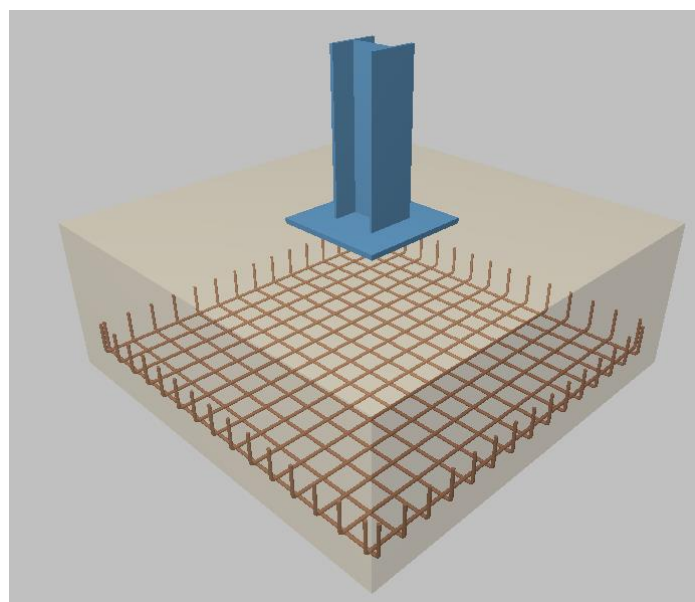
Referencia: N62 Dimensiones: 200 x 200 x 75 Armados: Xi:Ø16c/13 Yi:Ø16c/13 Comprobación	Valores	Estado
Tensiones sobre el terreno: <i>Criterio de CYPE Ingenieros</i> - Tensión media en situaciones persistentes: - Tensión máxima en situaciones persistentes:	Máximo: 2 kp/cm <sup>2</sup> Calculado: 0.275 kp/cm <sup>2</sup> Máximo: 2.5 kp/cm <sup>2</sup> Calculado: 0.398 kp/cm <sup>2</sup>	Cumple Cumple
Vuelco de la zapata: <i>Si el % de reserva de seguridad es mayor que cero, quiere decir que los coeficientes de seguridad al vuelco son mayores que los valores estrictos exigidos para todas las combinaciones de equilibrio.</i> - En dirección X: - En dirección Y:	Reserva seguridad: 629.7 % Reserva seguridad: 8357.8 %	Cumple Cumple
Flexión en la zapata: - En dirección X: - En dirección Y:	Momento: 1.49 t·m Momento: 0.86 t·m	Cumple Cumple
Cortante en la zapata: - En dirección X: - En dirección Y:	Cortante: 0.63 t Cortante: 0.33 t	Cumple Cumple

Referencia: N62	Valores	Estado
Dimensiones: 200 x 200 x 75		
Armados: Xi:Ø16c/13 Yi:Ø16c/13		
Comprobación		
Compresión oblicua en la zapata: - Situaciones persistentes: <i>Criterio de CYPE Ingenieros</i>	Máximo: 509.68 t/m <sup>2</sup> Calculado: 3.78 t/m <sup>2</sup>	Cumple
Canto mínimo: <i>Artículo 59.8.1 de la norma EHE-98</i>	Mínimo: 25 cm Calculado: 75 cm	Cumple
Espacio para anclar arranques en cimentación: - N62:	Mínimo: 49 cm Calculado: 67 cm	Cumple
Cuantía geométrica mínima: <i>Criterio de CYPE Ingenieros</i> - En dirección X: - En dirección Y:	Mínimo: 0.002 Calculado: 0.0021 Calculado: 0.0021	Cumple Cumple
Cuantía mínima necesaria por flexión: <i>Artículo 42.3.2 de la norma EHE-98</i> - Armado inferior dirección X: - Armado inferior dirección Y:	Mínimo: 0.0001 Calculado: 0.0021 Calculado: 0.0021	Cumple Cumple
Diámetro mínimo de las barras: - Parrilla inferior: <i>Recomendación del Artículo 59.8.2 (norma EHE-98)</i>	Mínimo: 12 mm Calculado: 16 mm	Cumple
Separación máxima entre barras: <i>Artículo 59.8.2 de la norma EHE-98</i> - Armado inferior dirección X: - Armado inferior dirección Y:	Máximo: 30 cm Calculado: 13 cm Calculado: 13 cm	Cumple Cumple
Separación mínima entre barras: <i>Criterio de CYPE Ingenieros, basado en: J. Calavera. "Cálculo de Estructuras de Cimentación". Capítulo 3.16</i> - Armado inferior dirección X: - Armado inferior dirección Y:	Mínimo: 10 cm Calculado: 13 cm Calculado: 13 cm	Cumple Cumple
Longitud de anclaje: <i>Criterio del libro "Cálculo de estructuras de cimentación", J. Calavera. Ed. INTEMAC, 1991</i> - Armado inf. dirección X hacia der: - Armado inf. dirección X hacia izq: - Armado inf. dirección Y hacia arriba: - Armado inf. dirección Y hacia abajo:	Mínimo: 30 cm Calculado: 30 cm Calculado: 30 cm Calculado: 30 cm Calculado: 30 cm	Cumple Cumple Cumple Cumple
Longitud mínima de las patillas: - Armado inf. dirección X hacia der: - Armado inf. dirección X hacia izq: - Armado inf. dirección Y hacia arriba: - Armado inf. dirección Y hacia abajo:	Mínimo: 16 cm Calculado: 16 cm Calculado: 16 cm Calculado: 16 cm Calculado: 16 cm	Cumple Cumple Cumple Cumple Cumple

Referencia: N62		
Dimensiones: 200 x 200 x 75		
Armados: Xi:Ø16c/13 Yi:Ø16c/13		
Comprobación	Valores	Estado
Se cumplen todas las comprobaciones		
Información adicional:		
- Zapata de tipo rígido (Artículo 59.2 de la norma EHE-98)		
- Relación rotura pésima (En dirección X): 0.03		
- Relación rotura pésima (En dirección Y): 0.02		
- Cortante de agotamiento (En dirección X): 45.15 t		
- Cortante de agotamiento (En dirección Y): 45.15 t		



3.63. Irudia. A Zapata eskema

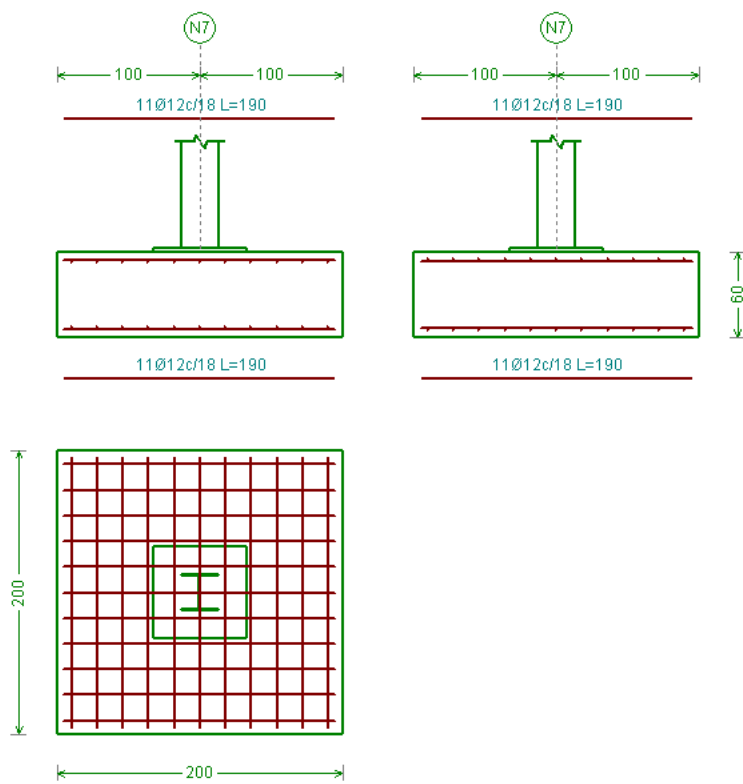


3.64. Irudia. A Zapata irudia

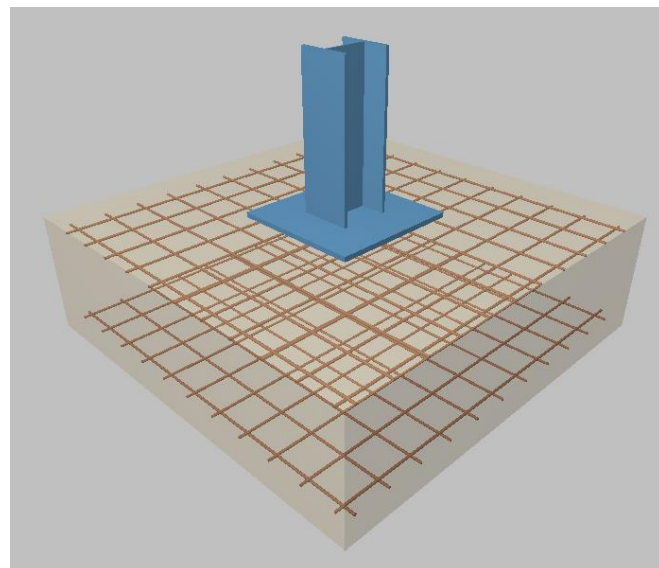
### 3.1.7.1.2 B motako zapata

<p>Referencia: N43</p> <p>Dimensiones: 200 x 200 x 60</p> <p>Armados: Xi:Ø12c/18 Yi:Ø12c/18 Xs:Ø12c/18 Ys:Ø12c/18</p>		
Comprobación	Valores	Estado
<p>Tensiones sobre el terreno:</p> <p><i>Criterio de CYPE Ingenieros</i></p> <ul style="list-style-type: none"> <li>- Tensión media en situaciones persistentes:</li> <li>- Tensión máxima en situaciones persistentes:</li> </ul>	Máximo: 2 kp/cm <sup>2</sup> Calculado: 0.432 kp/cm <sup>2</sup> Máximo: 2.5 kp/cm <sup>2</sup> Calculado: 0.866 kp/cm <sup>2</sup>	Cumple Cumple
<p>Vuelco de la zapata:</p> <p><i>Si el % de reserva de seguridad es mayor que cero, quiere decir que los coeficientes de seguridad al vuelco son mayores que los valores estrictos exigidos para todas las combinaciones de equilibrio.</i></p> <ul style="list-style-type: none"> <li>- En dirección X:</li> <li>- En dirección Y:</li> </ul>	Reserva seguridad: 99794.0 % Reserva seguridad: 126.1 %	Cumple Cumple
<p>Flexión en la zapata:</p> <ul style="list-style-type: none"> <li>- En dirección X:</li> <li>- En dirección Y:</li> </ul>	Momento: 1.72 t·m Momento: 4.46 t·m	Cumple Cumple
<p>Cortante en la zapata:</p> <ul style="list-style-type: none"> <li>- En dirección X:</li> <li>- En dirección Y:</li> </ul>	Cortante: 1.36 t Cortante: 3.92 t	Cumple Cumple
<p>Compresión oblicua en la zapata:</p> <ul style="list-style-type: none"> <li>- Situaciones persistentes:</li> </ul> <p><i>Criterio de CYPE Ingenieros</i></p>	Máximo: 509.68 t/m <sup>2</sup> Calculado: 9.42 t/m <sup>2</sup>	Cumple
<p>Canto mínimo:</p> <p><i>Artículo 59.8.1 de la norma EHE-98</i></p>	Mínimo: 25 cm Calculado: 60 cm	Cumple
<p>Espacio para anclar arranques en cimentación:</p> <ul style="list-style-type: none"> <li>- N43:</li> </ul>	Mínimo: 44 cm Calculado: 53 cm	Cumple
<p>Cuantía geométrica mínima:</p> <p><i>Criterio de CYPE Ingenieros</i></p> <ul style="list-style-type: none"> <li>- En dirección X:</li> <li>- En dirección Y:</li> </ul>	Mínimo: 0.002 Calculado: 0.0021 Calculado: 0.0021	Cumple Cumple
<p>Cuantía mínima necesaria por flexión:</p> <p><i>Artículo 42.3.2 de la norma EHE-98</i></p> <ul style="list-style-type: none"> <li>- Armado inferior dirección X:</li> <li>- Armado inferior dirección Y:</li> <li>- Armado superior dirección Y:</li> </ul>	Calculado: 0.0011 Mínimo: 0.0002 Mínimo: 0.0004 Mínimo: 0.0001	Cumple Cumple Cumple
<p>Diámetro mínimo de las barras:</p> <p><i>Recomendación del Artículo 59.8.2 (norma EHE-98)</i></p> <ul style="list-style-type: none"> <li>- Parrilla inferior:</li> </ul>	Mínimo: 12 mm Calculado: 12 mm	Cumple

Referencia: N43 Dimensiones: 200 x 200 x 60 Armados: Xi:Ø12c/18 Yi:Ø12c/18 Xs:Ø12c/18 Ys:Ø12c/18		
Comprobación	Valores	Estado
- Parrilla superior:	Calculado: 12 mm	Cumple
Separación máxima entre barras: <i>Artículo 59.8.2 de la norma EHE-98</i>	Máximo: 30 cm	
- Armado inferior dirección X:	Calculado: 18 cm	Cumple
- Armado inferior dirección Y:	Calculado: 18 cm	Cumple
- Armado superior dirección X:	Calculado: 18 cm	Cumple
- Armado superior dirección Y:	Calculado: 18 cm	Cumple
Separación mínima entre barras: <i>Criterio de CYPE Ingenieros, basado en: J. Calavera. "Cálculo de Estructuras de Cimentación". Capítulo 3.16</i>	Mínimo: 10 cm	
- Armado inferior dirección X:	Calculado: 18 cm	Cumple
- Armado inferior dirección Y:	Calculado: 18 cm	Cumple
- Armado superior dirección X:	Calculado: 18 cm	Cumple
- Armado superior dirección Y:	Calculado: 18 cm	Cumple
Longitud de anclaje: <i>Criterio del libro "Cálculo de estructuras de cimentación", J. Calavera. Ed. INTEMAC, 1991</i>	Mínimo: 15 cm	
- Armado inf. dirección X hacia der:	Calculado: 23 cm	Cumple
- Armado inf. dirección X hacia izq:	Calculado: 23 cm	Cumple
- Armado inf. dirección Y hacia arriba:	Calculado: 23 cm	Cumple
- Armado inf. dirección Y hacia abajo:	Calculado: 23 cm	Cumple
- Armado sup. dirección X hacia der:	Calculado: 23 cm	Cumple
- Armado sup. dirección X hacia izq:	Calculado: 23 cm	Cumple
- Armado sup. dirección Y hacia arriba:	Calculado: 23 cm	Cumple
- Armado sup. dirección Y hacia abajo:	Calculado: 23 cm	Cumple
Se cumplen todas las comprobaciones		
Información adicional:		
- Zapata de tipo rígido (Artículo 59.2 de la norma EHE-98) - Relación rotura pésima (En dirección X): 0.09 - Relación rotura pésima (En dirección Y): 0.23 - Cortante de agotamiento (En dirección X): 29.77 t - Cortante de agotamiento (En dirección Y): 29.77 t		



3.65. Irudia. B Zapata eskema

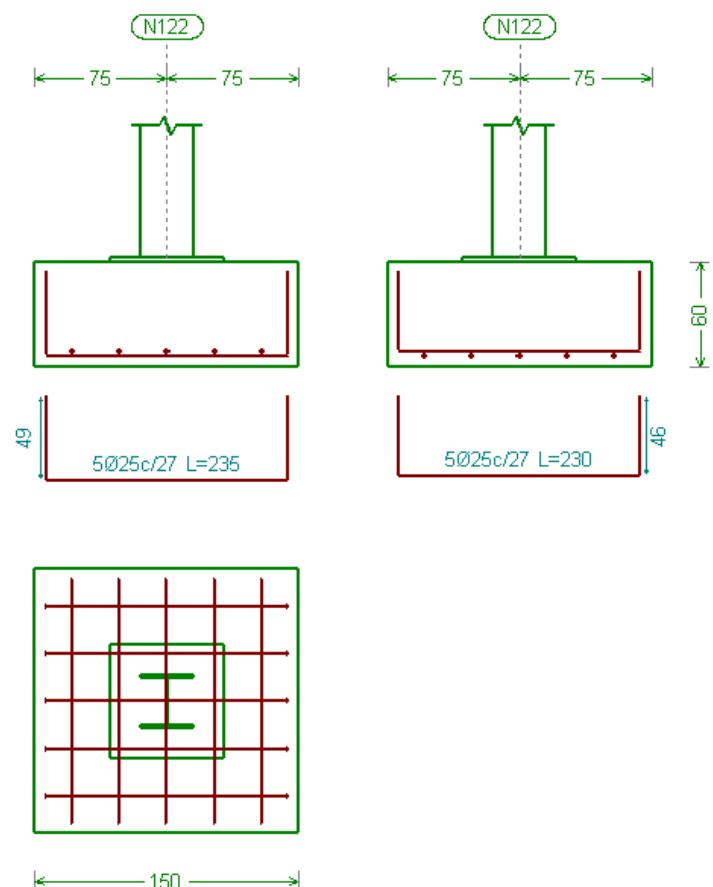


3.66. Irudia. B Zapata irudia

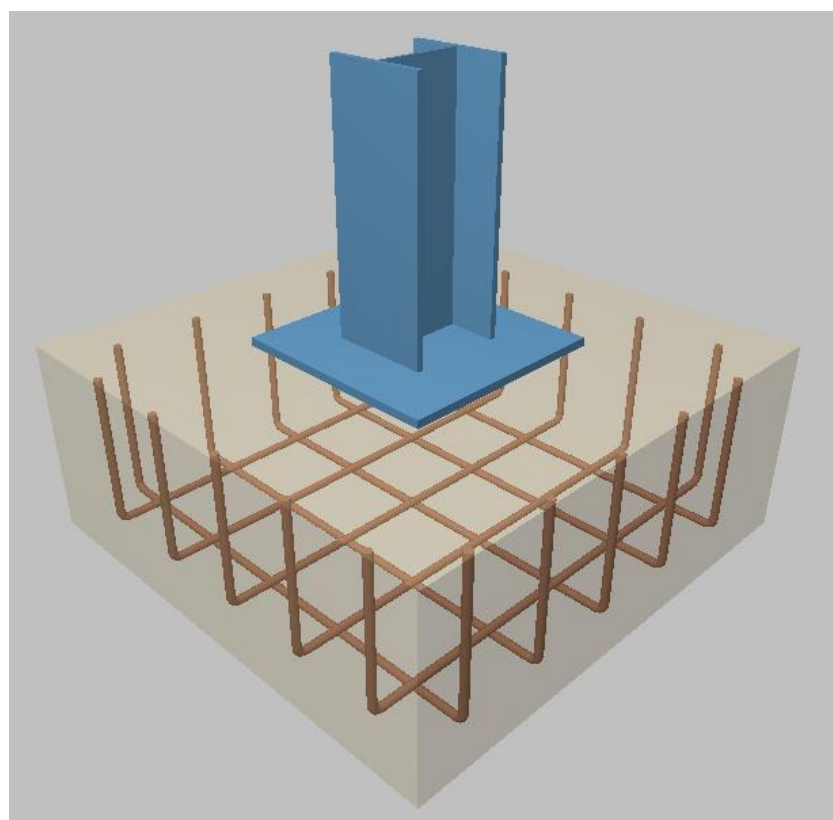
### 3.1.7.1.3 C motako zapata

Referencia: N127 Dimensiones: 150 x 150 x 60 Armados: Xi:Ø25c/27 Yi:Ø25c/27		
Comprobación	Valores	Estado
Tensiones sobre el terreno: <i>Criterio de CYPE Ingenieros</i> - Tensión media en situaciones persistentes: - Tensión máxima en situaciones persistentes:	Máximo: 2 kp/cm <sup>2</sup> Calculado: 0.905 kp/cm <sup>2</sup> Máximo: 2.5 kp/cm <sup>2</sup> Calculado: 1.819 kp/cm <sup>2</sup>	Cumple Cumple
Vuelco de la zapata: <i>Si el % de reserva de seguridad es mayor que cero, quiere decir que los coeficientes de seguridad al vuelco son mayores que los valores estrictos exigidos para todas las combinaciones de equilibrio.</i> - En dirección X: - En dirección Y:	Reserva seguridad: 31304.6 % Reserva seguridad: 171.5 %	Cumple Cumple
Flexión en la zapata: - En dirección X: - En dirección Y:	Momento: 1.82 t·m Momento: 3.65 t·m	Cumple Cumple
Cortante en la zapata: - En dirección X: - En dirección Y:	Cortante: 0.00 t Cortante: 0.00 t	Cumple Cumple
Compresión oblicua en la zapata: - Situaciones persistentes: <i>Criterio de CYPE Ingenieros</i>	Máximo: 509.68 t/m <sup>2</sup> Calculado: 17.37 t/m <sup>2</sup>	Cumple
Canto mínimo: <i>Artículo 59.8.1 de la norma EHE-98</i>	Mínimo: 25 cm Calculado: 60 cm	Cumple
Espacio para anclar arranques en cimentación: - N127:	Mínimo: 44 cm Calculado: 50 cm	Cumple
Cuantía geométrica mínima: <i>Criterio de CYPE Ingenieros</i> - En dirección X: - En dirección Y:	Mínimo: 0.002 Calculado: 0.003 Calculado: 0.003	Cumple Cumple
Cuantía mínima necesaria por flexión: <i>Artículo 42.3.2 de la norma EHE-98</i> - Armado inferior dirección X: - Armado inferior dirección Y:	Calculado: 0.0031 Mínimo: 0.0002 Mínimo: 0.0004	Cumple Cumple
Diámetro mínimo de las barras: - Parrilla inferior: <i>Recomendación del Artículo 59.8.2 (norma EHE-98)</i>	Mínimo: 12 mm Calculado: 25 mm	Cumple
Separación máxima entre barras: <i>Artículo 59.8.2 de la norma EHE-98</i>	Máximo: 30 cm	

Referencia: N127		
Dimensiones: 150 x 150 x 60		
Armados: Xi:Ø25c/27 Yi:Ø25c/27		
Comprobación	Valores	Estado
- Armado inferior dirección X:	Calculado: 27 cm	Cumple
- Armado inferior dirección Y:	Calculado: 27 cm	Cumple
Separación mínima entre barras: <i>Criterio de CYPE Ingenieros, basado en: J. Calavera. "Cálculo de Estructuras de Cimentación". Capítulo 3.16</i>	Mínimo: 10 cm Calculado: 27 cm Calculado: 27 cm	Cumple Cumple
- Armado inferior dirección X:	Calculado: 27 cm	Cumple
- Armado inferior dirección Y:	Calculado: 27 cm	Cumple
Longitud de anclaje: <i>Criterio del libro "Cálculo de estructuras de cimentación", J. Calavera. Ed. INTEMAC, 1991</i>	Mínimo: 25 cm Calculado: 50 cm Calculado: 50 cm Calculado: 50 cm Calculado: 50 cm	Cumple Cumple Cumple Cumple
- Armado inf. dirección X hacia der:	Calculado: 50 cm	Cumple
- Armado inf. dirección X hacia izq:	Calculado: 50 cm	Cumple
- Armado inf. dirección Y hacia arriba:	Calculado: 50 cm	Cumple
- Armado inf. dirección Y hacia abajo:	Calculado: 50 cm	Cumple
Longitud mínima de las patillas:	Mínimo: 25 cm Calculado: 50 cm Calculado: 50 cm Calculado: 50 cm Calculado: 50 cm	Cumple Cumple Cumple Cumple
- Armado inf. dirección X hacia der:	Calculado: 50 cm	Cumple
- Armado inf. dirección X hacia izq:	Calculado: 50 cm	Cumple
- Armado inf. dirección Y hacia arriba:	Calculado: 50 cm	Cumple
- Armado inf. dirección Y hacia abajo:	Calculado: 50 cm	Cumple
Se cumplen todas las comprobaciones		
Información adicional:		
- Zapata de tipo rígido (Artículo 59.2 de la norma EHE-98)		
- Relación rotura pésima (En dirección X): 0.05		
- Relación rotura pésima (En dirección Y): 0.09		
- Cortante de agotamiento (En dirección X): 0.00 t		
- Cortante de agotamiento (En dirección Y): 0.00 t		



3.67. Irudia. C Zapata eskema

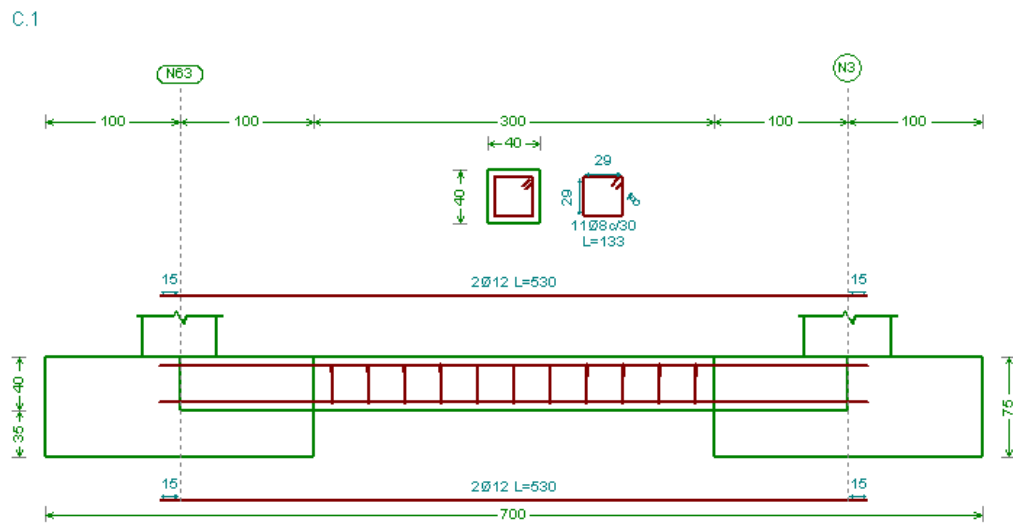
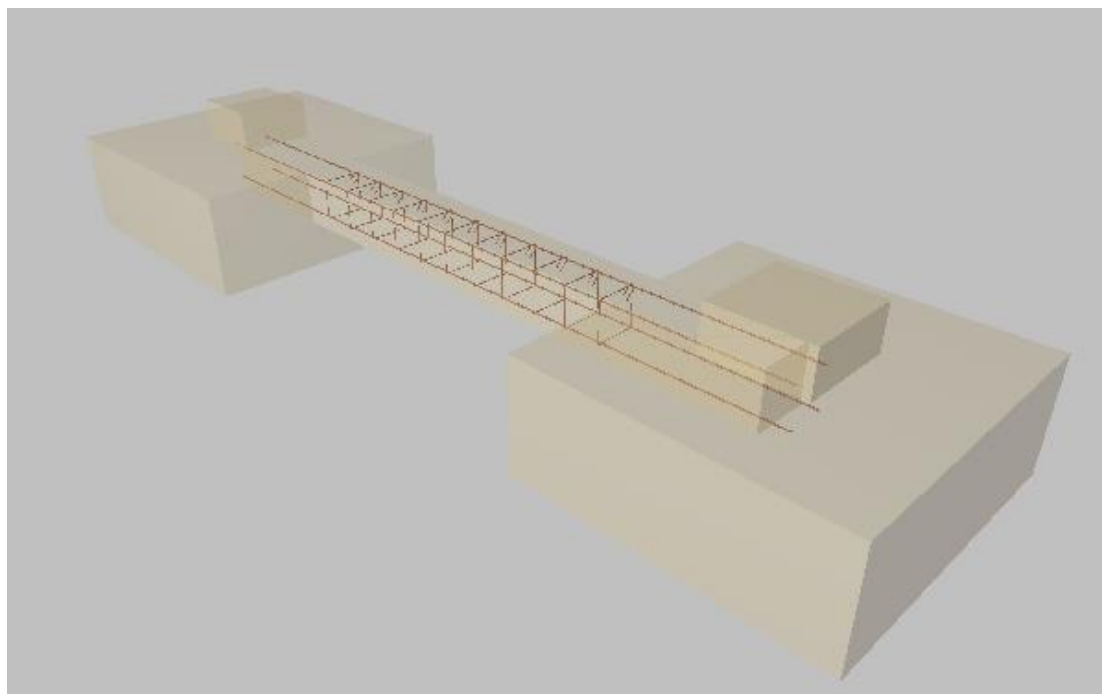


3.68. Irudia. C Zapata irudia

### 3.1.7.2 LOTURA HABEEN DIMENTSIONAMENDUA

Zapatekin egin den bezala, lotura habeak dimentsionatu egin dira CYPE 3D-ren bitarbez. Bakarrik erabili izan da zutabe mota bat zimendapen egituraren. Jarraian aztertuko da softwarea ematen duen frogapena.

Referencia: C.1 [N63-N3] (Viga de atado) -Dimensiones: 40.0 cm x 40.0 cm -Armadura superior: 2Ø12 -Armadura inferior: 2Ø12 -Estriplos: 1xØ8c/30		
Comprobación	Valores	Estado
Diámetro mínimo estribos:	Mínimo: 6 mm Calculado: 8 mm	Cumple
Separación mínima entre estribos: <i>Artículo 66.4.1 de la norma EHE-98</i>	Mínimo: 3.7 cm Calculado: 29.2 cm	Cumple
Separación mínima armadura longitudinal: <i>Artículo 66.4.1 de la norma EHE-98</i>	Mínimo: 3.7 cm Calculado: 26 cm	Cumple
- Armadura superior: - Armadura inferior:	Calculado: 26 cm	Cumple
Separación máxima estribos: <i>Artículo 44.2.3.4.1 de la norma EHE-98</i>	Máximo: 30 cm Calculado: 30 cm	Cumple
Separación máxima armadura longitudinal: <i>Artículo 42.3.1 de la norma EHE-98</i>	Máximo: 30 cm Calculado: 26 cm	Cumple
- Armadura superior: - Armadura inferior:	Calculado: 26 cm	Cumple
Se cumplen todas las comprobaciones		
Información adicional: - Diámetro mínimo de la armadura longitudinal (Recomendación del Artículo 59.8.2 de la EHE-98): Mínimo: 12.0 mm, Calculado: 12.0 mm (Cumple) - No llegan estados de carga a la cimentación.		

**3.69. Irudia. Lotura habeen eskema****3.70. Irudia. Lotura habeen irudia**

### 3.1.8 SANEAMENDU SISTEMA

Atal honetan diseinatuko da saneamendu sistema. Bertan bi instalazio ezberdin aurkituko dira, alde batetik euri-uren instalazioak eta beste aldetik hondakin uren instalazioa. Horretarako NTE araudia erabiliko da, zehazki NTE-ISS dokumentua jarraituz. Baita ere erabili beharko da DB SE-HS dokumentua, “Documento Básico de Salubridad”. Beraz hurrengo puntuak errespetatu beharko dira aipatutako dokumentuak jarraituz.

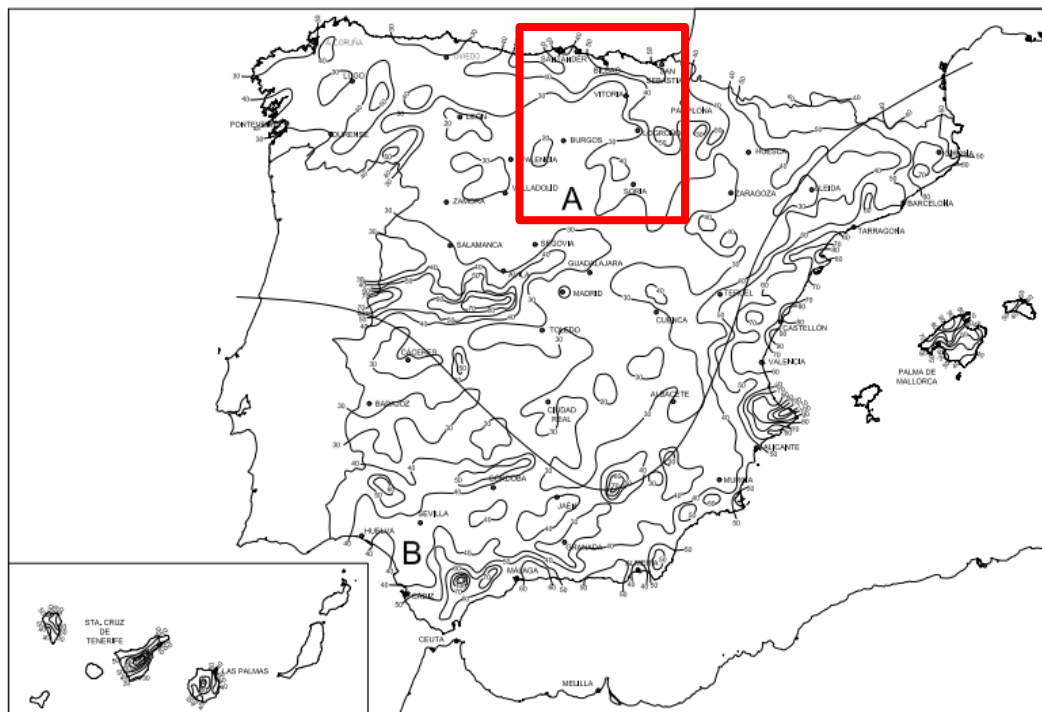
- Egitura eraikiko den gunea “A zonalde” plubiometriko da, Portugaleteri dagokion zonalde plubiometriko da eta.
- Kanalizazio eremu bakoitzari dagokion egituraren estalkiaren azalera, isurbidearen proiekzio horizontalari egingo dio erreferentzi.
- Teilatutik bakarrik jaitsiko da euri uraren garraiorako isurbidea. Beheko solairuan berriz, saneamendu sistema bi atal ezberdinetan bananduko da, bai goitik datorren isurbide bertikala zein hondakin urak. Hauen diametroa handituko da isurbideak batu ahala.
- Hodieriaren malda: Eremu bakoitzean erabiliko diren hodiak malda ezberdina izango dute. Alde batetik hodi bertikalak teilatuko euri-ura beheko solairura eramateko %100 izango dute. Bestalde, garraio orokorreko hodiak lurperatuta egongo dira, ura arketa edo kutxetara eramateko izango duten malda %2-koa izango da.
- Hodietan erabiliko den materiala P.V.C plastikoa izango da. Material hau hormigoia baino garestiagoa da, baina azalera leunagoa du eta honek metaketa arazoak gertatzeko probabilitatea murriztuko du.

Jarraian dimentsionatuko da hodi eta kutxen sekzio minimoa . Kalkuluak egiteko instalazioa atal ezberdinetan banatuko da, horrela kalkulu zehatzagoa lortuko da. Beraz, aurreko ataletan esan den bezala bi saneamendu sistema ezberdinetan banatuko da instalazioa:

- Euri-uren bilketaren instalazioa
- Hondakin-uren bilketaren instalazioa

### 3.1.8.1 EURI-UREN BILKETAREN INSTALAZIOA

CTE kodearen DB-HS dokumentuaren arabera, instalazioaren dimentsionamendu egokia egiteko, egitura eraikiko den zonalde plubiometrikoa definitu behar da, horrela lortuko da euri-uren balio estatistikoa. Hurrengo irudian definitzen da Portugaleteko (BILBAO) zonalde plubiometrikoa. Horretarako DB-HS dokumentuaren B apendizearen mapa eta taula erabiliz eurien intentsitatea lortuko da.



3.71. Irudia. Espainiako zonalde plubiometrikoa



3.72. Irudia. Espainiako zonalde plubiometrikoa xehetasuna

Intensidad Pluviométrica i (mm/h)												
Isoyeta	10	20	30	40	50	60	70	80	90	100	110	120
Zona A	30	65	90	125	155	180	210	240	275	300	330	365
Zona B	30	50	70	90	110	135	150	170	195	220	240	265

### 3.73. Taula. Intentsitate plubiometrikoa

Eraikinaren kokapena Portugaleteko herrialdean dago, intentsitate plubiometrikoa ezartzeko Bilboko balioa hartu izan da Portugalete ez bait da agertzen mapan. A zonaldean kokatuta dagoenez eta 50 balioko ioyeta dagokio, intentsitatea 155 mm/h izango da.

#### 3.1.8.1.1 Kanaloia

Kanaloien dimentsionateka aurrera eramateko CTE kodearen DB-HS dokumentan agertzen den 4.2.2 Canalones atalaren datuak erabiliko dira. Kanaloien dimentsioak ebakuatu dezaketen ur kantitatearen arabera baldintzatuta daude, ondorioz, proiekzio horizontalean ezango duten azaleraren arabera.

Eraikina eraikiko den tokia 100 mm/h intentsitate publimoetrika ezberdina denez, f korrekzio faktorea kalkulatu beharko da, non f hurrengo formularen bitartez kalkulatuko da,  $i = 155 \text{ mm/h}$  jakinda:

$$f = \frac{i}{100} = \frac{155 \text{ mm/h}}{100} = 1.55$$

$f$  zuzenketa faktorearen balioa ezagututa, estalkiaren proiekzio horizontala kalkulatuko da. Kalkuluak egiteko, teilituaren estalkia erabiliko da, estalki azalera handiena da eta. Beraz, estalkiaren proiekzio horizontala hurrengoa izango da:

$$a = 35 * 60 = 2100 \text{ m}^2$$

Eraikinaren diseinua “a un agua“ denez, ur guztia alde berdinera jausiko da teilitu osoa inklinatuta dagoelako alde berdinera. Beraz, kanaloa jaso beharko duen ura kalkulatzeko:

$$a_{kanaloia} = 2100 \text{ m}^2$$

Tabla 4.7 Diámetro del canalón para un régimen pluviométrico de 100 mm/h

Máxima superficie de cubierta en proyección horizontal ( $\text{m}^2$ )	Pendiente del canalón			Diámetro nominal del canalón (mm)
	0.5 %	1 %	2 %	
35	45	65	95	100
60	80	115	165	125
90	125	175	255	150
185	260	370	520	200
335	475	670	930	250

### 3.24. Taula. Kanaloien diametroa erregimen plubiometrikoaren arabera

CTE kodeko DB-HS dokumentuan araututa agertzen da hustubideen arteko distantzia nola kalkulatu behar den. Kanaloien kalukuan gertatzen den bezala, teilituaren proiekzio horizontala hartu behar da kontuan.

Aurreko puntuari aipatu den bezala teilituko ur guztia alde berdinera jausiko da, beraz, azalera guztia hartuko da kontuan hustubideen arteko distantzia kalkulatzeko.

$$a = 2100 \text{ m}^2$$

Beraz, azalera jakinda eta  $i = 155 \text{ mm/h}$  dela jakinda, DB-HS dokumentuaren 4.6 Taula erabiliko da distantzia kalkulatzeko:

Superficie de cubierta en proyección horizontal ( $\text{m}^2$ )	Número de sumideros
$S < 100$	2
$100 \leq S < 200$	3
$200 \leq S < 500$	4
$S > 500$	1 cada $150 \text{ m}^2$

3.25. Taula. Hustubideen arteko distantzia

Taulan ikusten den bezala, hustubide bat jarri beharko da  $150 \text{ m}^2$  bakoitzeko. Datu hau segiz, 14 hustubide kokatu beharko dira eraikinaren alde batean, teilituko alde baxuenean.

### 3.1.8.1.3 Jaitsiera isurbideak

Isurbideen kalkulurako, estalkiaren proiekzio horizontala erabiliko da berriz. Aurreko atalean kalkulatu den bezala:

$$a = 35 * 60 = 2100 \text{ m}^2$$

Eta intentsitate publiometrikoa:

$$i = 155 \text{ mm/h}$$

Beraz, DB-SE-HS dokumentuan agertzen den 4.8 taula erabiliz, jaitsiera hodien beharrezko diametroa bilatu izan da:

Tabla 4.8 Diámetro de las bajantes de aguas pluviales para un régimen pluviométrico de 100 mm/h	
Superficie en proyección horizontal servida ( $\text{m}^2$ )	Diámetro nominal de la bajante (mm)
65	50
113	63
177	75
318	90
580	110
805	125
1.544	160
2.700	200

3.26. Taula. Jaitsiera isurbideen diametroa

DB-SE-HS dokumentuko 4.8 taularen arabera,  $2700 \text{ m}^2$  ko azalera batentzako, 200 milimetrotako diametrodun jaitsiera isurbideak erabili beharko dira, sobredimentsionamendu txiki bat egongo da, baina segurtasunaren alde joanda, horrela definitu izan da.

### 3.1.8.1.4 Euri-uren kolektoreak

Euri-uren kolektoreak, sección iraunkorreko baterako diseinatu izan dira. Euri-uren kolektoreak dimensioatzeko lurzoruko hodien malda eta eta azalera behar da. Beraz, %2-ko malda duten hodiak eta egituraren proiekzio horizontala erabiliko da.

**Tabla 4.9 Diámetro de los colectores de aguas pluviales para un régimen pluviométrico de 100 mm/h**

Superficie proyectada (m <sup>2</sup> )	Pendiente del colector		Diámetro nominal del colector (mm)
	1 %	2 %	
125	178	253	90
229	323	458	110
310	440	620	125
614	862	1.228	160
1.070	1.510	2.140	200
1.920	2.710	3.850	250
2.016	4.589	6.500	315

#### **3.27. Taula. Euri uren kolektoreen isurbideen diametroa**

Taula aztertu ondoren, DB SE-HS arabera, 250 mm-ko kolektoreak erabiliko dira.

### 3.1.8.1.5 Euri uren arketak

Arketak euri uren hodiak norabide aldaketa edota jaitsiera hodi baten azpian kokatzen dira.

DB SE-HS dokumentuarean 4.13 taularen arabera dimensioatzuko dira. Taulan kolektoreen diametroarekin sartu behar da eta L (Luzera) eta A (Zabalera) definituko dira:

**Tabla 4.13 Dimensiones de las arquetas**

	100	150	200	250	300	350	400	450	500
	40 x 40	50 x 50	60 x 60	60 x 70	70 x 70	70 x 80	80 x 80	80 x 90	90 x 90
L x A [cm]									

#### **3.28. Taula. Arketen dimentsio minimoak**

Taularen agertzen diren datuak jarraituz 60\*70 cm-ko arketak erabili beharko dira gutxienez.

Bilbon, 2018ko maiatzak 14an

Borja Martín Nieto

Ingeniaritza Mekanikoan Graduata